

# Optimisation de la gestion de l'énergie sur un site pétrochimique complexe

Brigitte Durand

### ▶ To cite this version:

Brigitte Durand. Optimisation de la gestion de l'énergie sur un site pétrochimique complexe. Automatique / Robotique. École Nationale Supérieure des Mines de Paris, 1980. Français. NNT: . pastel-00833910

## HAL Id: pastel-00833910 https://pastel.hal.science/pastel-00833910

Submitted on 13 Jun 2013

**HAL** is a multi-disciplinary open access archive for the deposit and dissemination of scientific research documents, whether they are published or not. The documents may come from teaching and research institutions in France or abroad, or from public or private research centers.

L'archive ouverte pluridisciplinaire **HAL**, est destinée au dépôt et à la diffusion de documents scientifiques de niveau recherche, publiés ou non, émanant des établissements d'enseignement et de recherche français ou étrangers, des laboratoires publics ou privés.

#### THESE DE DOCTEUR-INGENIEUR

en

Méthodes Mathématiques de l'Automatique, de la Gestion et de l'Economie

PRÉSENTEE À L'ECOLE DES MINES DE PARIS

PAR BRIGITTE DURAND

Sujet de la Thèse :

OPTIMISATION DE LA GESTION

DE L'ENERGIE SUR UN SITE

PETROCHIMIQUE COMPLEXE

Année de soutenance : 1980

Président du jury : P, BERNHARD (PARIS IX)
Directeur de la Thèse : G, COMEN (E.N.S.M.P.)
Examinateurs : J,M. LASRY (PARIS IX)
C, FONDRAZ (SONNE-POLLENC)

#### RENERCIEMENTS

Je tiens à remercier le Professeur BERHARD pour m'avoir fait l'honneur d'accepter la présidence de mon Jury de soutenance. C'est d'ailleurs lui qui m'a acqueillie, avec besucoup de bienveillance, su centre d'automatique et informatique de l'Ecole des Mines où a été présarée cette thèse.

J'exprime ma vive gratitude à Monnieur CONEM, qui a dirigé mes recherches et qui, par son aide et ses encouragements amicaux, m'a permis de mener à bien ce travail.

Je remercie également Monaieur FONDRAZ, Ingénieur à Rhône Poulenc, qui a été un interlocuteur compétent et avisé tout au long de l'étude et m'a transmis touten les données techniques nécessaires.

et le Frofesseur LASRY qui a bien voulu examiner ce travail et faire partie de mon Jury.

Tous mes cumarades du Centre d'Automatique trouveront ici leur part de reconnaissance pour le climat amical et stimulant qu'ils ont contribué à créer.

Enfin, je tiens à remercier Madame LE CALLIC, qui avec beaucoup de gentillesse, a assuré la réalisation matérielle de ce document.

#### TABLE DES MATIERES

	Pag <b>e</b> s
CHAPITRE I : PRESENTATION DU PROBLEME	
1. description physique	1 - 3
2. conduite actuelle de la centrale	3 - 4
3. objectifs de l'étude	4 - 5
CHAPITRE II : FORMALISATION DU PROBLEME	
1. analyse du système dynamique	6 - 7
<ol><li>discrétisation</li></ol>	7 - 8
<ol> <li>Les données techniques et leur formalisation</li> </ol>	8 - 11
4. Analyse des contrats MDF et GDF	11 - 12
CHAPITRR III : MODRIJSATION DES DEMANDES EN VAPEUR	
1. Prévision de la demande	13
2. Erreurs de prévision	13 = 17
3. Différents types de modélisation des erreurs de prévision	18 = 22
4. Modélisation à la BOX et JENKINS	22 - 25
5. Chaînes de Markov	25 - 28
6. Combinaison des deux approches	28 = 34
CHAPITRE IV : OPTIMISATION STATIQUE	
1. Cas des chaudières	35 - 45
2. Turboalternateurs	45 - 46
3. Double utilisation de l'optimisation statique	46 - 47
CHAPITRE V : OPTIMISATION DYNAMIQUE	
1. Rappel des hypothèses	48 - 49
<ol> <li>Formulation mathématique.</li> </ol>	49 - 51
<ol> <li>Couplage des sous-systèmes chaudières et turboalternateurs</li> </ol>	51 - 52
4. Résolution	52 - 57
5. Choix de la profondeur de l'horizon glissant	57 - 60

#### CHAPITRE VI : RESULTATS ET CONCLUSIONS

- 1. Simulations
- 2. Résultats turboalternateurs
- 3. Résultats chaudières

#### 4. Conclusions

BIBLIOGRAPHIE

ANNEXES :

I. Données techniques de Fonctionnement des chaudières et des

turboalternateurs.

V. Optimisation dynamique. V1. Simulations.

II. Modélisation des demandes en vapeur. III. Optimisation statique des chaudières. IV. Optimisation statique des turboalternateurs.

78 - 81

83 - 84

61 - 63

63 - 72

72 - 78

#### CHAPITRE I. - PRESENTATION DU PROBLEME

#### 1. Description physique.

#### 1.1. Site industriel

L'usine de CEALAMPE (Esut-Rhin) sur laquelle porte la présente étude, est stude à une vingtaine de kilomètres au Nord-Est de Mulhouse. Elle appartient à la division PETROCHIMIE du groupe RHONE-POULENC INDUSTRIES et emploie environ 1700 personnes.

Sur ce site industriel sont regroupés :

 un certain nombre d'ateliers qui produisent principalement des intermédiaires textiles (Sel Nylon; Acide Adipique), des intermédiaires polyesters et de l'Acide Oxalique destiné à la Chimie Fine et à la Chimie Minérale.

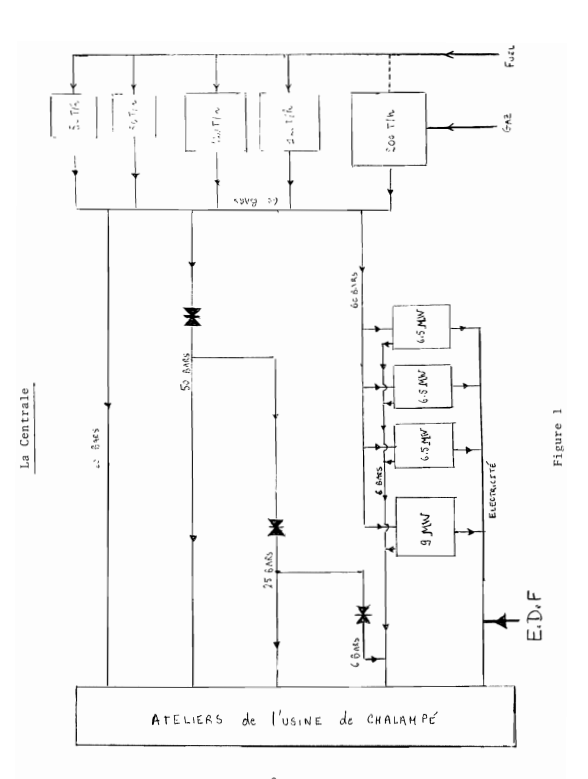
 une centrale thermique qui fournit une partie de l'électricité et la quasi-totalité de la vapeur -distribusé sous différents miveaux de pression : 60,50,25 et 6 bars- nécessités par la fabrication de ces produits.

#### 1.2. La production de vapeur.

Si on excepte qualques atellers où les réactions chisiques nont suffissament exotherniques pour persettre de produire un tonnage non négligeable ( $10^{\circ}/6$  de la consommation totale) de vapeur renvoyée sur les réseaux, le reste de la production, soit  $90^{\circ}/6$ , incombe à la centrale thermique qui est équipée de cinq chaudibres aux capacités et rendements différents :

- deux chaudières au fuel de capacité 50 T/h.
- deux chaudières au fuel de capacité 120 T/h
- une chaudière mixte gaz-fuel de capacité 200 T/h.

La vapeur surchauffée à 425°C et 67 bars délivrée par ces chaudières est dirigée vers des barillets de répartition ; de là, 25  $^{\circ}$ /6 partent directement vers l'usine, 5  $^{\circ}$ /6 sont détendus à 50 bars, 27  $^{\circ}$ /6 sont détendus à 25 bars et 43  $^{\circ}$ /6 alimentent des turboalternateurs qui les convertissent en vapeur 6 bars et en électricité (cf. figure 1).



- 2 -

#### 1.3. La production d'électricité.

Ainsi, environ 40 % de l'électricité totale consommée provient du turbinage de la vapeur 60 bars en vapeur 60 bars dans quatre turboal ernateurs de caractéristiques différentes : trois de 6,5 %W et un de 9 MW sous 5500 V. Le complément - 60 % - est acheté à BDF sous très haute tension (220 000 V). En fait, comme il n'y a pas d'autres sources de production de vapeur 6 bars pour couvrir les besoins des ateliers, c'est la demande en vapeur 6 bars qui conditionne le nityeau de cette autorroduction d'électricité.

#### 2. Conduite actuelle de la centrale.

Pour la vapeur. la centrale doit non seulement maintenir en permanence 1'équilibre entre consommation et production, mais aussi assurer une capacité de reprise de l'ordre de 60 tonnes /heure, au cas où certains ateliers appeleraient de façon imprévue un surplus de vapeur. En effet, le démarrage d'une nouvelle chaudière nécessite six heures de préchauffage au cours desquels la groduction reste nulle. Actuellement, les opérateurs se basent sur une information grossière concernant l'activité future des ateliers - prévisions globales à deux ou trois jours, voire renseignements informels- et font essentiellement confiance à leur expérience pour dócider des arrêts ou des mises en service des génératears et ainsi faire face en temps voulu aux fluctuations importantes de la demande qui dépasseraient la capacité de production des générateurs en fonctionnement En outre, pour suivre les fluctuations instantanées, de faible amplitude, comme la puissance nominale est supposée être le point de fonctionnement à meilleur rendement, ils règlent à haut régime toutes les chaudières en fonctionnement (notamment celle au gaz, vu le prix avantageux de la thermie gaz) à l'exception d'une seule. Cette dernière fonctionne à régime intermédiaire ou bas, en régulation automatique sur la pression dans les barillets pour ajuster la production à la demande.

En ce qui concerne les turboalternateurs, dont la mise en fonctionmement ne prend qu'un quart d'heure, de manière analogue, les opérateurs décident des arrêts ou démarrages en fonction des variations prévues pour la demande en vapeur 6 bars et règlent le point de fonctionnement des turboalternateurs en marche, en s'efforçant de limiter l'apport extérieur EUF par une bonne autocroduction. Si on regarde maintenant les quantités d'énergie mises en jeu, et la sont énormes : en 1979, la centrale a consommé 164 000 TEP dont approximativement 72 000 tonnes de fuel lourd BTS n°2 et 120 000 000 m² de gas naturel. Ces chiffres incluent non seulement les quantités de combustible brûlées par les chaudières lors de la production de vapeur 60 bars mais aussi l'énergie absorbée lors du démarrage de nouveaux générateurs ; cette dernière relativement faible pour les turboulternateurs, n'est pas négligeable pour les chaudières à cause des sir heures de mise en température. Cette même année, la consommation en électricité de l'usine s'est élevée à 300 000 MMh électrique.

Aussi, à une période, où le coût de l'énergie ne cesse de croître (la tonne de fuel vaut actuellement plus de 800 F), a-t-on été inoité à réfléchir sur l'amélioration de la gestion des chaudières et des turboalternateurs de la centrale.

#### 3. Objectifs de l'étude.

Que recouvre précisément le terme "conduite optimale de la centrale" ? Au vu de la description précédente, cette optimisation se décompose en deux volets :

3.1. à chaque instant, répartition "optimale" de la charge sur les générateurs en fonctionnement, compte tenu de leurs caractéristiques technologiques: pour les chaudibres, il s'agit de répondre à la demande D<sub>1</sub>(t) globale en vageur 60 bars su moindre coût; pour les turbo-alternateurs, il s'agit, corrélativement à la satisfaction de la demande D<sub>2</sub>(t) en vapeur 6 bars, de maximiser la quantité d'électricité groduite. Nous dénomnons ce problème "optimisation statique".

3.2. prise des meilleures décisions d'arrêt et de désarrage.
En l'absence de coûts de désarrage, on sélectionnerait, au fur et à mesure, les chaudières et les turboalterns teurs, sur lesquels, tout en garantissant l'équilibre demande-production, on réaliserait la "répartition optimale 60 bars", la moins onéreuse et l'autoproduction en électricité la plus forte.

Par contre, avec les coûts de démarrage, le problème revêt un caractère dynamique : il faut, en plus éviter des démarrages inutiles, notamment pour les chaudières. Aussi l'avons nous baptin "Optimisation dynamique", et on y reconnaît une situation de type "contrôle impulsionnel" fréquente en déconomie et en gestion (gestion de stocks, maintenance ...) (cf. BMESOISSEM [4]). Dans les deux chapitres suivants nous nous proposons de "préparer" la formulation mathématique de ce problème; toutes les options prises seront justifiées en égard aux conséquences voire aux simplifications qu'elles entraînent sur le plan méthodologique. Le chapitre II contient l'analyse, doublée éventuellement d'une formalisation, du système dynamique et des diverses contraîntes — à caractère technique ou d'origine contractuelle-qui s'y rattachent. Au chapitre III, nous ferons "un tour d'horison" des types de modélisation enviangeables pour les demances en vapeur 60 bars et en vapeur 6 bars, à partir du planning de prévisions, déterministe, élaboré par les services de Chalampé. Pinalement, nous nous en tiendrons à une représentation sous forme de chaîne de Markov des erreure de unévision à revouter à ce planning.

Le chapitre IV mera consacrá à la mise en équations et à la résolution du problème "d'optimisation statique" qui, en debors de son utilisation temps réel, apparaît comme un sous problème de l'optimisation dynamique, servant à chiffrer le coût de production de la vapeur 60 bars ainsi que la quantité d'électricité sutoproduite, lorsque la centrale se trouve dans un certain état de sarche.

Nous serons alors en mesure d'aborder au chapitre V l'optimisation dynamique elle-même, conduite sur un horison à préciser. Pour garder au problème une dimension raisonnable, nous optimiserons séparément, par une procédure de programmation dynamique, la gestion des chaudibres et des turboalternateurs.

Les résultats obtenus et les conclusions à en retirer feront l'objet du dernier chapitre.

#### 1. Analyse du système dynamique.

Le système dynamique, auquel nous nous intéressons, comprend la centrale aimsi que les différentes demandes en vapeur. Nous ne nous précocupons pas de la demande en électricité DE(t) puisqu'elle ne joue pas le rôle de contrainte.

#### 1.1. La centrale.

Le centrale se compose de deux sous-systèmes ; les chaudières et les turboalternateure. A tout instant t son état, noté C(t), est décrit par le "statut"  $e_i(t)$  de chaque unité i  $(i \dashv, \dots, 5)$  pour les chaudières,  $i \dashv \dots, \infty$ , pour les turboalternateurs) : arrêt

marche à une certaine fraction

$$x_{\underline{i}}(t)$$
 de la puissan**ce** nominale  $P_{\underline{i}}$ .

instance de marche. Dans ce cas, il

importe de savoir, étant donné le retard au lancement (six heures pour les chaudibres et un quart d'heure pour les turboalternateurs), depuis combien de temps le démarrage a es lieu, afin d'en déduire quand l'unité sera effectivement "productive". Pour mémoriser le délai écoulé, on est amené à rajouter une variable d'état continue, et à formuler un problème de contrôle evec retard (ef. RGBIN [20]).

De temps à autre, on modifie cet état en décidant d'allumer ou d'éteindre certaines unités. Les instants  $\theta^4$  — "instants d'impulsion" où C change en  $C^*$  et les "sauts"  $\delta C = C^* - C$ , auxquels est attaché un coût de démarrage  $f(\Delta C) = f(C^* - C)$  —sont les variables de contrôle.

Rn outre, entre deux instants d'impulsion successifs  $\theta^1$  et  $\theta^{1+1}$ , on exerce un contrôle continu, à savoir la répartition — les  $x_1(t), P_2$ — qui s'accompagne d'un coût intégral : coût de production de la vapeur 60 bars par les chaudières en marche augmenté du coût de l'apport RDP. Nous négligeons les coûts d'entretien du matériel arrêté ainsi que des coûts d'entuels relatifs à des dispositions particulières prises à l'arrêt en us de faciliter le refésarrare.

Nows supposons que les équipements ne subissent pas de pannes à caractère aléatoire. La dynamique de C(t) est donc déterministe et peut s'écrire symboliquement sous la forme :  $C(s^{\frac{1}{2}+1}) = C(s^{\frac{1}{2}}) + \Delta C^{\frac{1}{2}+1} = -0,1,2,\dots$   $\theta^2 = 0$  et  $C(s^0) = C$ .

1.2. les demandes  $D_{\chi}(t)$  en vareur 60 bars et  $D_{\chi}(t)$  en vareur 6 bars perque respectivement par les chaudières et les turbonlternateurs à chaque instant L. Elles reflètent les besoins en énergie des ateliers. Si on agrège en  $D_{\chi}(t)$  les besoins en vapeurs 60 bars-50 bars et 25 bars, comme une tonne de vapeur 6 bars provient du turbinage d'une tonne de vapeur 60 bars, on a la relation

$$D_{1}(t) = D_{2}(t) + D_{2}(t) \qquad (1)$$

qui crée une dépendance entre le fonctionnement des chaudières et celui des turboalternsteurs. Ces demandes sont observées parfaitement, mais non contrôlées. Elles sont des contraintes pour la centrale :

$$\sum_{\substack{i=1\\ i\neq 0}}^{n} \mathbb{P}_{i}x_{i}(t) = \mathbb{D}_{i}(t) \qquad (2)$$

$$\sum_{\substack{i=0\\ i\neq 0}}^{n} S_{i}(x_{i}(t)) = \mathbb{D}_{i}(t) \qquad (3) \qquad (S_{i}(x_{i}) = \text{quantité de vapeur turbinée au régime } x_{i}).$$

Nous repoussons su chapitre suivant la question concernant leur mode de représentation : déterministe ou stochastique. Toutefois, dès lors qu'on les assimile à des variables aléatoires, nous tenons à souligner que :

- le critère à optimiser doit être remplacé par une espérance mathématique.
- 2. le degrá de complexité dans la formulation mathématique du problème et, par suite, les difficultés rencontrées pour le résoudre, deviennent partiellement subordonnés au choix du modèle stochastique, la "mémoire" du processus introduisant notamment des variables d'état supplémentaires. Citons, à titre d'exesple, le cas d'une demande aléatoire modéliaée par un processus de diffusion, abordé dans LEGUAY [26], qui met en œuvre la théorie des inéquations quasi variationnelles (BESGOUSSAM-LIONS [6]).

#### 2. Discrétisation.

Jusqu'à maintenant, nous avons évoqué le problème en temps continu. Par atlleure, si l'état de la centrale est par nature discret et à valours dans un ensemble fini de cardinal NC - à priori NC =  $3^9$  de l'ordre de  $2\cdot 10^4$ -, les demandes, au contraire, sont des grandeurs continues. Or

quelle que soit la théorie mathématique à Laquelle on se réfère pour traiter un problème formulé en contina, l'implémentation informatique mécesaite ensuite une discrétination temporelle et apatiale sinsi que la mise au point de méthodes de résolution numérique (on se reporters à GOURSAT-MANEIN [83] pour l'étude numérique des inéquations variationnelles). C'est pourquoi nous préférons nous orienter d'emblée vers une formulation discrète de l'optimisation dynamique où l'horizon d'optimisation (dont la longueur sera discutée ultérieurement. cf. chapitre V § 5) est découpé en un nombre ? d'intervalles et où les desandes en vapeur 60 bars et 6 bars sont respectivement digitalleées en NA<sub>1</sub> et NA<sub>2</sub> niveaux (NA<sub>1</sub> et NA<sub>2</sub> précisés au chapitre suivant). Comme pas de temps, nous fixons la journée exr, d'une part l'unime de Chalanpé établit des prévisions journalières (cf. Chapitre III §1), d'autre part, cette durée étant très supérieure aux délais de lancement, l'hypothème simplificatrice R, :

( $\mathbb{H}_{1}$ ) "coincidence entre la mise en service et début de production d'une unité" se trouve justifiée. Le nombre des alternatives pour chaque générateur est réduit à deux —marche ou arrêt— et par suite le nombre à priori des états de la centrale n'est plus que  $2^{9}$  = 512.

Dans ce contexte dincret, la programmation dynamique est jugée comme une technique efficace pour les problèmes de contrêle impulsionnel: elle perset de parvenir à l'optimum réel, mais, sa faisabilité est très liée à la taille du système et bien souvent, on est obligé d'y renoncer à cause des temps de calcul insoceptables on recourt alors à des procédures heuristiques : citons, entre surres, TUREDN [81] qui traite un problème de gestion de générateurs thermiques par une méthode variationnelle alliée à un algorithme de "Granch and Bound". Si done nous vouloss privilégier la programmation dynamique, comme méthode de résolution —dans une approche varationnelle, de toute façon, la construction présiable d'une grille de décisions, que l'on fait ensuite bouger, est requise— nous devons nous soucier de sa sensibilité à la dissension.

#### 3. Les données techniques et leur formalisation.

Le fonctionnement des chaudières et des turboallernateurs est caractérisé par un certain nombre de paramètres techniques. Leurs valeurs numériques ainsi que les courbes graphiques sont consignées dans l'annexe I.

#### 3.1. Place de production.

En murche normale, le régime x se situe entre  $\underline{x}$  = 40  $^{\circ}$ /o et  $\overline{x}$  = 100  $^{\circ}$ /o de la puissance nominale. Toutefois la borne supérieure peut être dépassée de quelques pourcents pour une durée limitée. Cette mesure exceptionnelle n'est pas retenue dans l'étude.

#### 3.2. Courbe de rendement.

#### a. Turboalternateurs.

On a mené à Chalampé une campagne d'expériences pour établir ces courbes. Elles indiquent la consommation spécifique d'un turboalter-nateur i, exprimée en tonne de vapeur 60 bars turbinée par MWh électrique fourni, suivant le régine de marche x, et ont une allure hyperbolique. Mais la domnée pertinente pour l'optimisation statique, c'est la consommation en vapeur utrbinée S;, exprimée en tonne par heure, en fonction du régine de marche x;. Les points correspondants sont quasiment alignés. Nous avons donc cherché pour chaque turboalternateur, la droite des moindres carrés approximant ce muage de points expérimentaux, soit ;

$$S_i(x_i) = a_i x_i + b_i \qquad (4)$$

#### b. Chaudières.

Les mesures de rendements des chaudières ont été confiées à un organisme officiel spécialisé. Elles sont entléchées d'impréciaion, vu la difficulté d'évaluer les pertes et de reproduire certaines conditions de fonctionnement (pouvoir calorifique du combustible, arrivée d'air, vieillissement des brûleurs, etc...). Les courbes qui en résultent peuvent être approximées par des paraboles (estimation des coefficients par les moindres carrés) et on adopters, dans la suite, la forme suivante du rendement suivant le régime x, :

$$r_{i}(x_{i}) = a_{i}x_{i}^{2} + b_{i}x_{i} + c_{i}$$
 (5)

Resurction 1. Comme l'écart entre rendecent maximum et minimum est faible  $(1,5 \ a \ 2^{-6})$  et avoinime l'ordre de précision sur les mesures, on simplifiers l'optimisation dynamique en évaluant le coût de la répartition optimale avec pour chaque chaudière l'hypothèse d'un rendement constant. Par contre la forme parabolique sera minimume pour l'allocation en teams réel.

2. Il serait souhaitable ultérieurement de corriger quotidiennement les courbes de rendement en fonction de la température des funées aux cheminées dont les variations modifient notableement le rendement. De plus, ces rendements pourraient être améliorés de façon sensible, en règlant de façon optimale l'excès d'air admis au niveau des brûleurs. - problème du resmort de l'éxistantique.

#### 3.3. Consommations auxiliaires des chaudières.

Le fonctionnement des chaudières s'accompagne d'une part de consommations électriques dûce aux ventilateurs de tirage ou de soufflage, d'autre part de consommations en vapeur 6 bars pour préchauffer le fuel (pas de préchauffage pour le gas) qui varient suivant le régime de marche  $\mathbf{x}_{\underline{x}}$ . Nous avons admis une représentation linéaire des consommations auxillaires électriques notées  $(\mathbf{c}_{oub})_{\{\mathbf{x}_{\underline{x}}\}}$  du type :

$$(C_{n,n})_{z}(x_{z}) = (a_{n})_{z}x_{z} + (b_{n})_{z}$$
 (6)

Quant aux consommations auxiliaires en vapeur  $(c_{av})_{t}(x_{t})$ , elles sont proportionnelles à la quantité  $F_{z}(x_{t})$  de fuel à préchauffer :

$$\begin{pmatrix} {\rm C_{aw}} \rangle_{\underline{t}} ({\rm x_{\underline{t}}}) = {\rm K_{\underline{t}}} \bullet^{\rm p}_{\underline{t}} ({\rm x_{\underline{t}}}) \quad \ (7) \\ \\ {\rm K_{\underline{t}}} = 8, 5 \quad 10^{-2} \ {\rm pour \ le \ fuel}.$$

(C<sub>av</sub>)<sub>i</sub> et F<sub>i</sub> sont exprimés en T/h). 3.4. Coûts de démarrage.

#### a. Turboalternateurs.

La mise en route d'un turboalternateur comprend deux étapes : une mise en teupérature de la turbine par condensation de vapeur dans la turbine et une mise en pression et régime de la turbine par ouverture progressive de l'arrivée de vapeur 60 bars. Les coûts correspondants sont chiffrés en tonnes de vapeur 60 bars.

#### b. Chaudières.

Pour les chaudières, ces coûts de démarrage évaluent, en tonnes de fuel, l'énergie dépensée au cours des six heures de préchauffage.

Mais, à cause des choes thermiques occasionnés par des changements d'état répétés, il existe une fréquence maximale des démarrages que l'on admet être de l'ordre de quinze jours. La prise en compte de cette contrainte n'a de sems que sur un horizon d'optimination dynamique long de plusieurs quinzaines. Comme l'horizon envisagé est bien plus court (cf. chaptire § 5 5), ou doit renoncer à en tenir compte directement. Toutefois, une façon indirecte de la répercuter consiste à sugmenter suffinamment les coûts de démarrage de sorte que les solutions proposées la respectent.

#### 4. Analyse des contrats E.D.F. et G.D.F.

Pour les fournitures d'électricité et de gaz, l'usine a souscrit des contrats qu'il faut essayer d'utiliser le plus avantageusement.

En ce qui concerne l'électricité, comme l'autoproduction et, par voie de conséquence le complément indispensable livré par EDE, est subordonnée au niveau de production en vapeur é bure, la seule action envisageable, vis à vis du contrat EDE, serait de rejeter de la vapeur é bars à l'atmosphère pour autoproduire davantage. Mais cette éventualité n'est pus actuellesent, économiquement valable : le EWH ainsi produit revient deux fois plus cher que le EWH EDE.

En ce qui concerne le gaz, comme on a la latitude d'alimenter la grosse chaudière soit au fuel, soit au gaz, il s'agit, compte tenu des clauses contractuelles GDF de choisir le combustible le moins onéreax. Si ce choix était trivial jusqu'à maintenant, à cause du prix très inférieur de la thermie gaz, il risque de devenir plus problématique, depuis que se dessine une tendance à l'alignement sur le prix de la thermie fuel. Nous avons donc réfléchi à la manière de l'intégrer dans l'optimisation dynamique. En fait, par le jeu des provisions mensuelles, des pénalisations en cas de dépassement des limites inférieures ou supérieures de consommation, du plafonnement du prix de la thermie gaz par un prix indexé sur le prix du fuel et recalculé trimestriellement, le prix réel de la thermie gaz n'est connu qu'une fois l'année gazière écoulée. Cela conduit à la formulation d'un problème dynamique sur un horizon d'un an dans lequel l'état contient non seulement la quantité de gaz consommée depuis le début de l'année, mais aussi le prix instantané de la thermie gaz recalculé avec les pénalités. La commande en est la consomnation de gaz ; le critère se compose d'un coût intégral chiffrant la différence de coût entre une consommation gaz et une consommation fuel et d'un coût final non nul en cas de non consommation d'un minimum annuel. Outre la difficulté de

formaliser la dynamique du prix de la thermie gaz (complexité du contrat), deux obstacles se nosent :

- l'inadéquation des horizons de cette optimisation -l'année- et de l'optimisation dynamique -une, votre quelques semaines. Il est surmontable en imaginant une structure hiérarchisée : à un niveau supérieur, optimisation de l'utilisation du gas avec un modèle agrégé du fonctionnement de la centrale au cours de l'année (et qui resterait à construire) qui renseignerait le niveau inférieur "optimisation dynamique" sur le combustible à employer.
- l'évolution du prix du fuel impossible à prévoir dans le contexte actuel. A cause de ce dernier point, nous avons renoncé à poursuivre cette étude annexe d'autant plus que le prix instantané du gas après réajustement ne différe que peu du prix instantané ordinaire.

Dans la suite, nous supposerons que :

(H2) "la grosse chaudière est alimentée au gaz.".

#### 1. Prévision de la demande.

Comme nous l'avons dit précédemment, il est impératif, pour prendre les décisions d'arrêt et de marche des équipements à bon escient, de prévoir la demande future globale en vapeur 60 bars et celle en vapeur 6 bars. Une procédure a été instaurée à Chalampé, dont voici les grandes lignes : 1.1. On connaît les prévisions de marche des ateliers, formulées en tonnes de produit pour une période de trois mois, détaillées jour par jour pour les sept jours qui suivent, regroupées par semaine pour les trois semaines suivantes et enfin par mois. Ces prévisions sont remises à jour quotidiennement sur un horizon glissant de trois mois. Pour chaque atelier, on les convertit en prévisions de consommation en vapeur en les multipliant par un coefficient appelé "consommation spécifique de l'atelier". Cette grandeur est le rapport moyen entre le tonnage et la quantité de vapeur consommée sur une période donnée. Elle a été estimée grâce aux documents comptables des fabrications et contrôlée par mesure ; mais, ces consommations spécifiques, qui actuellement sont des constantes, semblent varier sensiblement avec le niveau de marche de l'atelier et il serait souhaitable ultérieurement de les faire dépendre du régime de marche. 1.2. On totalise ces prévisions pour tous les ateliers d'un même réseau et on les affecte d'un "coefficient de distribution" propre à chaque réseau et qui traduit l'écart entre les débits mesurés en entrée (centrale thermique pour la vapeur, EDF et turboalternateurs pour l'électricité) et les débits mesurés en sortie (consomnateurs) dûs aux incomptés, aux pertes diverses et aux erreurs de comptage. Ces coefficients sont réactualisés

périodiquement.

On obtient ainsi les prévisions de la demande en vapeur 60 bars et en vapeur 6 bars (exemple de tableaux de prévision figure 1) notées respectivement DP, et DP,.

#### 2. Erreurs de prévision.

De la confrontation de ces prévisions avec les enregistrements journaliers des débits instantanés — mesurés à la sortie des générateurs, il ressort que :

# PREVISIONS DE CONSOMMATIONS D'UTILITES

	22062	36V&V	20045	1846V	1919 1900 2400 1908 11 2001 1902 1903 1904 1908	2605	1,808	1808	1919	1919	1700	1186	н	PRODUCTION V 6 T
	23098	:4113	5343	5166	4672	667	14/3	413	. 63 t	684	990	H3	нз	PRODUCTION V 25 D. SORTIE CENTRALE
	2160	504	504	504	405	7.	잗	72	北	41	725	뒫	,+3	PRODUCTION TOTALE. / 50 SORTIE CENTRALE
	54 513	1485g	14034	13699	1693 11859	16.93	1403	1403	J403	/1403	1338	4738	ia	TRODUCTION TOTALE,
÷	36880 168752	36880	4,1662	32051	5261 36480 38051 41662	5261	197.1	137.1	4330 4330 4161 4161	4330		5723 5755	_+3	PRODUCTION TOTALE
	36666 318777 467276 46787458646 864749 869649 376972 4 3664479 3943647 16866495	3943041	3604479	47480ts	3996493	6ht 195	797645	43763	943404	948404	148315	340666	. Kwii	CLECTRICITE EDF
	12934905		2544271	295 1969	KMI. 321913 121844 1257-919 2559-918 125817 125837 HOWB 2088922 295 4968 2944271 3082880	644044	358877	358877	357949	916455	361841	331123		SIECTRICITE MOYSHREN
	3230954	930924	188848	647498	4260574 ما 254058 ما 2540448 ما 254048 ما 2540ما ما 2510 ما 2010 ما ما 25008 ما 25008م ما 25008م	8822EF	42701	potan	/30936	130936	42634	64326	HWK -	P I TECTRICITE MOYEMEN PAR
	2304471 2370344 2180956 9703951.	2151956	\$370324	2304471	332797319364 126912 126912 126912 126476 126476 136964 126773	3.8761	246176	246476	216922	пен	319304	332,797	HAX	SLECTRICITE TURBINEE
	du 12/02		au 4/08 au 11/02	du 22/01	du 15/01	4		1.2.	¥	λo	9	8	-	
IVANTS	NOIS SIDM	_	SHINAVIDS	SEMAINES: SUIVANTES	-		o lend	JANVIEW	DATES				STINU	UPILITE

 le total journalier prévu diffère notablement de celui qui se réalise effectivement (l'écart pouvant atteindre 50 % en valeur absolue).

- la demande varie au cours de la journée (cf. figures 2 et 5) avec une amplitude maximale de 15 à 20 % par rapport à la moyenne de la journée. Ces dernibres fluctuations peuvent être "épongées" en temps réel, par modification des points de consignes des générateurs en fonctionnement, si une marge de sécurité suffisante a été observée. Par contre, les écarts journaliers doivent être anticipés pour éviter une impasse ; ils sont dis, entre autres, à des mises en route ou arrêts différés de processus de fabrication entraînant une modification des besoins en énergie non connume en temps voulu, à des facteurs non maîtrisables en finguant sur la charge -conditions météorologiques par exemple ....-

Le planning de prévisions ne suffit donc pas à représenter les demandes journalières. Par contre, comme il résume certaines variables excepènes (carnets de commandes, plannings de fabrication ...), nous l'avons assimilé à la composante déterministe ("imprédictible") de la demande et nous lui avons superposé une erreur de prévision, modèlisée de façon endogène.

Notons que cette erreur de prévision n'est pas définiede manière unique, puisque une même journée t fait l'objet de plusieurs prévisions - à cinq dates de [t-1, t-7] -. parfois considérablement différentes. (cf. tableau figure 4.).

Par soued d'homogénété, nous convenous d'appeler "erreur de prévision" ou "aléa" du jour t la différence A(t) entre la prévision de consonmation la plus récente DF(t) faite pour ce jour. (qui n'est pas forcément la plus exacte) et la consonmation roelle D(t) et nous écrivons :

$$(H_3)$$
 "D(t) = DP(t) - A(t)"

Remarque: Nous nous sommes intéressés à l'écart A(t) plutôt qu'au pourcentage d'erreur autour de la desande prévue DF(t) car il y a, semble-t-il asses peu de corrélation entre la valeur absolue de cette erreur et la demande prévue, pour la vapeur 60 bars du moins (coefficient empirique de -0,2°5, alors que pour la vapeur 6 bars ce même coefficient est de -0,4°3,).

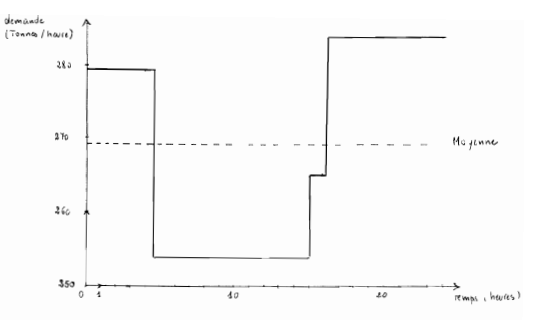


Fig 2. VAPEUR 60 BARS

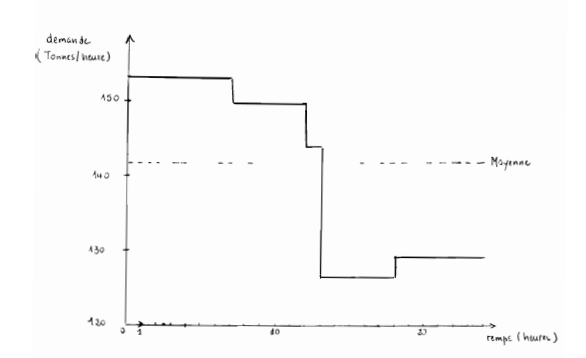


Fig 3 VAPEUR 6 BARS

PREVINIONS A										
1.7	Q*.69	\$100	7353	+353	6503			4743	4350	5184
4-7		1403	8771	7453	7445	4540	ij.		6487	5081
1.3	\		+ 103	8777	1368	1152	5543			5081
4.5	4069			1452	499 +	1999	5203	4338	1/1:	
T.5	5445	4114			1367	6236	4993	4534	9454	
T-6	£0±±	4949	1871		1	6940	4530	4534	0077	52.76
Ę.T	420%	6733	2944	7.4 8.7 1.4			4333	1589	1233	1932
REALTSÉ	6370	54.85	5310	5713	5403	T+89	6374	5153	4512	4349

Figure 4

#### 3. Différents types de modèlisation des erreurs de prévision.

A servi de base pour cette modèlisation la série chronologique des erreurs de prévision  $A_1(t)$  vapeur 60 bars et  $A_2(t)$  vapeur 6 bars sur la période du 22 Octobre 1979 au 12 Octobre 1980.

#### 3.1. Modèle non statistique

La façon la plus simpliste de mosèliser l'erreur de prévision vapeur 60 bars (respectivement 6 bars) est de se contenter de définiter la plage  $\left[\frac{1}{A}, \overline{A}\right]$  à l'intérieur de laquelle les aléas prennent leurs valeurs.

Chaque jour t, on considère que la demande en vapeur 60 bars (respectivement 6 bars) est quelconque à l'intérieur du tube

$$T(t) = \lceil DP(t) - \overline{A}, DP(t) - A \rceil$$

et on est amené à aborder l'optimisation dynamique sous l'angle du "worst case design" (cf. BERNHARD et BELLEC [7]).

Vu la longueur de [A,A], de l'ordre de 5000 tonnes pour la vapeur 60 bars - respectivement 5700 tonnes pour la vapeur 6 bars- on risque, avec cette approche, de choisir des politiques de désision trop prudentes et donc per performantes lorsqu'on les mettra en œsvre. Il nous a paru préférable de regarder les aléas comme un processus stochastique dont la série chronologique est une réalisation et d'analyser cette sórie pour retirer toute la substance qu'elle apporte en elle-même.

#### 3.2. Les modèles statistiques.

A partir du moment où on attribue un caractère stochastique aux demandes  $\mathbb{P}_{q}(t)$  et  $\mathbb{P}_{2}(t)$ , c'est le processus stochastique bidimensionnel  $(\mathbb{A}_{q}(t),\mathbb{A}_{2}(t))$  qui est mis en cause et, comple-tenu de la relation (1) page 7 il ne se réduit sans doute pas à deux processus unidimensionnels indépendants :

en effet 
$$A_1(t) = A_2(t) + A_2(t)$$

$$(A_{q}(t)$$
 aléa sur  $D_{q}(t))$ 

 $\texttt{d} \, \texttt{'où covariance} \, \, \left[ \mathbb{A}_1(t).\mathbb{A}_2(t) \right] \, : \, \texttt{covariance} \, \, \left[ \mathbb{A}_3(t) \mathbb{A}_2(t) \right] \, + \, \texttt{variance} \, \, \left[ \mathbb{A}_2(t) \right]$ 

Ainsi, même si  $\mathbb{A}_3(t)$  et  $\mathbb{A}_2(t)$  sont indépendants,  $\mathbb{A}_1(t)$  et  $\mathbb{A}_2(t))$  ne le sont pas.

La covariance empirique entre  $\mathbb{A}_1(t)$  et  $\mathbb{A}_2(t)$ , de l'ordre de 0,72, confirme ces présomptions.

Toutefois, comme la représentation d'un processus stochastique bidimensionnel fait appel à davantage de paramètres et que nous ne disposons que d'un nombre relativement faible de données pour l'identifier, nous émettons l'hypothèse suivante :

$$(H_A)$$
 "A,(t) et  $A_2(t)$  sont des processus stochastiques indépendants".

Cette hypothèse est d'ailleurs indipensable si on veut résoudre séparément les problèmes de gestion optimale pour les chaudières et les turboalternateurs. Ce coint sera diseuté ulus loin.

#### - Remarques préliminaires sur le traitement statistique.

Pour le traitement statistique d'une série temp relle  $(x_t)_{t=1,\dots,n}$  il importe de savoir si la série est stationnaire et, dans la négative, de se ranener par des transformations singles (et inversibles) à une série stationnaire  $(v_t)_{t=1,\dots,K}$  pour laquelle, en rajoutant l'hypothèse

d'ergodicité, la moyenne, covariance... pervent être estimées par moyennage sur le temps. Les estimateurs auxquels nous ferons référence dans cette étude sont :

pour la moyenne 
$$\mu: \hat{\Pi} = \frac{1}{N} \sum_{t=1}^{N} w_{t}$$
 (8)

pour les covariances

$$\gamma_k = \text{covariance} \left( \mathbf{w}_t \cdot \mathbf{w}_{t-k} \right) : \mathbf{c}_k = \hat{\gamma}_k = \frac{1}{N} \sum_{t=k+1}^{N} \left( \mathbf{w}_t - \hat{\mu} \right) \left( \mathbf{w}_{t-k} - \hat{\mu} \right)$$
 (9)

pour les corrélations 
$$\rho_k = \frac{\gamma_k}{\gamma_0} : r_k = \hat{\rho}_k = \frac{c_k}{c_0}$$
 (10)

(On discute of PARZEN [28] JEWKINS AND WATTS [23] le choix du diviseur N ou N-k dans l'estimation de  $\gamma_k$ ; telle qu'elle est donnée, l'estimation de  $\gamma_k$  est biaisée mais a une variance plus faible et la matrice de covariance qui lui est attachée est définie positive); nous appelerons "corrélogramme" l'emmemble des  $T_{k=0,1,2,\ldots}$ .

Parmi les principaux facteurs de non stationnarité (cf. KEMDAL [24] ou ORANGER [19]) citons—les tendances : elles s'éliminent par des différences finies successives sur la série : x<sub>t</sub> = x<sub>t</sub>-x<sub>t-1</sub>, x<sub>t</sub> = x<sup>\*</sup>t-x<sup>\*</sup>t-1, etc... jusqu'à stationnarité.

- les saimonalités de longueur L : elles sont résorbées par des différences à long terme sur la série  $\mathbf{x}_t^t = \mathbf{x}_t - \mathbf{x}_{t-L}$ . En cas d'échec après combinaison simultanée de ces deux opérations, on peut

En cas d'échec sprès combinaison simultanée de ces deux opérations, on peut recourir à des transformations plus complexes (transformation logarithmique... BOX and COX [10]).

Les moyens de juser de la stationnarité, outre la nature même de la série, qui bien souvent, laisse présuser le curactère stationnaire ou non, sont :

- l'inspection visuelle du graphe de la série : par exemple une tendance en moyenne se caractérise par des oscillations autour d'une valeur croissant de manière continue...
- le comportement du corrélogramme : on montre que pour une série stationnaire, les coefficients d'autocorrélation sécroissent rapidement vers 0 en coefficient autour de cette valeur (cf. 80% et JEMINES [11]).
- la comparaison des variances des séries différenciées : la variance décroît tant que la stationnarité n'est pas atteinte et recroît si on surdifférencie.

L'application de ces critères à la série des aléas 60 bars comme à celle des aléas 6 bars justifie l'hypothèse :

$$(H_5)$$
 "A<sub>1</sub>(t) et A<sub>2</sub>(t) sont des processus stationnaires".

Parmi les modèles statistiques, le plus élémentaire est le modèle "bruit blane" pour lequel les réalisations successives  $x_1, x_2, \dots, x_L, x_{L+1}, \dots$  sont indépendantes; son identification revient alors à estimer, en continu, la densité de probabilité, indépendante du temps (hypothèse de stationnarité) à support  $[\underline{A}, \overline{A}]$ .

$$\forall \ x \in \left[\underline{\mathbb{A}}, \overline{\mathbb{A}}\right] \ , \ p(x) = \operatorname{probabilit\'e} \ \left\{ \mathbb{A}(t) \in \left[x, x + \mathrm{d}x\right[\right] \right\}.$$

voire, en discret, les probabilités  $p_{\underline{i}}$  de chaque intervalle de discrétisation de  $[\underline{A},\overline{A}]$ , l'estimateur du maximum de vraisemblance de  $p_{\underline{i}}$  étant :

$$\hat{P}_{\underline{1}} \sim \frac{n_{\underline{1}}}{\sum_{j=1}^{n}} = \frac{n_{\underline{1}}}{n} \quad \text{où} \quad n_{\underline{1}} = \text{nombre d'observations dans le i}^{\underline{c}} \quad \text{intervalle.}$$

Des tests pour déterminer si une série  $(\mathbf{x}_t)_{t=1,\dots,n}$  est ou non la réalisation d'un bruit blanc gaussien sont mentionnés dans GREMANDE-ROSEMELATT [20], HANNAM [21]. On peut exploiter aussi l'approximation de BARTLETT [3] relative à la variance des sutocorrélations estimées d'un processus gaussien :

si 
$$\rho_k$$
=0 pour  $k > q$ , alors variance  $[r_k]_{k>q} = \frac{1}{n} \{1 + 2 \sum_{j=1}^{q} \rho_j^2\}$  (11)

variance 
$$[r_k]_{k=1,2,...} \simeq \frac{1}{n}$$
 (12)

On définit ainsi un intervalle de confiance à 95 °/o de non significativité des coefficients d'autocorrélation donné par les limites 7 2.

Cette technique, expérimentée sur chacune de nos séries, a révélé que les réalisations des aléas 60 bars ainsi que celles des aléas 6 bars sont statistiquement cormiée et nous appelerons ordre de ces processus le nombre des observations des jours précédents qui résument toute l'information contenue dans les observations passées. Four représenter paramétriquement ces séries, (les représentations non paramétriques qui font l'objet de l'analyse spectrale cf. GRANGER [1] présentent peu d'intérêt dans le contexte de notre étude), nous svons trouvé dans la littérature principalement deux grandes directions d'approche :

- · les modèles gaussiens linéaires :
  - représentations markoviennes pour les modèles d'état (en temps discret ou contins) dont le problème de la réalisation est abordé dans FAURRE [16]-RUCKBRUSE [50].
- ou mobbles ARMA (Autoregressive moving average) dans les méthodes de BOX-JEMKINS [11], utilisés fréquemment en docnoule. Notons que des travaux récents ont montré, que par des transformations mathématiques, on passait des uns aux autres et que les méthodes de prédiction faites avec les ARMA étalent es fait équivalentes au filtre de Kalman (BENSOUSSAN [5]).

Four ces modèles linéaires, l'identification comporte à la fois le détermination de l'ordre du modèle et l'estimation des paramètres dans la sous-classe sélectionnée, l'objectif étant d'obtenir un modèle qui "colle" bien aux données, tout en utilisant un nombre aussi faible que possible de paramètres. (principe de "paramonie").

. les modèles markoviens non linéaires ; chaînes de Markov en discret dont l'équivalent continu est le processus de diffusion [cf. QUADRAT-DELSECUE [15]).

Avec cette approche, aucune hypothèse sur la linéarité n'est faite à priori, mais on s'impose l'ordre du processus.

Nous avons exploré simultanément ces deux structures de modèles : ARMA et chaîne de Markov (comme nous travaillons en discret, il est peu recommandé d'identifier un processus de diffusion pour le digitaliser ensuite) afin de dégager les avantages et les incomvénients de l'utilisation de chaque dans l'octimisation dynamique.

#### 4. Modélisation à la BOX et JENKINS.

#### 4.1. Les modèles ARMA et leur identification.

Nous nous contentons ici d'exposer brièvement le principe de la méthode, pour plus de détails on se reportera soit à BOX-JERKINS [11] soit à AKDRESON [2]. Biant donné une série temporelle  $(\pi_{\frac{1}{4}})$  stationnaire, gaussienne, de moyenne nulle, un modèle AERA (p,q) est un mélange :

- d'un modèle autoregressif d'ordre p AR(p) qui explique la valeur  $s_{t}$  par la somme d'un terme gurement aléatoire et d'une pondération des valeurs antérieurs  $s_{t-1}, s_{t-2}, \dots, s_{t-n}$ .
- et d'un modèle moyenne mobile d'ordre q-Ma(q\), qui, lui, explique la valeur  $\mathbf{z}_t$  par la somme d'un terme aléatoire et d'une pondération des résidus des dernières observations  $\mathbf{z}_{t-1} \mathbf{e}_{t-1}$ ,  $\mathbf{z}_{t-2} \mathbf{z}_{t-2}$ ,  $\mathbf{z}_{t-2} \mathbf{e}_{t-1}$ ,  $\mathbf{z}_{t-2} \mathbf{e}_{t-2}$ ,  $\mathbf{z}_{t-2} \mathbf{e}_{t-2} \mathbf{e}_{t-2}$ ,  $\mathbf{z}_{t-2} \mathbf{e}_{t-2} \mathbf{e}_{t-2}$ ,

$$z_{t} = \varphi_{1}z_{t-1} + \varphi_{2}z_{t-2} + \dots + \varphi_{p}z_{t-p} + a_{t} - \theta_{1}a_{t-1} + \dots + \theta_{q}a_{t-q}$$
 (13)

 $a_{\pm}$  variables aléatoires centrées, indépendantes, de variances  $\sigma_a^2$ . En fait, tout AR(p) peut se mettre sous la forme d'un KA( $\infty$ ), et. viceversa, tout RA(q) peut se mettre sous la forme d'un AR( $\infty$ ). L'intérêt du ARA (p,q) réside dans la minimalité du nombre des paramètres explicitée.

Lorsqu'on se propose de déterminer le modèle (13) pour une série chronologique  $(x_t)_{t=1,\ldots,N}$  stationnaire, après avoir vérifié, en construisant son histogramme, que l'hypothèse de normalité était légitime, trois phases se sucoèdent, avec éventuellement des itérations voire des retour en arrière :

a. Choix de l'ordre  $p_o$  de la partie AR et de l'ordre  $q_o$  de la partie MA. Il est guidé par l'examen du graphe des autocorrétations estimées (noté A.C.F.)  $\left[r_k\right]_{k=1,2,\ldots,K}$  (cf. définition (10) de  $r_k$  page 19 et du graphe des autocorrélations partielles estimées (noté P.A.C.F)  $\left\{\theta_{k|k}\right\}_{k=1,2,\ldots,K}$  (K de l'ordre de  $\underline{N}$  suffit pour N observations) obtenues

 $\{\phi_{Kk}^i\}_{k=1,2,\ldots,K} \text{ (K de l'ordre de } \underline{\mathbb{N}} \text{ suffit pour N observations) obtenues en remplaçant } \rho_{\underline{i}} \text{ par } \underline{r}_{\underline{i}} \text{ dans la }^{\underline{i}} \text{ formule de définition :}$ 

$$q_{kk} = \begin{bmatrix} 1 & \rho_1 & \cdots & \rho_{k-2} & \rho_1 \\ \rho_1 & 1 & \cdots & \rho_{k-3} & \rho_2 \\ \rho_2 & \rho_1 & \cdots & \rho_{k-4} & \rho_3 \\ \vdots & \vdots & \ddots & \vdots \\ \rho_{k-1} & \rho_{k-2} & \rho_1 & \rho_k \end{bmatrix}$$

$$q_{kk} = \begin{bmatrix} 1 & \rho_1 & \rho_{k-1} \\ \rho_1 & 1 & \rho_{k-2} \\ \rho_2 & \rho_1 & \rho_{k-3} \\ \vdots & \vdots & \vdots \\ \rho_{k-1} & \rho_{k-2} & 1 \end{bmatrix}$$
(14)

Il s'interprète comme la corrélation partielle entre  $\mathbf{x}_t$  et  $\mathbf{x}_{t-k}$ , les autres variables  $\mathbf{x}_{t-t},\dots,\mathbf{x}_{t-k+1}$  étant fixées.

On montre que si  $\varphi_{kk}$  = 0 pour k > q, alors variance  $\left[ \hat{\varphi}_{kk} \right]_{k > q} = \frac{1}{N}$  (15)

Par référence au comportement des A.C.F. et P.A.C.F. des modèles théoriques : si les  $(\hat{\eta}_{\rm EK})$  ressemblent à un bruit blanc de moyenne nulle et de variance  $\frac{1}{\pi}$  au-delà d'un rang p, on opte pour un  ${\rm AR}(p): \{p_0\text{-pp}\}$ 

si les  $(r_k)_{k\geq q}$  sont analogues à un bruit blanc de moyenne nulle et de variance  $\frac{1}{N}$  (1+2  $\frac{3}{2}$   $r_t^2$ ) (cf. formule (11) page 21), on sélectionne un

MA(q) {po=0.

si les  $(r_k)$  et les  $(\phi_{kk})$  s'étendent à l'infini, on s'oriente vers un ARMA. Comme bien souvent en pratique, p+q < 2, on essaie d'abord un ARMA (1,1).

b. calcul des paramètres qui optimisent l'adéquation du modèle soit à la série observée elle-même, soit à la série  $(x_{\xi}-\mu)$  si la moyenne estimée  $\hat{x}$  (cf.(8) page 19) est significativement différente de 0.

c. vérification de la validité du modèle en s'assurant que, d'une part, les résidus du modèle estimé se comportent quasiment comme un bruit blanc et, d'autre part, une suridentification n'améliore pas la variance du bruit résiduel.

De plum, si plusieure modèles sont en compétition, on peut recourir à certains critères caractérisant la qualité de l'identification (AKAIKE [1]). 4.2. Résultats et commentaires.

Nous nous sommes servis du programme d'identification que possède le centre de calcul de Rhône-Poulenc pour traiter les réalisations disponibles au moment où nous avons effectué (es "passages medine", (224 observations).

#### Vapeur 60 bars : (cf. Annexe II. ).

Les résultats doivent être considérés avec prudence du fait que l'histogramme ne ressex ble pas à celui d'une loi normale, mais présente deux "bosses" (correspondant peut-être à un manque d'homogénéité dans la façon

d'établir les prévisions). Un modèle autoregressif d'ordre deux (éventuellement d'ordre trois ; dans le contexte actuel la suridentification est peu justifiée. Les coefficients du AR(3) ne diffèrent pas de façon significative de ceux du AR(2) et la variance des résidus n'est pas sensiblement diminuée) permet d'obtenir un bruit résiduel à peu près blanc mais de variance encore élevée  $\hat{\sigma}_{\rm a}^2$  =  $(518,5)^2$  comparée à celle de la série initiale

Vapeurs 6 bars : (cf. Annexe II. ).

L'histogramme se rapproche davantage d'une allure gaussienne. Un modèle autoregressif d'ordre 1 semble, pour le moment, suffire. La variance des résidus est  $\delta^2=(411,8)^2$ .

La largeur de la variance du bruit blanc résiduel s'explique par le peu de fidèlité des prévisions faites : elle pourrait être réduite par une meilleure connaissance des consommations spécifiques et notamment l'utilisation de courbes de consommations spécifiques.

D'avantage de cette méthode réside dans le faible nombre de paramètres à estimer ce qui ne mécessite pas une série observée tha longue (en principe une centaine d'observations suffit). Par contre l'ordre retems pour la vapeur 60 bars (2 voire 3), quoique intrimédquement gabre éleré, risque d'alourdir considérablement l'optimisation dynamique [cf. chapitre V 51] et aucoun profit, en revanche, n'est retiré de la structure linéaire. Aussi la seconde survouche semble-telle clus attractive.

#### 5. Chaînes de Markov

A notre connaissance, il n'existe pas de tests statistiques permettant de déterminer l'ordre d'une chaîne de Markov. On peut estimer l'extropie des lois de probabilité conditionnelles  $p(\mathbf{x}_{L}), p(\mathbf{x}_{L}|\mathbf{x}_{L-1}), p(\mathbf{x}_{L}|\mathbf{x}_{L-1}, \mathbf{x}_{L-2})$  etc... et, compte-tenu des propriétés de l'entropie conditionnelle (cr. Callidoff [17]) s'arrêter à l'ordre à partir duquel l'extropie cesse de décroître. Cependant, alors qu'avec un modèle linéaire les non linéarités évertuelles du processus sont compensées au prix d'un ordre élevé, il ne parsit pas déraisonnable -et les ordres 2 et d des moèles linéaires idertifiés pour les vapeurs 60 bars et 6 bars respectivement nous réconfortent dans notre intention- de rendre compte des aléss avec une chaîne de Markov d'ordre 1. Il est nécessaire, en premier lieu, de discrétiser la plage  $[\underline{L}_k,\overline{\lambda}]$  en un nombre NA d'intervalles avant d'identifier la chaîne de Markov stationnaire à NA états c'ent à dire

les NA coefficients  $p_{i,i}$  de la matrice de transition

$$p_{i,j} = \text{probabilité} (A(t) \in classe i | A(t-1) \in classe j)$$

Le pas de discrétisation doit être choimi de telle sorte que les décisions précomisées par l'optimisation dynamique ne soiert pas trop sensibles au biais introduit par la quantification. Dans ce but, nous avons pris l'amplitude de l'intervalle de discrétisation de l'ordre du tiers de la plus petite capacité journaibre des générateurs (480t pour la vapeur 60 bars et 600 t pour la vapeur 60 bars). La plage [A.2] et aussi couverte avec et 600 t pour la vapeur 60 bars). La plage [A.2] et aussi couverte avec

NA. = 11 intervalles pour la vapeur 60 bars.

NA, = 7 intervalles pour la vapeur 6 bars.

Le lemme suivant renseigne sur l'estimateur du maximum vraisemblance de la matrice de transition.

Lemme : étant donné une séquence observée  $\{i(t); t=1,\ldots,N\}$  où i(t) prend ses valeurs dans  $\{1,\ldots,N\lambda\}$ , soit  $N_{i,j}$  le nombre de fois où l'on a observé la séquence  $\{i(t)=j,\ i(t+1)=i\}$ , alors si on considère que cette séquence a été produite par une chaîne de Markov à Nà étab, l'estimateur  $\hat{p}_{i,j}$  du maximum de vraisemblance est :

$$\beta_{\underline{i},\underline{j}} = \frac{N_{\underline{i},\underline{j}}}{\sum_{\underline{i}} N_{\underline{i},\underline{j}}}$$
(15)

Preuve : La probabilité de la séquence observée connaissant i(1) est :

$$p_{i(2)i(1)} p_{i(3)i(2)} \cdots p_{i(n)i(n-1)} = \prod_{i,j} p_{i,j} p_{i,j}$$

si  $\{p_{i,j}\}_{i=1,\dots,NA}$  est la matrice de transitior inconnue.  $j=1,\dots,NA$ 

Les estimateurs du maximum de Vraisemblance  $(\hat{p}_{i,j})_{i=1,\dots,NA}$  s'obtiennent en  $i=1,\dots,NA$ 

Il est évident qu'à l'optimum  $N_{i,i} \neq 0 \implies p_{i,i} \neq 0$ 

En posant  $p_{i,j}=0$  os  $N_{i,j}=0$ , en prenant le logarithme du critère à maximiser et en dualisant les contraintes de normalisation (multiplicateurs  $\lambda_j$ ), le lagrangien s'écrit

Les conditions de stationnarité en  $\,\,\beta_{i,\,i}\,>\,0\,\,$  sont :

$$\frac{\mathtt{N}_{\underline{\texttt{i}},\underline{\texttt{j}}}}{\hat{\mathtt{p}}_{\underline{\texttt{i}},\underline{\texttt{j}}}} \ + \ \lambda_{\underline{\texttt{j}}} = 0 \Rightarrow \hat{\mathtt{p}}_{\underline{\texttt{i}},\underline{\texttt{j}}} = - \frac{\mathtt{N}_{\underline{\texttt{i}},\underline{\texttt{j}}}}{\lambda_{\underline{\texttt{j}}}}$$

en sommant : 1 =  $\sum_{i}$   $\hat{p}_{i,j}$  =  $-\sum_{i}$   $N_{i,j} \times \frac{1}{\lambda_{j}} \Rightarrow \lambda_{j} = -\sum_{i}$   $N_{i,j}$ 

$$\hat{p}_{\underline{i},\underline{j}} = + \frac{N_{\underline{i},\underline{i}}}{\sum\limits_{\underline{i}} N_{\underline{i},\underline{j}}} \quad \text{oqfd} \quad \blacksquare$$

A l'aide d'un programme, spécialement écrit à cet effet, nous avons estimé, avec 287 observations, les matrices de transition pour la vapeur 60 bars et pour vapeur 6 bars.

#### Vapeur 60 bars

0,5	0,5					
	0,615	0,154	0,231			
0,012	0,012	0,630	0,309	0,037		
	0,010	0,222	0,576	0,182	0,010	
	0,017	0,085	0,254	0,525	0,119	
			0,167	0,208	0,542	0,08
				0,5	0,5	

La mauvaise "qualité" de ces matrices, notamment de celle des aléas 60 bars, fait ressortir l'inconvénient majerr de cette modélisation : un nombre élevé MA<sup>2</sup> de paramètres à identifier ce qui nécessite des séries chronologiques très longues. (On compte généralement une vingtaine de données par paramètre à entimer).

Toutefois, pour faciliter l'optimisation dynamique, c'est cette modélisation  $(B_{5})^{-n}A_{1}(t)$  et  $A_{2}(t)$  sont des chafnes de Markov de matrices de transition respectives  $M_{1}(NA_{1}NA_{1})$  et  $M_{2}(NA_{2}NA_{2})^{n}$ , que nous avons retenue, quitte à estimer  $M_{1}$  et  $M_{2}$  par d'autres techniques suggérées dans le paragraphe suivant.

#### 6. Combinaison des deux approches.

L'obstacle venant du fait que la série chronologique analysée n'est pas suffisamment "étoffée" pour une identification robuste, pourrait être sursonté, en utilisant les modèles AR identifiés en vue de simuler des séries aussi longues que souhaitable et qui serviraient de base à l'estimation des coefficients de la chaîne de Markov. Nous n'avons pas expérimenté ce procédé. Par contre, nous avons établi, par des calculs analytiques les liens entre les deux types de modèles.

#### 6.1. Passage d'un AR (1) à une chaîne de Markov.

Soit un processus stationnaire  $\mathbf{x}_t$  de moyenne m, représenté par un modèle autoregressif d'ordre 1 d'équation :

 $x_t = \varphi(x_{t-1} - n) + a_t \quad \text{où } a_t \quad \text{est un bruit blanc gaussien}, \\ \text{de moyenne nulle et d'écart type} \quad \sigma : \text{Probabilité } (a_t < x) - \frac{1}{\sigma} \sqrt{|x|} \int_{-\infty}^{\infty} x e^{-\frac{t^2}{2\sigma^2}} \text{ du}$ 

<u>Lemme</u>: La loi invariante de  $x_i$ est une gaussieune de moyenne m e $\tilde{t}^{\infty}$ d'écart type  $\Sigma$  vérifiant:  $\Sigma^2 = \sigma^2 \Sigma^2 + \sigma^2$ .

o à d 
$$\sum^{2} = \frac{\sigma^{2}}{1-\phi^{2}}$$
 (16  
presive:  $\mathbf{E}((\mathbf{x}_{t}-\mathbf{n})(\mathbf{x}_{t}-\mathbf{n})) = \mathbf{E}([\phi(\mathbf{x}_{t-1}-\mathbf{n})+\mathbf{a}_{t}][\phi(\mathbf{x}_{t-1}-\mathbf{n})+\mathbf{a}_{t}])$   
 $= \phi^{2}\mathbf{E}(\mathbf{x}_{t-1}-\mathbf{n})(\mathbf{x}_{t-1}-\mathbf{n}))\mathbf{E}(\mathbf{a}_{t}\mathbf{a}_{t}]$   
 $+ 2\phi \cdot \mathbf{E}(\mathbf{a}_{t}(\mathbf{x}_{t-1}-\mathbf{n})]$ 

du fait de la stationnarité  $\mathbb{E}[(x_{i-1}-m)(x_{i-1}-m)] = \sum_{i=1}^{2} x_{i-1}$ 

du fait de la non corrélation de  $a_t$  avec  $\mathbf{x}_{t-1}\mathbf{B}[a_t(\mathbf{x}_{t-1}-\mathbf{m})]$  = 0

$$\text{doù} \qquad \mathbb{E}[(x_{t}^{-m})(x_{t}^{-m})] = \phi^{2} \quad \mathbb{E}[(x_{t}^{-m})(x_{t}^{-m})] + \mathbb{E}[a_{t}^{-}a_{t}^{-}].$$

<u>Lesme</u>: La loi conditionnelle de  $x_t$  connaissant  $x_{t-1}$  est une gaussienne de moyenne  $m+\phi(x_{t-1}-m)$  et d'écart type  $\sigma$ .

Presure: Probabilité 
$$(x_{\underline{t}} < x | x_{\underline{t-1}} = y)$$
 = Probabilité  $(yy - ym + a_{\underline{t}} + m < x)$ 

= Probabilité  $(a_{\underline{t}} < x - [m + p(y - m)])$ 

=  $\frac{1}{\sigma \sqrt{2\pi}} \int_{-\infty}^{\infty} \frac{x - [m + p(y - m)]}{\sigma} e^{-\frac{u^2}{2\sigma^2}} du$ 

=  $\frac{1}{\sigma \sqrt{2\pi}} \int_{-\infty}^{\infty} \int_{-\infty}^{\infty} e^{-\frac{[u - m - p(y - m)]^2}{2\sigma^2}} du$  offd •

Reste à discrétiser cette loi conditionnelle pour calceler la matrice de transition de la chaîne de Markov qui lui est associée. La méthode indiquée ci-dessous est valable pour une densité de probabilité conditionnelle  $\Psi(x|y)$  gaussienne de moyenne  $\Phi(y)$  et de variance  $S^2$ :

$$\Psi(\mathbf{x_o}|\mathbf{y_o}) = \text{probabilité } (\mathbf{x} \in [\mathbf{x_o}, \mathbf{x_o} + \text{d}\mathbf{x}[|\mathbf{y} = \mathbf{y_o})] = \frac{1}{\sqrt{2 \, \text{k g}}} \, e^{-\frac{1}{2} \, \frac{(\mathbf{x_o} - \mathbf{c}(\mathbf{y_o}))^2}{3^2}}$$

Si l'intervalle de discrétisation  $[\underline{A},\overline{A}]$  est divisé en NA classes de longueur  $\Delta$  telle que NA. $\Delta=\overline{A}-\underline{A}$ , nous svons :

$$\Psi^{3}(y_{0}) = \text{Probabilité} \left(x \in \text{classe } j|y = y_{0}\right) = \frac{1}{\sqrt{2\pi}3} \int_{A}^{A} + \frac{3\Delta}{(3-1)\Delta} e^{-\frac{1}{2}} \frac{(x-\phi(y_{0}))^{c}}{s^{2}} dx$$

$$=\frac{1}{\sqrt{2\pi}S}\int_{\underline{A}}^{\underline{A}}+j\Delta-\phi(y_0)e^{-\frac{x^2}{2S^2}}dx$$

$$\underline{A}+(j-1)\Delta-\phi(y_0)$$

Pour éviter les effets de bord on convient que :

$$\begin{split} & \mathbb{Y}^{1}\left(y_{0}\right) : \frac{1}{\sqrt{2}\mathbb{K}_{2}} \quad \int \frac{\mathbb{A}}{\mathbf{A}} & -\phi\left(y_{0}\right) \quad \mathbf{e} = \frac{\mathbf{x}^{2}}{2\mathbf{S}^{2}} \quad \mathrm{d}\mathbf{x}. \\ & \mathbb{Y}^{\mathrm{RA}}\left(y_{0}\right) : \frac{1}{\sqrt{2}\mathbb{K}_{2}} \quad \int +\infty \quad \mathbf{e} \quad \frac{\mathbf{x}^{2}}{2\mathbf{S}^{2}} \quad \mathrm{d}\mathbf{x}. \\ & \quad \mathbb{A} + (\mathrm{RA} - 1)\Delta -\phi\left(y_{0}\right) \end{split}$$

de sorte que

$$\begin{array}{ccc} & \underset{j=1}{\overset{NA}{\sum}} & \forall^{j}(y_{o}) & = 1 \\ & & & \\ & & & \\ & & & \\ & & & \\ & & & \\ & & & \\ & & & \\ & & & \\ & & & \\ & & & \\ & & \\ & & & \\ & \\ & & \\ & & \\ & & \\ & & \\ & & \\ & & \\ & & \\ & & \\ & & \\ & & \\ & & \\ & & \\ &$$

soit 
$$p_{ji} = \frac{1}{\Delta} \int \frac{\underline{A}+i\Delta}{\underline{A}} \underline{\Psi}^{j}(\underline{y}) d\underline{y}$$
  
 $\underline{\underline{A}} + (i-1)\Delta$ 

On est ramenó à calculer l'intégrale de  $\Psi^{3}(y)$  sur  $[\underline{A} \bullet (i-1) \land \underline{A} \bullet i \land i]$   $\Psi_{3} = 1, \dots, MA$  et  $\Psi_{1} = 1, \dots, MA$ . On y parvient numériquement après avoir évalué  $\phi^{3}(y)$  en un nombre suffisamment grand de points de discrétisation de l'intervalle  $[\underline{A} + (i-1) \land \underline{A} + i \land i]$ . (cf. annexe  $[\underline{I}]$ ).

#### 6.2. Passage d'un AR(2) à une chaîne de Markov.

Soit un processus stationnaire  $\mathbf{x}_{t}$  de moyenne m décrit par un modèle autorégressif d'ordre 2 d'équation :

$$x_{t} - m = \varphi_{1}(x_{t-1}-m) + \varphi_{2}(x_{t-2}-m) + a_{t}$$

avec  $a_i$  bruit blanc gaussien de moyenne nulle et d'écart-type  $\sigma$  .

<u>Lemme</u> : a) La loi stationnaire de  $x_t$  est une gaussienne de moyenne m et d'écart-type  $\Sigma$ .

$$\Sigma = \sigma \sqrt{\frac{1 - q_2}{(1 + q_2)(1 + q_1 - q_2)(1 - q_2 - q_1)}}$$
(17)

b) La loi conjointe de  $(x_t, x_{t-1})$  est la loi normale bidimensionnelle de densité

$$p(\mathbf{x}_{\mathbf{t}}, \mathbf{x}_{\mathbf{t}-1}) = \frac{1}{2\pi \sum^{2} (1-\rho^{2})^{\frac{1}{2}}} \exp \left\{ -\frac{1}{2(1-\rho^{2})} \left[ -\frac{(\mathbf{x}_{\mathbf{t}}-\mathbf{m})^{2} + (\mathbf{x}_{\mathbf{t}-1}-\mathbf{m})^{2} - 2\rho(\mathbf{x}_{\mathbf{t}}-\mathbf{m})(\mathbf{x}_{\mathbf{t}-1}-\mathbf{m})}{\sum^{2}} \right] \right\}$$

où  $\rho$  est le coefficient de corrélation entre  $\mathbf{x}_t$  et  $\mathbf{x}_{t-1}$  .

$$\rho = \frac{\varphi_1}{1 - \varphi_2}$$
(19)

Preuve : Revenons à la représentation d'état :

$$X_t = \begin{pmatrix} x_t - \pi \\ x_{t-1} - \pi \end{pmatrix}$$

Le modèle s'écrit :

$$\mathbf{X}_{\mathbf{t}} = \begin{pmatrix} \mathbf{\phi}_1 & & \mathbf{\phi}_2 \\ & & \\ 1 & & 0 \end{pmatrix} \qquad \qquad \mathbf{X}_{\mathbf{t-1}} + \begin{pmatrix} \mathbf{a}_{\mathbf{t}} \\ \mathbf{0} \end{pmatrix}$$

Soit 
$$X_t = F X_{t-1} + v_t$$

$$\mathbf{v}_{\mathbf{t}}$$
 bruit blanc tel que :  $Q = \mathbb{E}(\mathbf{v}_{\mathbf{t}}\mathbf{v}_{\mathbf{t}}^{\mathbf{1}}) = \begin{pmatrix} \sigma^{2} & 0 \\ 0 & 0 \end{pmatrix}$ 

L'équation vérifiée par  $P = \mathbb{E}[X_t \cdot X_t^*]$ , matrice de covariance de  $X_t$ , est :

Posant

$$P = \begin{pmatrix} \Sigma^2 & \rho \Sigma^2 \\ \rho \Sigma^2 & \Sigma^2 \end{pmatrix}$$

on a :

$$\begin{pmatrix} \Sigma^2 & \rho \ \Sigma^2 \\ \rho \ \Sigma^2 & \Sigma^2 \end{pmatrix} = \begin{pmatrix} \varphi_1 & \varphi_2 \\ 1 & 0 \end{pmatrix} \begin{pmatrix} \Sigma^2 & \rho \ \Sigma^2 \\ \rho \ \Sigma^2 & \Sigma^2 \end{pmatrix} \quad \begin{pmatrix} \varphi_1 & 1 \\ \varphi_2 & 0 \end{pmatrix} + \quad \begin{pmatrix} \sigma^2 & 0 \\ 0 & 0 \end{pmatrix}$$

d'où les 2 équations :

$$\begin{cases} \sum^{2} = (\varphi_{1}(\varphi_{1} + \rho \varphi_{2}) + \varphi_{2}(\rho \varphi_{1} + \varphi_{2})) \sum^{2} = \sigma^{2} \\ \rho \sum^{2} = (\varphi_{1} + \rho \varphi_{2}) \sum^{2} \end{cases}$$

soit 
$$\rho(1-\phi_2) = \phi_1 \Rightarrow \rho = \frac{\phi_1}{1-\phi_2}$$

$$\text{puis} \qquad \Sigma^2 = \sigma^2 \ \frac{(1-\phi_2)}{(1+\phi_2)(1-\phi_2+\phi_1)(1-\phi_2-\phi_1)}$$

le 2e résultat annoncé est classique, une fois ρ connu. cqfd π

<u>lemme</u>: La loi conditionnelle de  $x_t$  commaissant  $x_{\frac{1}{2}-1}$  est une gaussienne de moyenne  $\pi + \frac{\varphi_1}{1-\varphi_2} (x_{t-1}-\pi)$  et de variance  $S^2 = \frac{\sigma}{\sigma}$  (20)

 $\frac{\text{Preuve}}{\text{conditionnelles}}: \text{probabilité} \ \, (x_t = x \mid x_{t-1} = u) = \frac{\text{probabilité} \ \, (x \ , u)}{\text{probabilité} \ \, (x_{t-1} = u)} \quad \, \text{(loi des probabilités conditionnelles)}.$ 

$$\frac{\sqrt{2}\pi}{2\pi}\frac{\Sigma}{\sum^{2}(1-\rho^{2})^{1/2}}\exp\{-\frac{1}{2(1-\rho^{2})}\frac{(x-\pi)^{2}+(u-\pi)^{2}-2\rho(x-\pi)(u-\pi)}{\sum^{2}}+\frac{1}{2}\frac{(u-\pi)^{2}}{\sum^{2}}\}$$

probabilité 
$$(x_+ \neg x | x_{+-1} \rightarrow u)$$

$$= \frac{1}{\sqrt{2\pi}\sum(1-\rho^2)^{1/2}} \exp \left\{-\frac{1}{2(1-\rho^2)} \frac{(x-\pi)^2+\rho^2(u-\pi)^2-2\rho(x}{\Sigma^2} \frac{-\pi)(u-\pi)}{2}\right\}$$

$$= \frac{1}{\sqrt{2\pi} \sum \sqrt{1-\rho^2}} \quad \exp \ \{ -\frac{1}{2\left(1-\rho^2\right)} \, \frac{\left(x - m - \rho\left(u - m\right)\right)^2}{\sum_{i=1}^2} \, \}$$

posant 
$$S^2 = (1-\rho^2) \sum_{j=1}^{2} = \sum_{j=1}^{2} (1-\frac{\varphi_1^2}{(1-\varphi_2)^2})^2$$

soit 
$$S^2 = \frac{\sigma^2}{(1+\phi_2)(1-\phi_2)}$$

on a le résultat annoncé cqfd •

On est à nouveau ramené au problème du calcul des probabilités conditionnelles partant d'une loi conditionnelle continue gaussienne et la méthode décrite au §6.1 s'applique  $\psi(y) = n + \frac{\eta^2}{1-\phi_n}$  (y-m).

$$S^2 = \frac{\sigma^2}{(1+\varphi_2)(1-\varphi_2)}$$

6.3. Résultats.

La discrétisation des modèles AR(2) et AR(1) retenus pour l'aléa vapeur 50 bars et l'aléa vapeur 6 bars respectivement conduisent aux matrices de transition suivantes

<u>vapeur 60 bars</u> : modèle (s<sub>t</sub>-57,28)=0,6433(s<sub>t-1</sub>-57,28)+0,2007(s<sub>t-2</sub>-57,28)+a<sub>t</sub>

avec 8 = 518,53.

```
0,346 0,339 0,224 0,0070 0,011
0,134 0,277 0,331 0,189 0,052 0,007
0,034 0,140 0,304 0,315 0,156 0,037 0,004
0,006 0,044 0,173 0,324 0,291 0,125 0,025 0,002
0,008 0,061 0,207 0,336 0,261 0,097 0,017 0,001
0,001 0,013 0,082 0,241 0,339 0,228 0,073 0,011
0,002 0,020 0,107 0,273 0,335 0,194 0,054 0,007
0,003 0,029 0,136 0,301 0,317 0,160 0,039 0,005
0,004 0,05 0,042 0,169 0,332 0,294 0,128 0,029
0,008 0,059 0,030 0,035 0,265 0,120
0,001 0,013 0,080 0,237 0,339 0,321
```

<u>vapeur 6 bars</u>: modèle  $(z_t-241,3) = 0.722 (z_{t-1}-241,3)+a_t$ avec  $\hat{\sigma}_s = 411,77.$ 

Bien entendu, ces matrices sont beaucoup plus "régulières" mais la comparaison avec les matrices estimées par voie directe est difficile : il faudrait, peut-être, définir, en liaison avec les perforances obteuses lorsqu'on les utilise dans l'optimisation dynamique, un critère caractérisant leur "qualité". Elle vise à répartir "au mieux" la charge instantanée sur les générateurs (chaudères ou turboalternateurs) en fonctionnement. Nous raisonnons ici sur une période d'une heure au cours de laquelle la demande est supposée constante.

#### 1. Cas des chaudières.

Le critère à minimiser est le coût de production de la demande D horaire en vapeur 60 bars avec la configuration C, le coût optimal résultant sera noté G(c.p).

### 1.1. Formulation.

Soit I l'ensemble des indices des chaudières en marche dans la configuration

- P<sub>1</sub> la puissance nominale (en tonnes/h) de la chaudière i et x<sub>1</sub> la fraction de cette puissance à laquelle on règle la chaudière ; x, varie dans la plage [x,x].
- $P_{\underline{1}}(x_{\underline{1}})$  la quantité de combustible consommée par tonne de vapeur produite au régime  $x_{\underline{1}}$

$$\mathbb{P}_{\mathbf{i}}(\mathbf{x}_{\mathbf{i}}) = \frac{(\Delta H \mathbf{v})}{(PO \ \mathbf{I})_{\mathbf{i}}} \times \frac{1}{\mathbf{r}_{\mathbf{i}}(\mathbf{x}_{\mathbf{i}})}$$

- (AHV) = différente d'enthalpie unitaire entre la vapeur 60 bars produite et l'eau alimentaire = 670 thermies/tonne vapeur.
- (PCI) = pouvoir calorifique inférieur du combustible = 9750 thermies/tonne de fuel.

= 7,680 thermies  $/\mathrm{Nm}^3$ 

de gaz naturel.

 $(\text{Nm}^3 = \text{"Normaux-m}^5 \text{" c'est à dire mesuré à 0°C et sous 76 cm de mercure}).$ 

r, (x, ) = rendement global de la chaudière.

Le problème d'optimisation statique s'énonce :

$$\begin{array}{ll} \min_{(\mathbf{x}_{\underline{i}})} & \sum\limits_{i \in \mathbf{I}} & ((\mathbf{p}_{\mathbf{o}})_{1}, \mathbf{F}_{\underline{i}}(\mathbf{x}_{\underline{i}}), \mathbf{F}_{\underline{i}}\mathbf{x}_{\underline{i}} - (\mathbf{p}_{\mathbf{e}}), (\mathbf{c}_{\mathbf{ae}})_{\underline{i}}(\mathbf{x}_{\underline{i}}) + (\mathbf{p}_{\underline{e}}), (\mathbf{c}_{\mathbf{av}})_{\underline{i}}(\mathbf{x}_{\underline{i}})) \\ & \text{ifI} \\ & \text{sous} \sum\limits_{\underline{i} \in \mathbf{I}} \mathbf{F}_{\underline{i}}\mathbf{x}_{\underline{i}} = \mathbf{D} \end{array}$$

avec (po), = prix du combustible utilisé.

(pc) = prix de la tonne de vapeur 6 bars.

(p\_) = prix du KWh électrique.

Se reportant au chapitre II § 5.5 pour les expressions de (C\_ae) (x\_i) et (C\_{av})\_i (x\_i) on a à résoudre

## 1.2. Méthode générale de résolution.

Parmi les nombreuses méthodes de résolution des problèmes de minimisation sous contrainte, la méthode duale (cf LUENSERGER [27]) a retenu notre attention du fait de la forme additive du critère et de la contrainte. En

effet le Lagrangien a alors lui-même la propriété de séarabilité. Il s'écrit ici, en posant  $J_{\frac{1}{2}}(x_{\frac{1}{2}})=((p_0)_{\frac{1}{2}}H_{\frac{1}{2}}(p_0))\frac{\left(\frac{h}{2}h}{p_0})^{-\frac{1}{2}}\frac{x_{\frac{1}{2}}}{r_{\frac{1}{2}}(x_{\frac{1}{2}})}+p_{e^*}((a_0)_{\frac{1}{2}}x_{\frac{1}{2}}^{-4}(b_0)_{\frac{1}{2}})$ 

$$\begin{split} \mathbf{Z}(\mathbf{x}_{\underline{i}}, \lambda) &= \sum_{\underline{i} \in \underline{I}} \quad \mathbf{J}_{\underline{i}}(\mathbf{x}_{\underline{i}}) + \lambda (\sum_{\underline{i} \in \underline{I}} \quad \mathbf{P}_{\underline{i}} \mathbf{x}_{\underline{i}} - \mathbf{D}) \\ &= \sum_{\underline{i} \in \underline{I}} \quad (\mathbf{J}_{\underline{i}}(\mathbf{x}_{\underline{i}}) + \lambda \quad \mathbf{P}_{\underline{i}} \mathbf{x}_{\underline{i}}) - \lambda \mathbf{D} \end{split}$$

On sait que (P)  $\approx \min_{\substack{(x_{\underline{1}}) \in [\underline{\chi}, \overline{\chi}]}} \max_{\lambda} \not\in (x_{\underline{1}}, \lambda)$ 

Si on lui associe son problème dual (P\*)

$$(\rho^{\wedge})$$
 max  $h(\lambda) = \max \min_{(x_{\underline{1}})} \min_{\underline{1} \in \underline{f}[\underline{x}, \overline{x}]} \mathcal{Z}(x_{\underline{1}}, \lambda)$ 

le calcul de la fonction duale  $h(\lambda)$  se scinde en cardinal (I) minimisations unidimensionnelles et il suffit d'itérer sur le paramètre dual  $\lambda$  pour faire croître  $h(\lambda)$ .

Quelle que soit la structure de (P), l'inégalité suivante est vérifiée :

min 
$$(\rho)$$
 = max  $(\rho*) > 0$ .

De plus la différence - saut de dualité - est mulle lorsque le Lagrangien admet un point-selle. C'est le cas notamment si le critère est comvexe et la contrainte linéaire. Résoudre (P) équivant alors à trouver un point-selle du Lagrangie

Si le lagrangien  $\mathscr{L}(x,\lambda)$  est strictement convexe en x, à  $\lambda$  fixé, la fonction duale est alors différentiable et un algorithme à deux niveaux (of LASDON-SCHOEPPLER [25]) du type suivant est utilisable pour la recherche du point-selle (voir aussi COHEN [13]):

1°) choisir 
$$\lambda^0$$
; poser  $k = 0$ .  
2°) au pas  $k$  résoudre.

 $\min_{\substack{(x_1')_{i\in\Pi}\{\underline{x},x'\}\\\text{independants à une variable.}}} z(x_1,x^k) \text{ qui se décompose en cardinal (I) sous-problèmes indépendants à une variable.}$ 

$$(\boldsymbol{\rho}_{\underline{i}})^k \quad \min_{\boldsymbol{x}_{\underline{i}} \in \left[\underline{\boldsymbol{x}}, \overline{\boldsymbol{x}}\right]} \quad \boldsymbol{J}_{\underline{i}}(\boldsymbol{x}_{\underline{i}}) \, + \boldsymbol{\lambda}^k \, \, \boldsymbol{P}_{\underline{i}} \boldsymbol{x}_{\underline{i}}.$$

Soit  $x_1^k$  la solution (unique grâce à 1°hypothèse de stricte convexité).

Remarquons, à ce propos, que si deux chaudières de même type fonctionnent simultanément  $-i_{\frac{1}{4}}$  et  $i_{\frac{1}{2}}$  par exemple- alors  $J_{\frac{1}{4}}(x)\equiv J_{\frac{1}{2}}(x)$ 

3°) aguster  $\lambda^k$ —soit par une formule de gradient : l'Argument du Minimum de L(x, \lambda) étant unique, le gradient de h(\lambda) au point  $\lambda^k$  est  $\left(\sum\limits_{i \in I} \mathbb{P}_{\lambda_i^{k}}^{-1} D\right)$ , d'où la formule d'itération :  $\lambda^{k+1} = \lambda^k + \rho\left(\sum\limits_{i \in I} \mathbb{P}_{\lambda_i^{k}}^{-1} - D\right)$ . C'est l'algorithme d'UZAMA pour la recherche de coint-selle.

Dans le cas où les rendements  $\mathbf{r_i}(\mathbf{x_i})$  sont des constantes  $\mathbf{r_i}$ , les fonctions  $\mathbf{J_i}(\mathbf{x_i})$  sont linéaires :

$$J_{\underline{1}}(x_{\underline{1}}) = \left[\frac{p_{\underline{0}} y \cdot \#x_{\underline{1}} \cdot (p_{\underline{0}})}{x} \cdot \frac{(\Delta p_{\underline{0}})}{(p_{\underline{0}})} + p_{\underline{0}} \cdot \frac{(a_{\underline{0}})}{p_{\underline{0}}}\right] \cdot p_{\underline{1}} x_{\underline{1}} + p_{\underline{0}} \cdot (b_{\underline{0}})_{\underline{1}}$$

Elles sont done convexes, mais pas strictement convexes et l'unicité de l'argument du minisma de  $L(x_1\lambda)$  n'est plus garantie. Mais, sous cette hypothèse de rendements constants, il est inutile de recourir à un algorithme à deux niveaux, puisque on a une solution analytique du problème, que nous explicitons au paragraphe suivant.

Par contre, avec les rendements paraboliques  $\mathbf{r}_{\underline{i}}(\mathbf{x}_{\underline{i}}) = \mathbf{a}_{\underline{i}}\mathbf{x}_{\underline{i}}^2 + \mathbf{b}_{\underline{i}}\mathbf{x}_{\underline{i}} + \mathbf{c}_{\underline{i}}$ , utilisés pour la répartition statique en temps réel, on se heurte à des problèmes de non convexité.

#### 1.3. Résolution analytique pour des rendements constants

"rendement apparent".

$$(\rho) \Leftrightarrow \min_{\left(x_{\underline{i}}\right)_{\underline{i}\in \mathbb{T}}} \sum_{\boldsymbol{\ell}\in \left[\underline{x},\overline{x}\right]} \sum_{\underline{i}\in \mathbb{I}} R_{\underline{i}} P_{\underline{i}} x_{\underline{i}} \quad \text{sous} \quad \sum_{\underline{i}\in \mathbb{I}} P_{\underline{i}} x_{\underline{i}} = D.$$

Dualisons toutes les contraintes-égalité et inégalité. Le lagrangien s'écrit :

$$\mathcal{L}(\mathbf{x},\lambda,\mu,\nu) = \underset{1 \in \mathbf{I}}{\sum} \ \mathbb{P}_{\underline{1}} \mathbb{P}_{\underline{1}} \mathbf{x}_{\underline{1}} + \lambda \ (\underset{1 \in \mathbf{I}}{\sum} \ \mathbb{P}_{\underline{1}} \mathbf{x}_{\underline{1}} - \mathbb{D}) + \underset{1 \in \mathbf{I}}{\sum} \ \mu_{\underline{1}} (\mathbf{x}_{\underline{1}} - \overline{\mathbf{x}}) + \underset{1 \in \mathbf{I}}{\sum} \ \nu_{\underline{1}} (\underline{\mathbf{x}} - \mathbf{x}_{\underline{1}})$$

Les conditions nécessaires (et suffisantes) d'optimalité sont :

$$\begin{cases} \sum_{\mathbf{i} \in \Gamma} P_{\mathbf{i}} \mathbf{x}_{\mathbf{i}}^* = D & (21) \\ \forall_{\mathbf{i} \in \Gamma} P_{\mathbf{i}} \mathbf{x}_{\mathbf{i}}^* + \lambda^* P_{\mathbf{i}} + \mu_{\mathbf{i}}^* - \nu_{\mathbf{i}}^* = 0. & (22) \\ \forall_{\mathbf{i} \in \Gamma} P_{\mathbf{i}}^* > 0 & \text{et} & \mu_{\mathbf{i}}^* (\mathbf{x}_{\mathbf{i}}^* - \overline{\mathbf{x}}) = 0. & (23) \\ \forall_{\mathbf{i} \in \Gamma} \nu_{\mathbf{i}}^* > 0 & \text{et} & \nu_{\mathbf{i}}^* (\underline{\mathbf{x}} - \mathbf{x}_{\mathbf{i}}^*) = 0. & (24) \end{cases}$$

Soit I, = {i 
$$\in I/\mu_i^* = \nu_i^* = 0$$
 }

$$\mathbf{I}_2 = \left\{ i \in \mathbf{I} / \mu_{\hat{\mathbf{I}}}^* = 0 \quad \text{et } \nu_{\hat{\mathbf{I}}}^* > 0 \right\} = \left\{ i \in \mathbf{I}, \ \mathbf{x}_{\hat{\mathbf{I}}}^* = \underline{\mathbf{x}} \right\}.$$

$$I_3 = \{i \in I/v_1^* = 0 \text{ et } \mu_1^* > 0\} = \{i \in I, x_1^* = \overline{x}\}.$$

 $(I_1, I_2, I_3)$  réalise une partition de I.

Si  $\forall i \in I$  les  $R_{\underline{i}}$  sont distincts et si on écarte les cas triviaux  $\sum_{i \in I} P_{\underline{i}} \overline{x} = D \quad \text{ou} \quad \sum_{i \in I} P_{\underline{i}} \underline{z} = D, \text{ nécéssairement } I_{\underline{i}} \neq \emptyset \text{ et est réduit } i \in I$ 

à un seul ólément puisque  $\forall i \in I_i$   $\lambda^* = -R_i$ .

Donc  $\mathfrak{A}!$   $j \in I_1$  et  $\lambda * = -R_4$ .

De plus 
$$\forall i \in I_2$$
  $\mathbf{v}_i^* = R_i P_i + \lambda^* P_i > 0 \Rightarrow R_i > R_i$ 

$$\forall i \in I_3$$
  $\mu_i^* = R_i P_i - \lambda * P_i > 0 \Rightarrow R_i \leq R_j$ 

$$I_3 = \{i \in I, x_i^* = \overline{x} \} = \{i \in I/R_i < R_j \}$$
 (26)

x\* est déterminé par

$$x_{3}^{*} = \frac{P - \sum_{i \in \Gamma_{2}} P_{i} \overline{x} - \sum_{i \in \Gamma_{3}} P_{i} \overline{x}}{P_{i}}$$
(27)

D'où le <u>lemme</u> : Supposons les chaudières rangées par ordre de rendement apparent décroissant (strictement) et  $(\sum_{i \in \Gamma_i} P_i) \succeq \neq D$  ainsi que

$$(\sum_{i \in I} P_i) \overline{x} \neq D$$
 alors:  
 $\exists ! \ i \in I \ x_*^* \in ]\underline{x}, \overline{x}[$ 

Alors (%\*) constitue un minimum local de (P).

Par ailleurs, notons, qu'avec les données actuelles, seule  $J_2(x)$  n'est pas convexe sur  $[\underline{x},\overline{x}]$  (cf. tableau  $\Im$  Annexe III) mais pour les demandes telles que  $\frac{\pi}{2}$  est situé dans la sône de non convexité (approximativement  $[\underline{x}]$ , 0.46]),  $\widehat{x}^*$  vérifie à coup sûr les conditions ((28) et (29)) nécessaires de minimum local ; ceci signifie que, dans les cas non immédia x  $-x^* \neq \widehat{x}^*$ , on a une structure localesent convexe et que l'introduction de  $\alpha$  est inutile. Méarmoins, come ces courbes de rendement sont susceptibles de subir des modifications, nous avons testé l'algorithme dual convexifié pour étudier l'influence du paramètre  $\alpha$ . Nous la mettons en relief sur un exenule :

demande horaire 335 tonnes configuration (1,1,1)

$$v^0 = \begin{bmatrix} \tilde{x}_1^* = 0,40 \\ \tilde{x}_2^* = 0,9583 \\ \tilde{x}_4^* = 1. \end{bmatrix}$$
 qui n'est pas un optimus local  $(\lambda^0)^0 = -62,08$ 

ı			,,,,	100	200	500	$x_{\star}^{\star} = 0.543$
	Nombre de	1	4	5	7	12	x* = 0,898
	pas k						$x_{\frac{1}{2}}^{*} = 1$
							1 )

0 50 100 200 500

rour chaque pas k, avec un réglage convenable de ρ, il y a quelques itérations en 1 (généralement moins de 5), qui preument chaqune environ 3 s.500 ms sur petit calculateur T1600.

Conformément à la théorie, le nombre de pas en k, et par suite le temps calcul, croît au fur et à mesure qu'on convexifie.

### 1.4.b. Autre méthoge : gradient projeté.

Comme, dans le cas des rendements paraboliques, la méthode duale doit être "aménagée", à cause de la non convexité du critère, on peut se demander s'il n'est pas aussi efficace d'utiliser une méthode de gradient projecé (CEA [12]) Posant  $\mathbf{x} = (\mathbf{x}_1)_{1\in \Gamma}$  et  $J(\mathbf{x}) = \sum_{i\in \Gamma} J_i(\mathbf{x}_i)$ 

$$\forall \mathtt{J}(\mathtt{x}) \text{ a pour composantes } \left(\mathtt{J}_{\dot{\mathtt{1}}}^{\bullet}(\mathtt{x}_{\dot{\mathtt{1}}})\right)_{\dot{\mathtt{1}} \in \mathtt{I}}$$

$$\forall j \le i$$
  $x_j^* = \overline{x}$ 

$$\forall j \ge i$$
  $x_j^* = \underline{x}$ 

L'algorithme de résolution consiste à saturer les chaudières par ordre de rendement apparent décroissant tant que la charge restant à répartir sur les autres n'est pas inférieure à la somme de leurs capacités minimale de production. (cf. Aurest III. 1.).

3i pour certains i C I les R<sub>I</sub> sont égaux - c'est le cas pour des chaudières i , i \_2 de même type - alors . ou bien I, =  $\{j\}$  avec  $\{k \neq j\}$   $\mathbb{R}_k \neq \mathbb{R}_j$ . Alors les indices i, , i\_2 sont re-roupées dans un même ensemble i\_2 ou I\_3 et les chaudières i, i\_2 se comportent comme une seule chaudière de capacité 2 P<sub>I</sub> = 2 P<sub>I\_2</sub> réglée à  $\underline{X}$  ou  $\overline{X}$ .

• ou bien 
$$I_1 = \{i_1, i_2\}$$
.  $\lambda * = -R_{i_1} = R_{i_2}$ 

Les relations ((25),(26))subsistent. Par contre,  $x_{\hat{1}_4}^*$  et  $x_{\hat{1}_2}^*$  ne sont

définies dans  $\|\underline{x},\overline{x}\|$  que par leur somme (relation (27)). Tout se passe comme si on avait une seule chaudière de capacité  $2P_{\underline{x}_1}=2$   $P_{\underline{x}_2}$  réglée à

 $\frac{x_1^*}{2} + \frac{x_1^*}{2}$ . Il en résulte, qu'avant de commence l'optimisation statique, on regroupera toujours les chaudières équivalentes.

## 1.4. Rendements paraboliques.

Les fonctions  $J_{\underline{\chi}}(\underline{\chi}_{\underline{\chi}})$  ne sont plus nécessairement convexes sur  $[\underline{\chi},\overline{\chi}]$  et l'algorithme decrit en 1.2 ne permet pas de parvenir à l'optimum, en l'absence d'un paramètre dual  $\lambda^*$  pour lequel les  $\underline{\chi}_{\underline{\chi}}^*(\lambda^*)$  vérifient la contrainte.

# 1.4.a. Procédures de convexification.

Pour tourner la difficulté, il existe des procédures de convexification :

- máthodes de pénalité (cf BENTSEKAS [9]) où on ajoute le carré de la contrainte, elles ne présentent qu'un intérêt relatif, car elles font perdre l'additivité. Plus intéressante est la procédure mentionnée chez BENTSEKAS [8] qui consiste à augmenter le critère d'un terme quadratique additif dont la dérivée s'annule à l'optimum. De façon évidente :

$$\begin{array}{ll} \forall \ \alpha \geqslant 0 \ (\rho) \Leftrightarrow (\tilde{\rho}) & \min_{\left(\begin{matrix} x_{i} \\ z \end{matrix}\right)_{i \in I} \in \left[\underbrace{x_{i} \times \overline{x}}\right]} & \sum_{i \in I} J_{i}(x_{i}) + \alpha \sum_{i \in I} \frac{1}{2} \left(x_{i} - x_{i}\right)^{2} \\ \left(v_{i}\right)_{i \in I} \in \mathbb{R} \\ & \text{sous } \sum_{i \in I} F_{i} \ x_{i} = \mathbb{D}. \end{array}$$

puisque le minimum en  $v = (v_1)_{i \in I}$  est réalisé par  $v^* = x^*$ .

Définissant 
$$\Phi_{\alpha}(\mathbf{v}) = \min_{\left(\mathbf{x}_{1}^{-1}\right)_{1 \in \Gamma} \in \left[\frac{1}{2}, \mathbf{x}_{1}^{-1}\right]} \sum_{\mathbf{i} \in \Gamma} J_{\mathbf{i}}\left(\mathbf{x}_{1}^{-1}\right) + \alpha \sum_{\mathbf{i} \in \Gamma} \frac{1}{2} \left(\mathbf{x}_{1}^{-\mathbf{v}}\mathbf{v}_{1}^{-1}\right)^{2}$$

$$\text{sous } \sum_{\mathbf{i} \in \Gamma} P_{\mathbf{i}}\mathbf{x}_{1}^{-1} = 0, \ (\alpha \geq 0)$$

il est possible, par un choix adequat de  $\alpha$ , de donner localement à ce problème une structure convexe et donc l'éviter un saut de dualité, ce qui permet de trouver par la méthode duale  $\lambda^*(v)$  et un  $x^*(v)$  correspondant vóriffant les contraintes. Reste ensuite à minimiser  $\Phi_{\alpha}(v)$  par une méthode de gradient, voire une méthode de Newton .  $v_1 v_1 \in \mathbb{R}$   $\mathbb{R}$   $\mathbb{R}$   $\mathbb{R}$  particulier, étant donné  $(x_1^k)_{1 \in \mathbb{R}}$  l'optimum de  $\Phi_{\alpha}(v^k)$ , on peut itérer avec

 $v_{k}^{(c,d)} = x_{k}^{(c)}$  qui s'interprète comme une itération de type gradient avec un pas  $\rho = \frac{1}{\alpha}$  . A  $\alpha$ 

fixé, en initialisant "correctement" l'algorithme, or converge vers un point  $\mathbf{x}^*(\lambda^*)$  satisfaisant les conditions nécessaires d'optimalité.

 $\mathbf{x}^*$  est un minimum local de ( °). Faute de convexité globale, on ne peut évidemment affirmer que c'est l'optimum global. Mentionnons qu'étant donné  $(\mathbf{x}^*)$  minimum local de (°), on élargit la sphère  $\mathbf{v}^0$ , centrée en  $\mathbf{x}^*$ , des  $\mathbf{v}^0$  pour lequiels, l'algorithme convenge vera  $\mathbf{x}^*$ , en réduisant le coefficient de convexification  $\alpha$ ; on ambliore en même temps la vitense de convergence (cf. COHEN [14]), mais, avec cette diminution de  $\alpha$ , on riaque de perdre la convexité. Dans la pratique, il convient donc de démarrer l'algorithme assez près d'un optimum local, afin de s'autoriser des  $\alpha$  so choisir ce paramètre trop grand, en vue d'une convergence rapide.

L'algorithme consiste à :

a. 
$$(\lambda^0)^k = (\lambda^0)^0$$
 pour k=0

$$(\lambda^*)^{k-1}$$
 pour  $k > 0$ .

b. Minimiser 
$$J_{\underline{i}}(x_{\underline{i}}) + (\lambda^1)^k p_{\underline{i}} x_{\underline{i}} + \frac{1}{2} \alpha (x_{\underline{i}} - v_{\underline{i}}^k)^2$$
 i  $\in$  I

1 optimum est 
$$(x_i^1)^k$$

c. 
$$(\lambda^{1+1})^k = (\lambda^1) + \rho(\sum_{i \in I} P_i \cdot (x_i^1)^k = D)$$

d. si il n'y a pas convergence 1 = 1 + 1 et retourner à b. sinon convergence vers (x\*)<sup>k</sup> et (\lambda\*)<sup>k</sup> aller en 3°.

$$3^{\circ}) v^{k+1} = (x^{*})^{k}$$

1.4. b. Résultats expérimentaux.

 $4^{\text{O}})$  si il n'y a pas convergence  $\,k$  = k+1  $\,$  et retourner  $\,$  à 2  $^{\text{O}}$  .

Comme les rendements varient peu d'un point de fonctionnement à un autre, on peut penser disposer d'un  $(v^0)$  et d'un  $(\lambda^0)^0$  satisfaisants en les choisissant égaux respectivement à

 $v^0=\tilde{\pi}^* \quad \text{solution du problème de répartition optimale avec des rendements constants (rendements moyens),}$   $\lambda^0=-\frac{J_1^*(\tilde{\pi}_2^*)}{F_r} \quad \text{i } \quad \text{fant 1'indice du groupe se chaudières ne}$ 

λ<sup>0</sup> = - \frac{1}{p\_1} i \text{ fant l'indice du groupe 3e chaudières ne fonctionnant pas en butée lorsqu'on effectue cette répartition à rendements constants. Or, dans la majorité des cas, on constante que :

$$\forall \mathbf{j} \neq \mathbf{i} \quad (\mathbf{J}_{\mathbf{j}}^{\bullet}(\mathbf{X}_{\mathbf{j}}^{\bullet}) + \lambda^{O}\mathbf{P}_{\mathbf{j}})(\mathbf{x}_{\mathbf{j}} - \mathbf{X}_{\mathbf{j}}^{\bullet}) > 0 \qquad \forall \mathbf{x}_{\mathbf{j}} \in [\underline{\mathbf{x}}, \overline{\mathbf{x}}]$$

 $\textbf{c'est à dire} \ \, \textbf{J}_{\underline{j}}^{\underline{\textbf{t}}}(\underline{\textbf{x}}) \, + \lambda^{0} \textbf{P}_{\underline{j}} > 0 \quad \text{ pour les } \ \, \underline{\textbf{j}} \ \, \text{ tels que } \, \, \boldsymbol{\mathfrak{T}}_{\underline{j}}^{\mu} = \underline{\textbf{x}}$ 

$$J_{\hat{\mathbf{j}}}^{\bullet}(\overline{\mathbf{x}}) \, + \, \lambda^{0} P_{\hat{\mathbf{j}}} \, \leqslant \, 0 \quad \text{ pour les } \quad \mathbf{j} \quad \text{tels que } \, \mathfrak{T}_{\hat{\mathbf{j}}}^{\bullet} = \overline{\mathbf{x}}$$

Ceci s'explique par le non recouvrement des intervalles de variation des  $\frac{J_1^*(x)}{p_1}$ 

Soit 
$$\mathcal{B} = \{x/x_1 \in [\underline{x}, \overline{x}] \quad \forall i \in I \text{ et } \sum_{i \in T} P_i x_i = D\}$$

Partant de  $x^k$  (  $\mathcal{B}$ , la méthode gradient conduit au point  $z^k = x^k - \rho \nabla J(x^k)$  qu'il s'agit de projeter sur  $\mathcal{B}$ :  $x^{k+1} = \text{Projection}_{\mathcal{B}} z^k$ .

on est ramené à résoudre

$$\min_{x \in \mathbb{R}^n} \frac{1}{2} \|x - x^k\|^2$$
.

Le lagrangien associé à ce problème convexe s'écrit :

et, à l'optimum, les conditions nécessaires (et suffisantes) sont :

$$\label{eq:controller} \left\{ \begin{array}{l} \mathbf{x}_{\underline{1}}^{k+1} - \mathbf{z}_{\underline{1}}^{k} + \sigma^* \mathbb{P}_{\underline{1}} + \tau_{\underline{1}}^* - \pi_{\underline{1}}^* = 0 \\ \\ \tau_{\underline{1}}^* (\mathbf{x}_{\underline{1}}^{k+1} - \mathbf{x}) = 0 & \tau_{\underline{1}}^* > 0, \\ \\ \pi_{\underline{1}}^* (\mathbf{x}_{\underline{-}} \mathbf{x}_{\underline{1}}^{k+1}) = 0 & \pi_{\underline{1}}^* > 0, \\ \\ \sum_{\underline{1} \in \mathbf{1}} \mathbb{P}_{\underline{1}} \tilde{\mathbf{x}}_{\underline{1}}^{k+1} = \mathbb{D} \end{array} \right.$$

$$\begin{aligned} &\{i\in I/x_1^{K+1}=\overline{x}\}=\{i\in I/x_1^{K}=0\}=\{i\in I/\overline{x}<\underline{x}_1^{K}=\sigma^{ep}\underline{i}\}\\ &\{i\in I/x_1^{K+1}=\underline{x}\}=\{i\in I/x_1^{K}=0\}=\{i\in I/\underline{x}>\underline{x}_1^{K}=\sigma^{ep}\underline{i}\}\end{aligned}$$

$$\underbrace{1 \in I / \mathbb{X}_{\epsilon}^{k+1} \in ]\underline{\mathbf{x}}, \overline{\mathbf{x}}[]}_{1} = \underbrace{\{i \in I / \mathbb{X}_{\epsilon}^{n} = \mathbf{t}_{\epsilon}^{n} = 0\}}_{1} = \underbrace{\{i \in I / \mathbb{X}_{\epsilon}^{k+1} = \underline{\mathbf{x}}_{\epsilon}^{k} - \sigma^{*}P_{\epsilon}\}}_{1}$$

Une façon de calculer  $x^{k+1}$  consiste donc à chercher  $\sigma^*$  pour lequel

$$\sum_{i \in T} P_i \cdot \max (\underline{x}, \min (\overline{x}, z_i^k - \sigma^*P_i)) = D.$$
 (30)

cette recherche peut être menée par dichotomie à l'intérieur d'un segment

$$\begin{bmatrix} \sigma_1, \sigma_2 \end{bmatrix}. \qquad \qquad \sigma_1 \quad \text{tel que} \quad \sum_{\mathbf{i} \in \Gamma} \mathbb{P}_{\mathbf{i}}. \quad \max(\mathbf{x}, \min(\mathbf{x}, \mathbf{z}_{\mathbf{i}}^k - \sigma_1^{\mathbf{p}}_{\mathbf{i}})) > \mathbb{D}.$$
 
$$\sigma_2 \quad \text{tel que} \quad \sum_{\mathbf{i} \in \Gamma} \mathbb{P}_{\mathbf{i}}. \quad \max(\mathbf{x}, \min(\mathbf{x}, \mathbf{z}_{\mathbf{i}}^k - \sigma_2^{\mathbf{p}}_{\mathbf{i}})) < \mathbb{D}.$$

par exemple : 
$$\sigma_1 = \inf_{i \in I} \frac{(z_i^k - \overline{x})}{P_i}$$

$$\sigma_2 = \inf_{i \in I} \frac{(z_i^k - \underline{x})}{p_i}$$
 Sur la mêma exemple : demode homoine 335 tenne

Sur le même exemple : demande horaire 335 tonnes - configuration (1,1,1) on converge vers le même optimum local  $\begin{cases} x_1^* = 0.543 & \text{an bout de} \\ x_2^* = 0.996 \\ x_3^* = 1 \end{cases}$ 

5 pas de gradient, c'acun nécessitant moins d'une digaine d'itérations dichotomiques en σ (soit un temps alcul approximatif de 2s).

Cette méthode, finalement paraît moins lourde qu'une méthode duale lorsque l'introduction d'un coefficient de convexification est nécessaire.

### 2. Turboalternateurs.

Le critère à maximiser est, ici, la quantité d'électricité produite lorsqu'on turbine la demande D horaire en vapeur 6 bars, la quantité optimale est notée  $\overline{\mathbb{Q}}(\mathtt{C},\mathtt{D})$ .

#### Pormulation.

Le problème s'énonce :

$$\begin{array}{ccc} \text{maximiser} & \sum\limits_{(x_{\underline{i}})_{\underline{i}\in I}} \mathbb{F}_{\underline{i}} x_{\underline{i}} & \text{sous} & \sum\limits_{\underline{i}\in I} \mathbb{F}_{\underline{i}} (x_{\underline{i}}) = \mathbb{D} \end{array}$$

où I = ensemble des indices des turboalternateurs en fonctionnement.

P, = puissance nominale du turboalternateur i exprimée en MW.

x<sub>i</sub> = est le régime auquel on règle le turboalternate r dans la plage [x<sub>i</sub>x].

 $S_{\underline{1}}(x_{\underline{1}})$  est la quantité horaire de vapeur 6 bars turbinée, de la forme  $S_{\underline{1}}(x_{\underline{1}}) = a_{\underline{1}}x_{\underline{1}} + b_{\underline{1}}$  (cf. chapitre II § 3.2). soit encore :

### 2.2. Résolution

Critère et contrainte sont linéaires, et, le lemme énoncé à propos des chaudières à rendement constant se transpose dans ce contexte comme suit : <u>Lemme</u>: Supposons les turboalternateurs rangés par ordre des  $\mathbb{R}_1 = \frac{\mathbb{P}_1}{a}$ ,

croissant (ces termes sont tous différents) et que  $\sum\limits_{i \in I} 3_i(\underline{x} \neq D)$  et  $\sum\limits_{i \in I} 3_i(\underline{x}) \neq D$ , en produit le maximum d'électricité en les mettant successivement  $\frac{1}{6}$  Englies maximal tant que la quantité de vapeur restant à turbiner reste supérieure à la somme des capacités minimales de turbinage des turboalternateurs non encore réglés. Le turboalternateurs, pour lequel cette condition n'est plus réalisée, est réglé à régime intermédiaire et les suivants à régime minimal.

L'algorithme de résolution, très similaire à celui des chaudières avec rendements constants, est basé sur ce lemme et, on se reportera à l'annexe IV pour plus de détails.

Nous ne signalerons ici que sa rapidité d'éxécution : environ 50 ms sur un petit calculateur T1600.

### 3. Double utilisation de l'optimisation statique.

L'optimisation statique est utilisée à deux niveaux

3.1. En temps réel, pour indiquer les points de consigne optimaux.
On peut faire tourner les programmes d'optimisation statique -œlui avec rendements paraboliques pour les chaudibres- sussi souvent que souhaité, en principe, chaque fois que, par suite d'une variation de la demande 60 bars ou 6 bars, les réglages en vigueur ne sont plus les meilleurs.

On a care, les regimes en viguer ne sont plus les meilleurs. 3.2. Dans l'optimisation dynamique (cf. Chapitre V § 4.2) pour évaluer le coût optimal journalier associé à une configuration  $C_1$  des chaudibres et un niveau de desande constant en vapeur 60 bars  $D_1$ , ainsi que la plus forte quantité d'électricité journalière produite dans une configuration  $C_2$  des turboalternateurs pour une demande constante  $D_2$  en vapeur 6 bars. Ces deux grandeurs sont notées respectivement  $C(C_1,D_1)$  et  $Q(C_2,D_2)$  et elles sont reliées aux grandeurs boraires cur :

$$G(C_1,D_1)=24.\overline{G}$$
  $(C_1,\frac{D_1}{24})$  (calculé avec rendements constants).  
 $G(C_2,D_2)=24.\overline{G}$   $(C_2,\frac{D_2}{24})$ 

Elles ne reflètent que grossièrement la situation réelle, où  $C_1(i=1,2)$  doit répondre à une demande fluctuante autour d'an niveau moyen journalier  $D_1(i=1,2)$ . On pourrait enytisager un modèle plus fin de la demande journalibre nous la forme  $\vec{D}_1 = D_1 + \sum_{i=1}^{N} d_i^2$  (i.4,2)

 $d_{\underline{1}}^{\frac{1}{2}} \text{ variables aléatoires indépendantes de même loi } d_{\underline{1}} \text{ où } d_{\underline{1}} \text{ prend un nombre fini de valeurs } v_{\underline{1}}^{\frac{1}{2}} \cdots v_{\underline{L}_{\underline{1}}}^{\frac{1}{2}} \text{ avec les probabilités respectives } v_{\underline{1}}^{\frac{1}{2}} \cdots v_{\underline{L}_{\underline{1}}}^{\frac{1}{2}}$ 

$$\begin{array}{ll} \boldsymbol{p}_{k}^{\underline{1}} &= \operatorname{probabilit\acute{e}} & (\boldsymbol{d}_{\underline{1}} = \boldsymbol{v}_{k}^{\underline{1}}) \\ \boldsymbol{L}_{\underline{1}} & \boldsymbol{p}_{k}^{\underline{1}} &= \boldsymbol{1}. \end{array}$$

 $\begin{array}{ccc} & & & & \\ \overline{k}=1 & & & & \\ & & & \\ & & & \\ & & & \\ & & & \\ & & & \\ & & & \\ & & \\ & & \\ & & \\ & & \\ & & \\ & & \\ & & \\ & & \\ & & \\ & & \\ & \\ & & \\ & \\ & & \\ &$ 

A chaque configuration  $C_1$  (respectivement  $C_2$ ) correspond alors 1 empirance du coût optimal de production de  $\bar{D}_1$  notée  $\bar{G}(C_1,\bar{D}_1)$  (respectivement 1 empirance de la quantité maximule d'électricité notée  $\bar{G}(C_2,\bar{D}_2)$ . Raisonnons sur  $\bar{G}: \bar{G}(C_1,\bar{D}_1) = \mathbb{E}[\frac{\bar{G}}{2d}, \bar{G}(C_1,\frac{\bar{D}}{2d}+d_1^2)] = 24.\mathbb{E}[\bar{G}(C_1,\frac{\bar{D}}{2d}+d_1^2)]$ . Appelons  $X_1$  la production horaire de la chaudère (ou du groupe)  $\bar{G}(C_1)$  qui ne fonctionne pas en butée. Il est évident que, tant que les  $v_k^1$  restent dans la plage  $[-X_1, \bar{Y}_{\bar{G}(C_1)}, \bar{Y}_{\bar{G}(C_1)}, \bar{Y}_{\bar{G}(C_1)}]$ , c'est la chaudère  $\bar{G}(C_1)$  qui reprendra la variation  $v_k^1$  et donc le coût optimal dans cette plage est fonction linéaire de la deamnde. Alors :

$$\mathbb{E}(\overline{\mathbb{G}}(\mathbb{C}_1^1, \frac{\mathbb{D}_1^1}{24} + \mathbb{d}_1^1)) = \overline{\mathbb{G}}(\mathbb{C}_1^1, \frac{\mathbb{D}_1^1}{24} + \mathbb{E}\mathbb{d}_1^1) = \overline{\mathbb{G}}(\mathbb{C}_1^1, \frac{\mathbb{D}_1^1}{24})$$

la prise en compte de telles fluctuations n'apporte donc sucune précision supplémentaire.

## CHAPITRE V - OPTIMISATION DYNAMIQUE

Maintemant que tous les diéments sont réunis, nous allors formuler mathématiquement, en temps discret, notre problème de commande impulsionnelle sur un horizon de T fours.

#### 1. Rappel des hypothèses.

(H<sub>1</sub>) se traduit par 
$$\mathbf{e}_{\underline{i}}(t) \in \{0,1\}$$
 Yi = 1,...,9  
avec  $\mathbf{e}_{\underline{i}}(t) = 0$  si arrêt le jour t.  
 $\mathbf{e}_{\underline{i}}(t) = 1$  si marche le jour t-

En fait comme parmi les cinq chaudières, on ne recense que trois types différents (deux chaudières d'un type 1, deux d'un type 2 et une d'un type 3) et qu'il est inutile de distinguer deux chaudières d'un même type l'une de l'autre, il suffit de décrire C(t), état de la centrale le jour t par 7 composantes:

. 3 pour l'état C  $_i(t)$  des chaudières,  $e_i(t)$  = nombre de chaudières du type i allumées le jour t ;  $e_i(t)$   $\in [0,1,2]$  pour i=1,2 ;

. 4 pour l'état  $C_{5}(t)$  des turboalternateurs  $e_{i}(t) \in \{0,1\}$  pour i=4,5,6,7.

Si on exclut pour les chaudières et pour les turboalternateurs, l'état "0" -tout éteint- l'espace C des états de la certrale - désigné souvent dans la suite sous le terme "espace des configurations" - et qui est le produit  $C_1 \times C_2$  des espaces des états chaudières et des états turboalternateurs - a NG-NG,  $NG_2$ - $(3^2, 2-1)$ .  $(2^4-1)$  Soit NG = 255 éléments.

- $({\rm H}_2)$  les chaudières des types 1 et 2 sont alimentées au fuel, celle du type 3 au gaz.
- $({\rm H_2})$ - $({\rm H_6})$  Les demandes D<sub>1</sub>(t) et D<sub>2</sub>(t) en vapeur 60 bars et 6 bars respectivement sont des processus stochastiques indépendants modélisés par :

$$D_{i}(t) = DP_{i}(t) - A_{i}(t)$$
 i = 1,2

où  $\mathrm{DF}_{\underline{i}}(t)$  est la prévision pour le jour t et  $\mathbb{A}_{\underline{i}}(t)$  est une chaîne de Markov stationnaire, à  $\mathrm{NA}_{\underline{i}}$  états et de matrice de transition

$$M_{\underline{i}} = (p_{\underline{1}m}^{\underline{i}}) 1=1,...,NA_{\underline{i}}$$
  
 $m=1,...,NA,$ 

II on résulte que l'état du système dynamique le jour t=B(t)= est résumé par, d'une part C(t), d'autre part  $A_1(t)=$  et  $A_2(t)$   $(A_1(t-1),\dots,A_1(t-r_1+1),$   $A_2(t-1),\dots,A_2(t-r_2+1),$  si on avait retenu des processus stochamtiques

d'ordres respectifs r, et r2).

La dimension de l'espace des états est donc :

$$NA_1^{r_1} \times NA_2^{r_2} \times NC = 11 \times 7 \times 255 = 19635$$

Remarquons qu'avec un ordre  $r_1 = 2$  pour la vapeur 60 bars, ce nombre devient :

#### 2. Formulation Mathématique.

Soit  $E(t) = (c_1(t), c_2(t), i_1(t), i_2(t))$  l'état du système dynamique le jour t, que l'on observe parfaitement  $-i_k(t)$  (k=1,2) est l'intervalle de discrétisation associé à  $k_k(t)$ . On doit déciser de la nouvelle configuration pour le jour suivant

$$\begin{split} \mathtt{C}(\mathtt{t+1}) &= (\mathtt{C}_{1}(\mathtt{t+1}), \mathtt{C}_{2}(\mathtt{t+1})), \quad \mathtt{dt} \ \mathtt{donc} \ \mathtt{de} \ \Delta\mathtt{C}(\mathtt{t}) = (\Delta\mathtt{C}_{1}(\mathtt{t}), \Delta\mathtt{C}_{2}(\mathtt{t})) : \\ \mathtt{C}_{1}(\mathtt{t+1}) &= \mathtt{C}_{1}(\mathtt{t}) + \Delta\mathtt{C}_{1}(\mathtt{t}) \qquad (\mathtt{i} \bowtie 1, 2) \end{split} \tag{31}$$

connationant mealessant less distributions de probabilité conditionnelle de  $A_1(t)$  et  $A_2(t)$ , et par suite de  $D_1(t)$  et  $D_2(t)$ , e'est à dire les probabilités  $P_{31_1}^1 \not\in \mathbb{N}$  (respectivement  $P_{31_2}^2 \not\in \mathbb{N}$  ( $J_{21_1},\dots,NA_2 \not\in \mathbb{N}$ ) que la demande en vapeur 60 bars (respectivement 6 bars) prenne le jour L+1 les valeurs  $D_1^2(t+1) = DP_1(t+1) = A_1^3$  (respectivement  $D_2^3(t+1) = DP_2(t+1) - A_2^3$ ) of  $A_2^3(\mathbb{N}^2 \cap \mathbb{N}^2)$  est la valeur discrète de l'aléa pour la classe  $J_1$ . Les réalisations des  $A_2(t+1)$  ( $\mathbb{N}^4 \cap \mathbb{N}^2$ ) étant postérieures à cette décision, c'est

le point de vue "décision-hasard" que nous adoptons ici. Ceci reste cohérent

avec la présence des délais de mise en fonctionnement, même si nous négligeons les retards dans la formulation.

Le critère à minimiser est l'espérance de la somme sur T jours :

- des coûts de démarrage f(AC(t)) = f(C(t+1) C(t)).
- des coîts  $g(C_1(t),D_1(t))$  encourus pour satisfaire la demande  $D_1(t)$  en vapeur 60 bars.
- des coûts de l'électricité achetée à E D F, au prix unitaire  $(p_e)$ , du fait que l'autoproduction  $q(G_2(t), B_2(t))$  est insuffisante pour couvrir les besoins (BB)(t):

$$(p_0).((DE)(t) = q(C_2(t),D_2(t)).$$

Les termes  $p_{\mathbf{e}^*}(\mathtt{DE})(t)$  font figure de constantes dans le critère, qui se réderit donc :  $\min_{\mathbf{E}} \ \ \sum_{t=1}^{T} f(\mathtt{ac}(\mathtt{t}))\} + \mathtt{E}[\sum_{t=1}^{T} g(\mathtt{c}_1(\mathtt{t}),\mathtt{p}_1(\mathtt{t})) - (\mathtt{p}_{\mathbf{e}}),\mathtt{q}(\mathtt{c}_2(\mathtt{t}),\mathtt{p}_2(\mathtt{t}))]$ 

partant de 
$$E(0)=(c_1(0),c_2(0),i_1(0),i_2(0))$$
 (33)

Remarque: Far abus de notation, nous continuous à écrire  $\Delta C(t)$ , même lorsque ces commandes sont définies en bouele fermée sur les aléas  $i(t)\Delta C(t)\Delta O(i(t),t)$ . Mais dans ce cas, elles devienment stochmatiques, et le symbole "espérance" doit être maintenu devant la partie correspondant aux coûts de démarrage.

Four une politique de décisions  $(\Delta C(t) = (\Delta C_1(t), \Delta C_2(t)))_{t=1}, \dots, \tau$  le second terme du critère s'explicite compte-tenu de l'indépendance de  $D_1(t)$  et  $D_2(t)$ , à l'aide des probabilités de transition  $(\rho_{1,j}^2)$  et  $(\rho_{1,j}^2)$  de  $\Lambda_1(t)$  et  $\Lambda_2(t)$  respectivement, par la formule récurrente de composition des expérances

$$\begin{split} \mathbf{t} = &0, \dots, \mathbb{T} - 1 & \qquad \mathbf{E}_{\left(\mathbf{t}_{1}\left(\mathbf{t}\right), \mathbf{i}_{2}\left(\mathbf{t}\right)\right)} \prod_{k = t + 1}^{T} \mathbf{g}(\sigma_{1}(k), D_{1}(k)) - (\mathbf{p}_{\mathbf{e}}), \mathbf{q}(c_{2}(k), D_{2}(k)) \\ &= \mathbf{E}_{\mathbf{i}_{1}\left(\mathbf{t}\right)} \prod_{k = t + 1}^{T} \mathbf{g}(\sigma_{1}(k), D_{1}(k)) - \mathbf{E}_{\mathbf{i}_{2}\left(\mathbf{t}\right)} \prod_{k = t + 1}^{T} (\mathbf{p}_{\mathbf{e}}), \mathbf{q}(c_{2}(k), D, (k)) \end{aligned}$$

$$\begin{split} & = \sum_{j=1}^{NA_1} p_{3i_1(\pm)}^{\dagger} [\varrho(c_1(\pm i + j), p_3^{\dagger}(\pm i + j)) + B_3 \sum_{k=\pm 2}^{\infty} \varrho(c_1(k), p_1(k))] \\ & = \sum_{j=1}^{NA_2} p_{3i_2(\pm i)}^2 [(p_e), q(c_2(\pm i + j), p_2^{\dagger}(\pm i + j)) + B_3 \sum_{k=\pm 2}^{\infty} (p_e), q(c_2(k), p_2(k))] \end{split}$$

où  $\mathbf{E}_j$  note l'espérance conditionnelle à la classe j de l'aléa. Par ailleurs,  $\mathbf{D}_1(t)$  et  $\mathbf{D}_2(t)$  étant supposées indépendantes, les lois de commande, si ellessont en boucle fermée sont de la forse

$$\begin{split} & \Delta C(\mathtt{i}(\mathtt{t}),\mathtt{t}) = (\Delta C_1(\mathtt{i}_1(\mathtt{t}),\mathtt{t}),\Delta C_2(\mathtt{i}_2(\mathtt{t}),\mathtt{t})) \\ & \mathrm{d}^\bullet \mathtt{o} \mathtt{i} \quad \mathbb{E}_{(\mathtt{i}_1(\mathtt{t}),\mathtt{i}_2(\mathtt{t}))} \Gamma(\Delta C(\mathtt{t})) = \mathbb{E}_{\mathtt{i}_1(\mathtt{t})} \Gamma_1(\Delta C_1(\mathtt{t})) + \mathbb{E}_{\mathtt{i}_2(\mathtt{t})} \Gamma_2(\Delta C_2(\mathtt{t})) \\ & = \Gamma_1(\Delta C_1(\mathtt{i}_1(\mathtt{t}),\mathtt{t})) + \Gamma_2(\Delta C_2(\mathtt{i}_2(\mathtt{t}),\mathtt{t})) \end{split}$$

où  $\mathbf{f}_1$  et  $\mathbf{f}_2$  caractérisent les coûts de démarrage des chaudières et des turboalternateurs respectivement.

Parvenus à ce stade, du fait que l'optimination de la gestion des turboallerrateurs se pose dans des termes analogues à celle de la gestion des chaudières et que le critère mesurant l'efficacité de la conduite de la centrale se scinde en deux parties relatives respectivement aux turboalternateurs et aux chaudières, la dernière question à débatire touche à la dépendance de ces deux sous-systèmes.

## Couplage des sous-systèmes chaudières et turboalternateurs.

L'hypothèse  $(\mathbb{H}_4)$ , en supprimant le couplage statistique entre  $\mathbb{A}_1(t)$  et  $\mathbb{A}_2(t)$  a permis de séparer l'espérance conditionnelle  $\mathbb{E}_{(1_1(t),i_2(t))}$  en deux espérances spécifiques à chacun des sous-systèmes; en réalité, on perd un peu d'information sur  $\mathbb{D}_1(t)$ , en ne tenant compte que de  $\mathbb{D}_1(t-1)$  et non aussi de  $\mathbb{D}_2(t-1)$ . De toute manière, d'autres facteurs de couplage entre les chaudibreset les turboulternateurs subsistent, comme, par exemple, les coûts de démarrage des turboulternateurs (cf. chapitre II § 5.4 a.); exprimés en tonnes de vapeur 60 bars connomnées, on ne les convertirs "financibrement" dans  $\mathbb{F}_2(\cdot)$  qu'à condition de connaître le prix marginal, aléatoire, de la tonne de vapeur 60 bars produite, dons d'avoir déjà solutionné la gestion des chaudibree. Nais, vice-versa, ectains éléments affectant le fonctionnement

des turboalternateurs — démarrages entre autres-se traduisent, en toute rigueur, par un surplus de vageur 60 bars connommée, incomptée dans l'équivalent 6 bars turbiné et donc imposent de résoudre avant le problème turboalternateurs. Toutefois se contenter d'un prix moyen de la vapeur 60 bars produite pour évaluer  $f_{ij}(\cdot)$ , et négliger ces consommations annexes en vapeur 60 bars faibles (quelques dinaines de tonnes!) ne paraît pas porter à lourde connéquence pour l'optimisation de la conduite de la centrale. Par contre, avec cette heirinique, les deux nous-systèmes chaudières et turboalternateurs deviennent découplés et on peut en optimiser séparément la gestion c'est à dire résoure :

pour les chaudières :

minimiser 
$$E \underset{t=1}{\overset{T}{\sum}} f_1(\Delta C_1(t)) + E \underset{t=1}{\overset{T}{\sum}} g(C_1(t),D_1(t))$$

partant de  $(C_1(0),i_1(0))$  (34)

pour les turboalternateurs :

minimiser 
$$E = \frac{T}{t-1} f_2(\Delta C_2(t)) - E = \frac{T}{t-1} (p_e) \cdot q(C_2(t), D_2(t))$$
partant de  $(C_2(0), L_2(0))$ 

#### Résolution.

# 4.1. Méthode de résolution.

L'espace des états du système dynamique chasdières-demande vapeur 60 bars (respectivement turboaiternateurs-demande vapeur 6 bars) syant une taille raisonnable - (3<sup>2</sup>×2-1)v1+81 (respectivement (2<sup>4</sup>-1)v3-405) - la programmation dynamique, appliquée su contrôle des chaînes de Markov, se révèle être une technique appropriée pour résoudre notre problème (cf. EDWARD [23]). En contexte aléstoire, le principe d'optimalité de Bellman est contexte aléstoire, le principe d'optimalité de

Si  $V_{1}(E_{1}(t),t)$  (resp.  $V_{2}(E_{2}(t),t)$ ) désigne l'espérance du coît optimal de gestion des chaudières (resp. des surbos lermateurs) pour les jours  $t+1,\ldots,T$  partant de l'état  $E_{1}(t)=(C_{1}(t),i_{1}(t))$  (respectivement  $E_{2}(t)=(C_{2}(t),i_{2}(t))$ ).

$$\begin{array}{l} V_{1}(E_{1}(t),t)=\min_{\Delta G_{1}(t)} \left\{ r_{1}(\Delta G_{1}(t)+E_{\underline{i}_{1}(t)}(\underline{t})[\min(g(C_{1}(t+1),B_{1}(t+1)))) \\ +V_{1}(C_{1}(t+1),i_{1}(t+1),t+1)] \right\} \\ V_{2}(E_{2}(t),t)=\min_{\Delta G_{1}(t)} \left\{ [r_{2}(\Delta C_{2}(t))+E_{\underline{i}_{2}(t)}[\min(-p_{2}^{-q}(C_{2}(t+1),B_{2}(t+1)))) \\ \end{array} \right. \end{array}$$

$$+ V_2(C_2(t+1),i_2(t+1),t+1)]$$
 (3)

Les équations s'écrivent encore, à l'aide des matrices de transitions  $M_1$  et  $M_2$  :

$$V_{1}(E_{1}(t), t) = \min_{\Delta C_{1}(t)} \left[ f_{1}(\Delta C_{1}(t)) + \sum_{j=1}^{NA_{1}} p_{ji_{1}(t)}^{1} \left[ \min(g(C_{1}(t+1), D_{1}^{j}(t+1))) + V(C_{1}(t+1), D_{1}^{j}(t+1)) \right] \right]$$

$$+ V(C_{1}(t+1), c_{1}(t+1))$$

$$+ V(C_{2}(t+1), c_{2}(t+1))$$

$$+ V(C_{2}(t+1), c_{3}(t+1))$$

$$+ V(C_{3}(t+1), c_{3}(t+1))$$

La mise en œuvre de cette méthode repose sur l'évaluation de proche en proche des  $V_1(C_1(t),i_1(t),t)$  (respectivement  $V_2(C_2(t),i_2(t),t)$ ) et corrélativement de la commande optimale  $\Delta C_1^*(i_1(t),t)$  (respectivement  $\Delta C_2^*(C_2(t),t)$ ) pour  $t^{-\beta-1}, T^{-2}, \ldots, 1,0$  et tous les  $\mathbb{R}_1 \in \mathcal{O}_1 \times \{1,\ldots,3k_1\}$  prespectivement  $\mathbb{R}_2 \in \mathcal{O}_2 \times \{1,\ldots,3k_2\}$ ). Reste à détailler comment on prochde numériquement pour calculer  $f_1(\cdot)$  (respectivement  $f_2(\cdot)$ ) et  $g(\cdot,\cdot)$ -min  $g(\cdot,\cdot)$  (respectivement  $f_3(\cdot,\cdot)$  a  $\min(-\{c_1,\cdot\},i_3(\cdot,\cdot)\}$ ).

# 4.2. Calcul de la fonction de Bellman

Chiffrer  $f_1(\Delta C_1)$  (i=1 ou 2) est sisé une fois qu'on dispose des coûts de démarrage  $f_2^j$  pour chaque unité ou type d'unités j:

$$(i=1,2) \qquad f_{\underline{i}}(\Delta C_{\underline{i}}(t)) = \sum_{\underline{j} \in I_{\underline{i}}} \max(0,e_{\underline{j}}(t+1)-e_{\underline{j}}(t)).f_{\underline{i}}^{\underline{j}}$$

$$(40)$$

$$I_* = \{1,2,3\}$$

$$I_2 = \{4,5,6,7\}$$

Par contre, évaluer g et q soulève quelques difficultés de principe.

Du fait de la largeur de la plage  $[\underline{A}_1,\overline{A}_1]$  (i=1,2) des aléas  $A_1$ , il peut arriver qu'une configuration C, ne puisse répondre à coup sûr à toutes les demandes prévisibles pour un jour t, ou, en d'autres termes qu'ayant constaté la veille un aléa j, il existe des probabilités non nulles pi de transition vers des aléas k pour lesquels  $D_i^k(t)$  ne se situe pas à l'intérieur de la plage de production [(CMIN)(C, ), (CMAX)(C, )] de la configuration C, (qui est liée aux contraintes techniques de production des unités en marche). Si  $D_4^k(t)$  est inférieure à (CMIN) $(C_4)$ , il est toujours possible de produire (CMIN)(C,), quitte à mettre l'excédent de vapeur (60 bars ou 6 bars) au toit. Toutefois, pour les turboalternateurs, cette solution n'est acceptable qu'à condition de disposer d'un surplus  $[(CMIN)(C_2)-D_2^k(t)]$  en vapeur 60 bars à turbiner. Pour ne pas répercuter au sous-système chaudières cet accroissement de demande en vapeur 60 bars, nous convenons de rajouter, dans le sous-problème des turboalternateurs, le coût de production de ce supplément de vapeur 60 bars à fournir évalué avec le prix marginal moyen de production de la tonne de vapeur 60 bars - p. o) -. Remarque 1 : Plutôt que de rejeter l'excédent 60 bars, on pourrait le turbiner en vapeur 6 bars et en électricité. Cette possibilité n'est pas retenue afin de préserver l'indépendance des deux sous-problèmes.

2. Pour le sous-système chaudières, C, est pénalisé au niveau coût de production, du fait de la surproduction. Il est moins immédiat de remédier à la situation : "Dj(t) supérieure à (CMAX)(C,): Une première idée est d'écarter les configurations ayant une capacité maximale de production inférieure à la plus forte demande probable ; alors, à supposer que toute les demandes possibles ne dépassent pas la capacité maximale de production de l'ensemble des chaudières ou des turboalternateurs, la configuration "tout allumé" est toujours candidate et offre une sécurité totale. En fait, il est faux de penser que "la sécurité n'a pas de prix" et il paraît préférable d'introduire des coûts de défaillance qui pénalisent les configurations dont la capacité de production est insuffisante pour répondre à certaines demandes. L'avantage de cette approche est de ne pas restreindre l'ensemble des commandes admissibles le jour t. à un sousensemble de  $C_i$  (qui dépendrait en fait de la réalisation j de  $A_i(t)$ ). Dorénavant toute configuration de C, est "éligible". Mais comment chiffrer les coûts de défaillance ? Pour les turboalternateurs, on peut pallier la carence en vapeur 6 bars turbinée, suite à une insuffisance de la

capacité de production des turboalternateurs en service. en détendant directement la vapeur 60 bars : le coût de défaillance unitaire correspond alors à la différence de prix entre la tonne de 6 bars détendue (63.10 F) et la tonne de 6 bars turbinée (57.036F). Bien entendu, la non récupération, sous forme d'énergie électrique, du travail de détente est un manque à gagner. Pour les chaudières, par contre, on ne peut recourir à une autre source de fourniture pour suppléer la défaillance constatée. Le coût de défaillance doit alors refléter le coût économique de la non fourniture d'une certaine quantité de vapeur 60 bars. Ceci rejoint le problème de délestage que nous n'abordons pas dans le cadre de cette étude : une analyse approfondie des multiples facteurs mis en jeu en cas de défaillance (pertes dûes à des produits non fabriqués, préjudices encourus par certains ateliers suite à un arrêt brutal de matériel ...) s'avère indispensable pour fixer de facon réaliste ce coût de défaillance. Comme cette évaluation n'est pas actuellement terminée, nous avons pris, dans l'immédiat, comme coût de défaillance une valeur artificiellement élevée, de sorte que les configurations, dont le choix entraînerait un risque non négligeable de défaillance, soient systématiquement rejetées. A ce propos, remarquons que pour préférer des configurations évitant toute défaillance, mais plus coûteuses sur le plan production, à des configurations avant un risque très faible & de conduire à une défaillance, il faut attribuer à la défaillance un prix unitaire dont l'ordre de grandeur est comparable à  $\frac{1}{c}$  fois celui de la vapeur produite.

En résumé, nous définissons donc une fonction de pénalisation  $h_i(i=1,2)$ 

$$h_{\underline{i}}(x) = 0$$
 si  $x \le 0$   
 $h_{\underline{i}}(x) > 0$  si  $x \le 0$ 

h<sub>a</sub>(x) = (63,10-57,036) x

au stade actuel de notre étude h, (x)=(p,).x où p, = prix unitaire de défaillance. (elle sera à remplacer ultérieurement par une fonction plus objective : constante par morceaux ... ).

Reprenons les notations utilisées au chapitre IV :

 $C(C_1,D_1) = Coût$  optimal pour produire la quantité  $D_1$  de vapeur 60 bars dans la configuration C, (D, E[(CMIN)(C,),(CMAX)(C,)]).

 $\mathbb{Q} \left( \mathbb{Q}_2, \mathbb{D}_2 \right) = \text{quantité maximale d'électricité produite lorsque les } \\ \text{turboalternateurs de la configuration } \mathbb{Q}_2 \text{ turbinent } \mathbb{D}_2. \\ \mathbb{Q}_2 \in \left[ (\text{CMIN})(\mathbb{Q}_2), (\text{CMAX})(\mathbb{Q}_2) \right], \text{ ces deux valeurs résultants de "l'optimisation statione". }$ 

Alocs :

$$g(C_1,D_1)=G(C_1,\min(\max(D_1,(CMIN)(C_1)),(CMAX)(C_1)) + h_1(D_1-(CMAX)(C_1))$$
 (41)

$$\P(\mathbf{c}_{2}, \mathbf{D}_{2}) = -\langle \mathbf{p}_{\mathbf{e}} \rangle \cdot \mathbb{Q}(\mathbf{c}_{2}, \min(\max(\mathbf{D}_{2}, (\mathbf{CMIN})(\mathbf{c}_{2})), (\mathbf{CMAX})(\mathbf{c}_{2}))) + h_{2}(\mathbf{D}_{2} - (\mathbf{CMAX})(\mathbf{c}_{2}))$$
(42)

Remarque: pour que  $g(c_1, D_1^3(t))$  (respectivement  $g(c_2, D_2^3(t))$ ) soit représentatif du soit optimal associé à un niveau de demande  $\mathbb{D}_1^n(t) - A_2(t)$  avec  $A_1(t)$  (respectivement  $A_2(t)$ ) queloonque dans le  $A_2(t)$  avec  $A_1(t)$  (respectivement  $A_2(t)$ ) queloonque dans le  $A_2(t)$  intervalle de discrétisation, nous ne l'évaluons pas en prenant la valeur

3- intervalle de discretisation, nous ne l'évaluons pas en prenant la valeu médiane  $M_{\gamma}^{J}$  (respectivement  $\Delta M_{\gamma}^{J}$ ) de cet intervalle et par suite la demande moyenne  $\mathrm{DP}_{\gamma}(t)$ - $\Delta M_{\gamma}^{J}$  (respectivement  $\mathrm{DP}_{\gamma}(t)$ - $\Delta M_{\gamma}^{J}$ ), mais à l'aide de la formule :

$$\mathbf{g}(\mathbf{c}_{1},\mathbf{D}_{1}^{\mathbf{j}}(\mathbf{t})) = \frac{1}{2} \left[ \mathbf{g}(\mathbf{c}_{1},\underline{\mathbf{D}}_{1}^{\mathbf{j}}(\mathbf{t})) + \mathbf{g}(\mathbf{c}_{1},\overline{\mathbf{D}}_{1}^{\mathbf{j}}(\mathbf{t})) \right]$$

$$\begin{array}{ll} \left( \text{respectivement} & \vec{q} \left( \textbf{C}_2, \textbf{D}_2^{\hat{\textbf{J}}}(\textbf{t}) \right) = \frac{1}{2} \left[ \vec{q} \left( \textbf{C}_2, \underline{\textbf{D}}_2^{\hat{\textbf{J}}}(\textbf{t}) \right) + \vec{q} \left( \textbf{C}_2, \overline{\textbf{D}}_2^{\hat{\textbf{J}}}(\textbf{t}) \right) \right] \right) \end{array}$$

 $\underline{\underline{D}}^{j}(t)$  (respectivement  $\underline{\underline{D}}^{j}_{2}(t)$ ) et  $\overline{\underline{D}}^{j}_{1}(t)$  (respectivement  $\overline{\underline{D}}^{j}_{2}(t)$ ) étant les demandes respectivement minimale et maximale pour un aléa appartenant à la classe j.

## 4.3. Commentaires sur la méthode.

4.3.a. Avec cette procédure de résolution, on obtient une "stratégie" de déclaions o'est à dire une solution en boucle l'ermée  $(\Omega_{k}^{\sigma}(\underline{B}_{k}))(1)$  pour tout  $\underline{B}_{k}$  ( $\underline{C}_{k}$  \( \dagger \), \( \dagger \)

4.3.b. Son inconvénient majeur est l'augmentation du volume des calculs avec la taille du problème : pour chaque sous-problème (i-1,2), chaque jour, dans chaque état de  $C_4 \times \{1,\dots,N_k\}$ , on compare entre eux les coîts résultant de l'utilisation de chacune ées configurations de  $C_2$ . Ceci impose, globalement de faire tourner environ T.NC $_1 \cdot (N_k) + (1)$  fois le programme "d'optimisation statique" (à l'exception des cas triviaux  $G(C_1, (CMIN)(C_2, ))$   $(C_2, (CMIN)(C_2, ))$   $(C_3, (CMIN)(C_2, ))$ 

et à calculer T.NC; .NA, coûts.

Cette croissance quadratique en NC; justifie, à postériori, l'intérêt de l'approximation d'indépendance entre les deux sous-systèmes : Par découplage on réduit la taille du problème dans le rapport

$$\frac{\text{NA}_1 \cdot \text{NC}_1^2 + \text{NA}_2 \cdot \text{NC}_2^2}{\text{NA}_1 \cdot \text{NA}_2 \cdot \text{(NC)}^2} = \frac{3179 + 1575}{5006925} \stackrel{\sim}{=} \frac{1}{1050} !$$

5. Choix de la profondeur de l'horizon glissant.

Limiter l'horison à un nombre T de jours, c'est implicitement supposer que la prise en compte d'une information, même agrégée, pour les jours T+1, T+2, ... ne modifie pas la décision &C\*(O), voire les stratégies pour les deux jours suivants (les seules mises en œuvre).

Etablissons un lemme qui nous renseigne sur la modulation de la fonction de Bellman  $V_{\underline{i}}(E_{\underline{i}},t)$ , pour un même jour t, un même aléa, selon la configuration  $c_{\underline{i}}$  de  $C_{\underline{i}}$  (i=1 ou 2).

<u>Lemme</u> : dans  $\tilde{C}_i = C_i + \{0\}$  (0 = "tout éteint").

 $C_{\underline{i}}^{\bullet}\supset C_{\underline{i}} \Leftrightarrow \text{on passe de } C_{\underline{i}} \text{ à } C_{\underline{i}}^{\bullet} \text{ en allumant au moins un nouveau générateur : } C_{\underline{i}}^{\bullet}=C_{\underline{i}} + \Delta C_{\underline{i}} \text{ et } f_{\underline{i}} (\Delta C_{\underline{i}}) > 0.$ 

1)  $\geq$  est une relation d'ordre partiel et  $\tilde{C}_{\underline{i}}$  ainsi ordonné est un treillis complet qui a pour plus grand élément la configuration  $\overline{C}_{\underline{i}}$  "tout allumé" et pour plus petit élément 0 (cf. figures 1-2).

2) 
$$\forall C_{i}, C_{i}^{n} \in \tilde{C}_{i}$$
  $f_{i}(C_{i}^{n}-C_{i}) < f_{i}(C_{i}^{n}-C_{i}^{n}) + f_{i}(C_{i}^{n}-C_{i})$ 

$$\begin{array}{ll} \mathfrak{I} & \mathfrak{I} & \mathfrak{I} & \mathfrak{I} \\ \mathfrak{I} & \mathfrak{I} & \mathfrak{I} \end{array} \quad \mathfrak{I} & \mathfrak{I} & \mathfrak{I} & \mathfrak{I} \\ \mathfrak{I} & \mathfrak{I} & \mathfrak{I} & \mathfrak{I} & \mathfrak{I} \end{array} \quad \mathfrak{I} = \left\{ \begin{array}{ll} \mathfrak{I} & \mathfrak{I} \\ \mathfrak{I} & \mathfrak{I} \end{array} \right\} \quad \mathfrak{I} = \left\{ \begin{array}{ll} \mathfrak{I} & \mathfrak{I} \\ \mathfrak{I} & \mathfrak{I} \end{array} \right\} \quad \mathfrak{I} = \left\{ \begin{array}{ll} \mathfrak{I} & \mathfrak{I} \\ \mathfrak{I} & \mathfrak{I} \end{array} \right\} \quad \mathfrak{I} = \left\{ \begin{array}{ll} \mathfrak{I} & \mathfrak{I} \\ \mathfrak{I} & \mathfrak{I} \end{array} \right\} \quad \mathfrak{I} = \left\{ \begin{array}{ll} \mathfrak{I} & \mathfrak{I} \\ \mathfrak{I} & \mathfrak{I} \end{array} \right\} \quad \mathfrak{I} = \left\{ \begin{array}{ll} \mathfrak{I} & \mathfrak{I} \\ \mathfrak{I} & \mathfrak{I} \end{array} \right\} \quad \mathfrak{I} = \left\{ \begin{array}{ll} \mathfrak{I} & \mathfrak{I} \\ \mathfrak{I} & \mathfrak{I} \end{array} \right\} \quad \mathfrak{I} = \left\{ \begin{array}{ll} \mathfrak{I} & \mathfrak{I} \\ \mathfrak{I} & \mathfrak{I} \end{array} \right\} \quad \mathfrak{I} = \left\{ \begin{array}{ll} \mathfrak{I} & \mathfrak{I} \\ \mathfrak{I} & \mathfrak{I} \end{array} \right\} \quad \mathfrak{I} = \left\{ \begin{array}{ll} \mathfrak{I} & \mathfrak{I} \\ \mathfrak{I} & \mathfrak{I} \end{array} \right\} \quad \mathfrak{I} = \left\{ \begin{array}{ll} \mathfrak{I} & \mathfrak{I} \\ \mathfrak{I} & \mathfrak{I} \end{array} \right\} \quad \mathfrak{I} = \left\{ \begin{array}{ll} \mathfrak{I} & \mathfrak{I} \\ \mathfrak{I} & \mathfrak{I} \end{array} \right\} \quad \mathfrak{I} = \left\{ \begin{array}{ll} \mathfrak{I} & \mathfrak{I} \\ \mathfrak{I} & \mathfrak{I} \end{array} \right\} \quad \mathfrak{I} = \left\{ \begin{array}{ll} \mathfrak{I} & \mathfrak{I} \\ \mathfrak{I} & \mathfrak{I} \end{array} \right\} \quad \mathfrak{I} = \left\{ \begin{array}{ll} \mathfrak{I} & \mathfrak{I} \\ \mathfrak{I} & \mathfrak{I} \end{array} \right\} \quad \mathfrak{I} = \left\{ \begin{array}{ll} \mathfrak{I} & \mathfrak{I} \\ \mathfrak{I} & \mathfrak{I} \end{array} \right\} \quad \mathfrak{I} = \left\{ \begin{array}{ll} \mathfrak{I} & \mathfrak{I} \\ \mathfrak{I} & \mathfrak{I} \end{array} \right\} \quad \mathfrak{I} = \left\{ \begin{array}{ll} \mathfrak{I} & \mathfrak{I} \\ \mathfrak{I} \end{array} \right\} \quad \mathfrak{I} = \left\{ \begin{array}{ll} \mathfrak{I} & \mathfrak{I} \\ \mathfrak{I} \end{array} \right\} \quad \mathfrak{I} = \left\{ \begin{array}{ll} \mathfrak{I} & \mathfrak{I} \\ \mathfrak{I} \end{array} \right\} \quad \mathfrak{I} = \left\{ \begin{array}{ll} \mathfrak{I} & \mathfrak{I} \end{array} \right\} \quad \mathfrak{I} = \left\{ \begin{array}{ll} \mathfrak{I} \\ \mathfrak{I} \end{array} \right\} \quad \mathfrak{I} = \left\{ \begin{array}{ll} \mathfrak{I} \\ \mathfrak{I} \end{array} \right\} \quad \mathfrak{I} = \left\{ \begin{array}{ll} \mathfrak{I} \end{array} \right\} \quad \mathfrak{I} = \left\{ \begin{array}{ll} \mathfrak{I} \end{array} \right\} \quad \mathfrak{I} = \left\{ \begin{array}{ll} \mathfrak{I} \\ \mathfrak{I} \end{array} \right\} \quad \mathfrak{I} = \left\{ \begin{array}{ll} \mathfrak{I} \end{array} \right\} \quad \mathfrak{I} = \left\{ \begin{array}$$

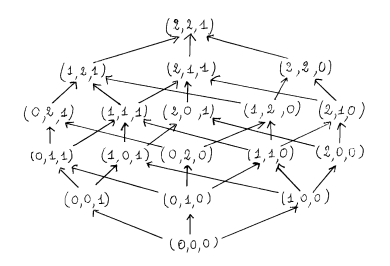


Figure 1

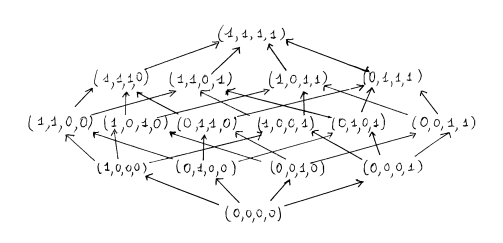


Figure 2

4) 
$$\forall c_{\underline{1}} \in \overline{C}_{\underline{1}} \quad \forall_{\underline{1}}(\overline{C}_{\underline{1}}, J, t) < \forall_{\underline{1}}(\overline{C}_{\underline{1}}, J, t) < \forall_{\underline{1}}(\overline{C}_{\underline{1}}, J, t) + f_{\underline{1}}(\overline{C}_{\underline{1}} - c_{\underline{1}})$$

$$\forall J \in \{1, ..., NA, \}, \forall t$$
(44)

preuve : 1) est immédiat.

Nous allons montrer 2)-4) pour les chaudières, le raisonnement étant similaire pour les turboalternateurs (nous oublions les indices i=1).

2 , soit (e\_i)\_i=1,2,3 ,(e\_i)\_i=1,2,3 , (e\_i^\*)\_i=1,2,3 les composantes respectives de C, C', C" :

$$f(C^{\bullet}-C) = \sum_{i=1}^{3} f^{i} \cdot max(0, e_{i}^{\bullet}-e_{i})$$
 (cf(40))

or 
$$\forall i \quad \max(0, e_{\underline{1}}^{"}-e_{\underline{i}}) \ge 0 \text{ et } \max(0, e_{\underline{i}}^{"}-e_{\underline{i}}) \ge e_{\underline{i}}^{"}-e_{\underline{i}}$$

 $\max(0, \mathbf{e}_{\underline{i}}^{\bullet} - \mathbf{e}_{\underline{i}}^{\bullet}) \ge 0 \text{ et } \max(0, \mathbf{e}_{\underline{i}}^{\bullet} - \mathbf{e}_{\underline{i}}^{\bullet}) \ge \mathbf{e}_{\underline{i}}^{\bullet} - \mathbf{e}_{\underline{i}}^{\bullet}$ 

d'où max  $(0, e_{\underline{1}}^{n} - e_{\underline{1}}) + \max(0, e_{\underline{1}}^{n} - e_{\underline{1}}^{n}) > 0$  et  $\max(0, e_{\underline{1}}^{n} - e_{\underline{1}}) + \max(0, e_{\underline{1}}^{n} - e_{\underline{1}}) + (e_{\underline{1}}^{n} - e_{\underline{1}}) + (e_{\underline{1}}^{n} - e_{\underline{1}})$ 

 $\texttt{soit} \quad \forall \texttt{i, } \max(\texttt{0,e}_i^n - e_i^{} \texttt{)} + \max(\texttt{0,e}_i^n - e_i^n^{} \texttt{)} \ge \max(\texttt{0,e}_i^n - e_i^{} \texttt{)}$ 

en multipliant par fi et en sommant en i :

$$\sum_{i=1}^{3} \underline{r_i} \max(0, \mathbf{e_i^*} - \mathbf{e_i}) + \sum_{i=1}^{3} \underline{r^i} \max(0, \mathbf{e_i^*} - \mathbf{e_i^*}) > \sum_{i=1}^{3} \underline{r^i} \max(0, \mathbf{e_i^*} - \mathbf{e_i}) \qquad \text{oqfd}$$

 soit C(respectivement C') la configuration optimale pour le jour t+1, partant de l'état (C,j) (respectivement (C',j))

$$\mathbb{V}(\mathbb{C}, \mathbf{j}, \mathbf{t}) \leq \mathbf{f}(\mathbf{\tilde{C}} - \mathbb{C}) + \sum_{i} \mathbb{P}_{\mathbf{l}, \mathbf{j}}(\mathbf{\tilde{g}}(\mathbf{\tilde{C}}^{\bullet}, \mathbb{P}^{\mathbf{l}}(\mathbf{t} + \mathbf{1})) + \mathbb{V}(\mathbf{\tilde{C}}^{\bullet}, \mathbf{l}, \mathbf{t} + \mathbf{1})$$

or 
$$V(C^{\bullet},j,t) = f(\tilde{C}-C^{\bullet}) + \sum_{\substack{p \ 1 \ 1j}} (g(C^{\bullet}, D^{1}(t+1)) + V(\tilde{C}^{\bullet},1,t+1))$$

dioù:

$$V(C,j,t) \leq V(C',j,t) + f(\tilde{C}'-C)-f(\tilde{C}'-C')$$

de même :

$$V(C', i, t) \leq V(C, i, t) + f(\tilde{C}-C')-f(\tilde{C}-C).$$

Utilisant le résultat 2) 
$$f(\tilde{C}'-C) \leq f(\tilde{C}-C') + f(C'-C)$$

$$f(\tilde{C}-C^{\dagger}) < f(\tilde{C}-C) + f(C-C^{\dagger})$$

on obtient : 
$$V(C,j,t) \leq V(C',j,t) + f(C'-C)$$
  
 $V(C',j,t) \leq V(C,j,t) + f(C-C')$ 

Comme 
$$C \supset C \Rightarrow f(C^{\bullet}-C) = f(\Delta C) > 0$$
 et  $f(C-C^{\bullet}) = 0$ 

soit 
$$V(C,j,t) \leq V(C^{\bullet},j,t) + f(\Delta C)$$
  
 $V(C^{\bullet},j,t) \leq V(C,j,t)$ 

4) se déduit de 3) compte tenu que  $\overline{\mathbb{C}} \supseteq \mathbb{C}$   $\forall \mathbb{C} \in \mathcal{C}$ 

Les prévisions de consommation ne sont détaillées jour par jour que pour une sesaine et il est quasiment impossible d'établir un profil des consommations Journalières des semaines suivantes aur la base de totur bédommdaires.

Cedi nous incite à poser Tw7 et par sulte  $V_{\underline{i}}(C_{\underline{i}}, j, 7) \equiv 0$  sur  $C_{\underline{i}}$   $X_{\underline{i}}^{\dagger}, \dots, N_{\underline{i}}^{\dagger},$  alors qu'avec un horison de T' jours TY7, la fonction de Bellman  $V_{\underline{i}}^{\dagger}(\dots)$  au jour 7 serait modulée, conformément à la relation (44), par :

$$V_{\underline{i}}(C_{\underline{i}}, j, 7) \leq V_{\underline{i}}(\overline{C}_{\underline{i}}, j, 7) + f_{\underline{i}}(\overline{C}_{\underline{i}} - C_{\underline{i}})$$

Nous avons donc procédé à des expériences numériques sur un horizon de la semaine en initialisant successivement l'équation récurrente de Bellman avec

$$V_{\underline{1}}(C_{\underline{1},\overline{1}},7) \equiv 0 \quad \forall C_{\underline{1}} \in C_{\underline{1}} \quad \text{et} \quad \forall \underline{1} \in \{1,\dots,NA_{\underline{1}}\}$$

$$\text{puis} \qquad \text{V}_{\underline{i}}(C_{\underline{i}}, j, 7) = \text{f}_{\underline{i}}(\overline{C}_{\underline{i}} - C_{\underline{i}}) \qquad \text{V} \ C_{\underline{i}} \in \mathcal{C}_{\underline{i}} \quad \text{et} \qquad \text{V}_{\underline{j}} \in \{1, \dots, \text{NA}_{\underline{i}}\}$$

La décision optimale  $\Delta C_1^*(E_{\underline{1}}(0))(0)$  (i.4,2) semble robuste et pour les strutégies  $\Delta C_1^*(E_{\underline{1}}(1))(t)_{\underline{1}+\underline{1},2}$  les bascellesents à d'autres configurations ne se produisent que locaque les coûts correspondants sont proches.

Aussi avons nous retenu T=7, c'est à dire un horizon d'optimisation de la semaine.

#### CHAPITRE VI - RESULTATS ET CONCLUSIONS

Nous appuyant sur l'analyse préofdente des diverses étapes que recouvre la résolution du problème d'optimation dynamique, nous avons conçu et mis au coint deux alzorith mes :

OPTIMA : algorithme d'optimisation dynamique turboalternateurs.

OPTIMB : algorithme d'optimisation dynamique chaudières.

Leurs structures, très similaires, ainsi que les quelques particularités de programmation sont décrites dans l'annexe V.

Sur le plan de calcul, OFTIMA est éxécuté approximativement en 17 secondes sur calculateur 71600 et OFTIMB prend environ 50 secondes.

Rien ne s'oppose donc à exploiter chaque fois qu'ils sont disponibles, c'est à dire les cinq premiers jours de la semaine, les tableaux indiquant les prévisions de consommation pour les sept jours à venir, et à "faire tourner" avec ces données les deux programmes d'optimisation qui renseignement ainsi sur les seilleures décisions de démarrage voire d'arrêt à premire le lemement.

Reste à juger maintenant de l'impact de cette optimisation sur la conduite de la centrale.

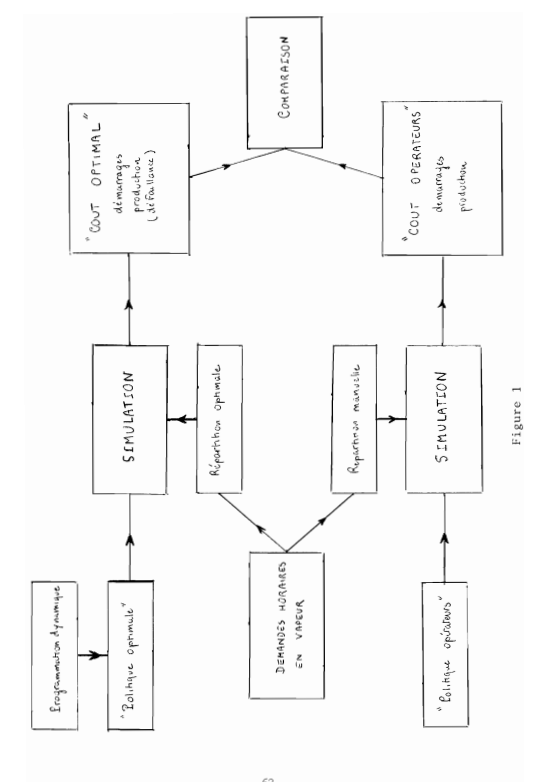
#### 1. Simulations

Afin de dégager les gains éventuels apportés par l'introduction de cette procédure nous arons développé plusieurs outils de sisulation : (cf.Annexe VI).

1.1. Simulation de la gestion optimale des chaudières (respectivement des turboalternateurs) : chaque jour on se réfère à la politique préconisée par le programme d'optimisation OPTIMS (respectivement OPTIMS) pour mettre en service ou éteindre des chaudières (respectivement des turboalternateurs) et, au cours de la journée, on règle de façon optimale - programme d'optimisation statique, heure par heure, les points de consigne des générateurs en fonctionnement, pour suivre les fluctuations de la demande. On évalue, sinsi, sur une certaine période, le coût de la "politique optimale" - "coût optimal"-

coûts de démarrage coûts de défaillance (s'il v en a)

coûts de production de la vapeur 60 bars (respectivement gain dû à l'électricité autoproduite).



- 52 -

1.2. Simulation de la politique de gestion des générateurs pratiquée par les opérateurs :

Four les turboalternateurs, cette simulation est triviale, puisque l'autoproduction (NWh) est récapitulée dans les "tableaux de production et consommation réelles". En la multipliant par le prix dW NWh électrique, on obtient immédiatement le gain résultant. Il suffit de recenser ensuite le nombre de démarrages au cours de la période envisagée afin d'évaluer le coût lié aux démarrages.

Pour les chaudières, grâce à des tacleaux journaliers dans lesquels sont consignés les niveaux de production horaire de chaque chaudière, nous sommes en mesure de calculer le coût engendré par la production proprement dite. En y rajoutant les coûts de démarrages, nous avons une estimation ou coût encouru avec la conduite actuelle de la centrale -"coût opérateurs".

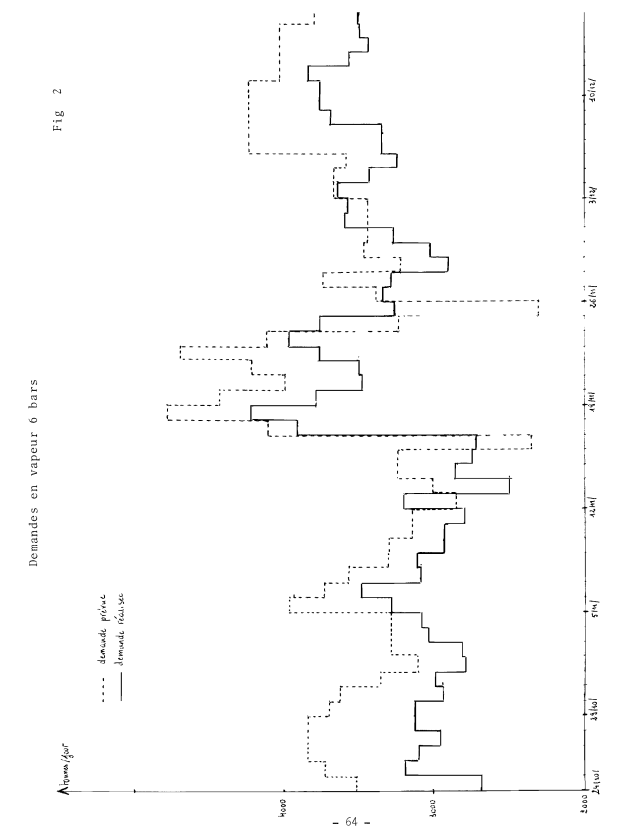
Effectuées sur les réalisations réelles de la demande, ces simulations permettent de comparer poste par poste (coîts de démarrage -coît de production ou gain en électricité) et globalement les politiques manuelle et automatique. Le schéma de la figure 1. résume l'enchaînement de ces simulations, dans le cas des chawières.

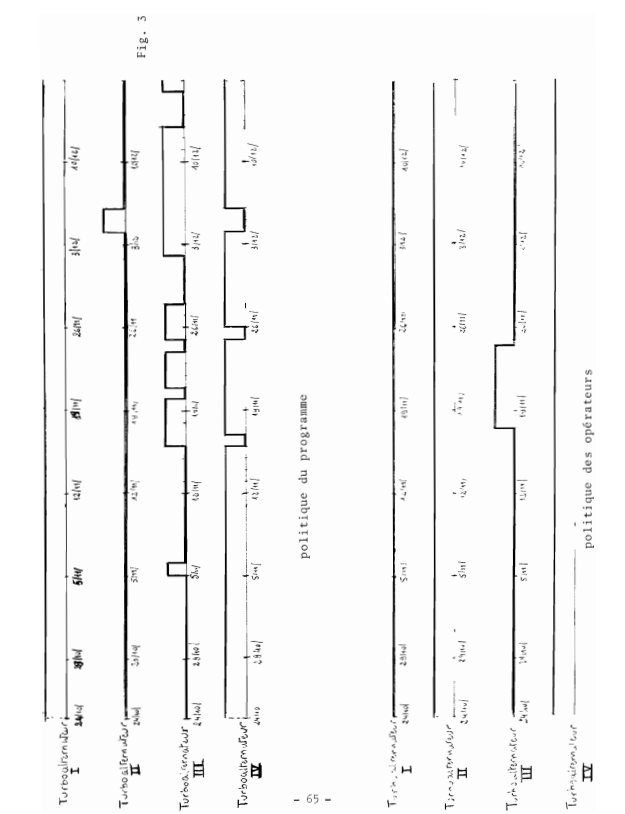
Remarque: Il serait également révélateur de confronter la consommation réelle en combustible (fuel et gaz) avec celle calculée lors de la simulation de la politique des opérateurs. Ce serait en effet un moyen de valider les courbes de rendement utilisées.

#### Résultats Turboalternateurs :

Four les turboulternateure, les simulations entreprises recouvrent actuellesent la période s'étendant du 24 Octobre 1979 un 16 Décembre 1979, sur laquelle les demandes prévises et réalisées sont celles représentées à la figure 2. Les diagrammes de la figure 3 schématisent les politiques d'arrêt et de démarrage précomisées respectivement par le programme d'optimisation et les opérateurs.

Les tableaux de la figure 4 rassemblent, jour par jour, les éléments pertinents pour la confrontation de ces deux politiques. Sur cette période, on a ter résultats globaux suivants :





#### . Politique des opérateurs :

électricité autoproduite : 15 697 MWh (à 162 F. le MWh) gain financier : 2 542 914 F. coût de démarrage : -512.5 F. 2 542 401.5 F.

#### . Politique "optimale" :

Gain global :

électricité autoproduite 17 714 MWh gain financier : 2 85.0 668 coîts de démarrage : -5 783 F. coût de défaillance : -

2 859 808 F Soit 12.5 % de plus. Gain global :

Remarque : Le gain financier à retirer de l'optimisation statique n'est pas exactement le gain en électricité autoproduite, car la marche à régime plus élevé des turboalternateurs s'accompagne d'une baisse d'enthalptie de la vapeur 6 bars à la sortie des turbines ainsi que probablement d'une diminution de la quantité d'énergie récupérée dans les circuits de refroidissement des appareils. Toutefois ce dernier terme est faible.

On constate que le gain majeur provient essentiellement de l'optimisation statique et que, dans la mesure où, à la fois les coûts de démarrage et le coût unitaire de défaillance sont faibles, le programme d'optimisation "suggère" de changer de configuration dès lors que l'aléa réalisé laisse prévoir des niveaux de demandes pour lesquels avec les turboalternateurs en service jusqu'à ce moment là, même en les réglant au mieux, on ne produirait pas autant d'électricité qu'avec la nouvelle configuration.

Ainsi au début de la période étudiée, du 24/10 au 15/11.79, la configuration proposée est (1,0,0,1) (excepté le 5/11/où on pouvait s'attendre à une demande plus importante) et non (0.1.0.1) :

avec (0,1,0,1) les opérateurs ont produit 6098 MWh.

avec (1,0,0,1) l'autoproduction est de 6984. MWh, soit 14,5 0/c en plus. Si on adopte la configuration 0101 sur cette période et si on répartit la l'arge de facon optimale, la quantité d'électricité produite ne s'élève qu'à 6774 MWh soit 3 0/o de moins ou avec (1.0.0.1) mais par contre. 11 0/o de plus qu'avec l'allocation des opérateurs. Cette amélioration consécutive

	24 10 29	25/10/19	80,001,27	8110 13	28/10/19	64,01462	30110/79	34,40179
Electricita' produite (MWh)	263,05	325,98	315,58	248,05	318,18	349,02	296,57	302,34
Coûrs de démarrage (en France)								
Coor de défailance (en Francs)	83,6							

+4024cr∑m

224 245	41.8	988	261	692
	1			

0-4-5-62-4

	H						
84.11.2	2 M 78	311113	4/44 79 5/44 79	8/11/9	6/41/9	1141/79	8/11/19
218,05	284,782	308,57	313,85	313,94 360,27 313,60 318,14	360,27	313,60	3 18, 14
3_				512,5	Alliahi		

	re (Mwh)	3		305	3 1 5	279	£ 8 3
--	----------	---	--	-----	-------	-----	-------

O C せんて C C C O C O

- 67 -

OCC DACE AM

	Fi											
48/11/79	423,81			1			28/11/35	757			\$ 39	
47/44/19	3 %, 76	731,2		986	5,275		84/4/43	3 13,4			46.69	
16,111.79	268,99	548,5	357,1	j			26/11/19	3.40,43	132,1		56.7	
45/44/79	273,11			22.9			2814/79	34.6	515,5	12.93,6	'	
4+/11,79	287,03			247			2×(m/39	353,67		2047,1	386	
13/11/19	243,46			493			2334019	394,77				
helmler.	327,20			388			22/11/29	364, 43			33.1	
45,411.29	218,85						66/W12	338,93	5:47.5		295	
10/11/19	294,95			15.8			2011173	371,78 2,50,04		486,3	2.46	
841118	~			,	,		64.11/64	371,18			330	
	Electrute produite (MWh)	(Golts de démarrague (en Francs)	CoOrde défaullance ven Francs)	Electriate producte (MWH)	Coors de démarrage (en Francs)			Electriche (Mwh)	Coors de démarrage	Coù de défailbree (en Francs)	Eleutriute prodoite (HWA)	coins de démarrage (en France)
q	-<0.3	× < z :	E lo		( + 10 7 °C' - 1	,		1000	o e < ₹	£ω	o e n ac	c to sale

Fig 4.c

	29 MITS	3c/4479	4*142179	2/12179	3,42/79	4 (12/79	5/12/19	6/12/19
Electricate produite(NWH)	306,83	336, 48	367,76	348,16	\$55,66	334,74	344,23	324,83
livirs de démarrage.				542,5		5.42,5		132, 1
infros defaillance			345,6					

240.54C E E W

_	
26.7	
و	
ور	
oð. Gi	
3.24	
1	
:	
57	
63	
1	
/	$\perp$
0.5	
256	
	-
1	§ C
£	533
£ 2	23
23	43
Sec.	(g 5)

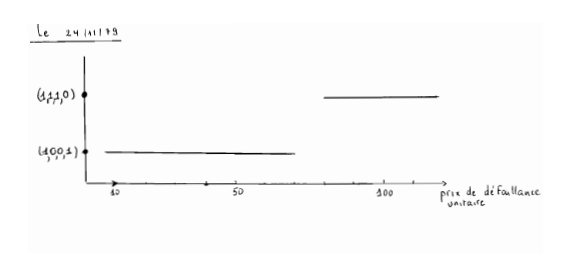
	24 Jan 7	61/11/6	9/14/79	10/12/19	11/12/79	11/17/13	1314179	66/21/14	15/12/19	26/42/33
inte (MWh)	323,15	360,16	369,90	370,43	378,86	346,59	354,59	362,04	363,09	318,21
k démarrage Francs)										542,5
defailiance										

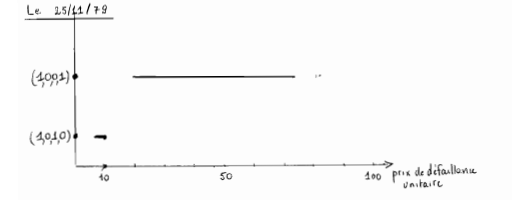
OCODECIIN

ute (HWh)	950	325	334	324	314	) J	933
demortage							

OFFRETHORD

OFFREEFROAV





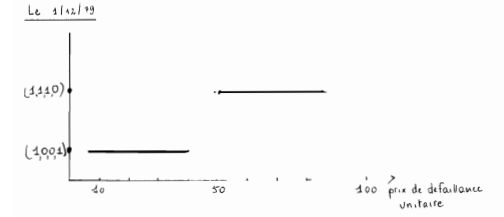


Fig 5 Influence du prix unitaire de défaillance

au choix de la configuration propresent dit n's pas lieu, loraque les décisions prises sont trop "prudentes" vis à vis de la demande effectivement réalisée (un turboalternateur allumé en trop); néammoins la répartition optimale, avec la configuration retenue, accroît de façon déjà importante l'autoproduction en électricité. A titre d'exemple, au cours de la semaine du 3/12 au 9/12/19, on produit 2360 NWh avec la politique "optimale" contre 2447 NWh produits en optimiant avec(QIG) -politique des opérateurs- mais cette autoproduction est supérieure de 11 % à celle des opérateurs.

Quant aux défaillances observées sur cette période, elles s'expliquent par l'un des phénomènes suivants :

. Il est globalement plus avantageux de détendre directement la vapeur 60 bars en vapeur 6 bars plutôt que d'avoir un turboalternateur supplémentaire allumé ce qui oblige à réduire le régime de marche des turboalternateurs de meilleur rendement. C'est le cas pour la journée du 20/11/99. Si on maintient le turboalternateur III allumé, le manoue à manner en

électricité 14 WMs, soit 2274,5 F, est supérieur aux coûts de redémarrage du turboalternateur III le lendemain et de la défaillance - au total 1000 F.

La demande fluctue de façon trop importante au cours de la journée;
Ainsi, pour le 16/11/79, la demande horaire passe de 102 tonnes à 148 tonnes (moyenne de la journée 114 tonnes). Ceci est en accord avec le fait qu'il faudrait chiffrer la défaillance unitaire à plus de 700 F pour que l'on préfère la configuration (1,0,1,0), 1) à la configuration (1,0,1,0).

Les demandes réelles avaient une probabilité assez faible de se produire

. Les demandes réelles avaient une probabilité asses faible de se produire et comme le prix de défaillance est très faible, elles ont eu peu de "poids" dans la procédure de programation dynanique. Ceci a lieu les 24 et 25/11/79 et le 1/2/79. Four ces jours là, nous avons fait une étude de sensibilité au prix de défaillance (cf. figure 5).

Remarque: Lorsque le programme conseillait, pour le premier jour de la période d'optimination, un choix de configuration, qui une fois mis en oeuvre, ne permettait pas de satisfaire la demande en vapeur 6 bars, et, qu'une faible variation du priz unitaire de la tonne de vapeur non produite (10F au lieu de 6,05 F) entraînait le basculement à une solution de plus forte capacité de urbinage, c'est cette dernière configuration que nous avons conservée ; elle était d'ailleurs, déjà préférée pour certains états initiaux de marche des turboaiternateurs. Cette sorte d'"inutabilité" peut donc être détectée à la lecture du listing : si on remarque que, pour le premier jour, les coûts de démarrage président au choix entre une configuration et une autre capable de répondre à des demandes plus élevées, nous jugeons plus "sûr" de recommencer l'optimisation dynamique en augmentant légèrement le prix de défaillance, pour voir si la même politique est maintenue.

#### 3. Résultats chaudières

Nous n'avons commencé les simulations qu'à partir du 15 janvier 1980, car, antérieurement, certaines répartitions journalibres nous faisaient défaut. Les résultats présentés ici s'arrêtent au 2 mars 1980; la politique optimale a été élaborés en fixant à 1000 F le prix de défaillance pour une tonne de vapeur 60 bars non fournie, soit à peu près 15 fois le prix moyen de production de la tonne de vapeur 60 bars surchauffée (de l'ordre de 70 F).

La figure 6 montre l'évolution de la demande (prévue et réalisée) au cours de cette période. On se reportera à la figure 7 pour la visualisation des politiques du programme et des opérateurs respectivement, ainsi qu'aux tableaux de la figure 8 pour la comparaison, jour par jour, ces divers coûts encourus avec ces deux politiques.

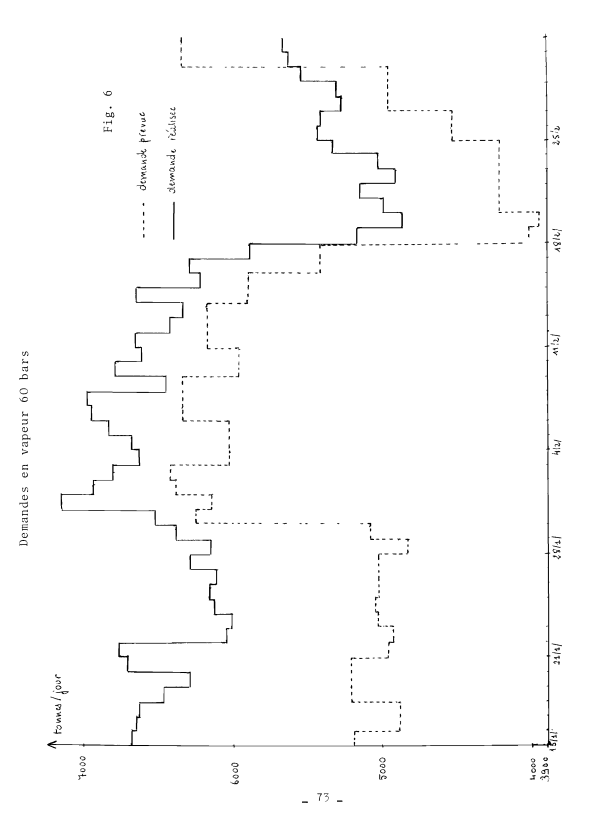
Globalement les chiffres sont :

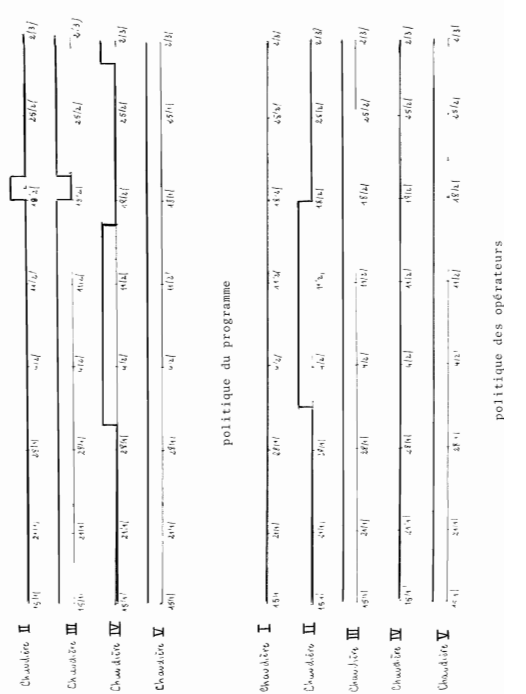
pour les opérateurs :
 coût de production : 16 627 787 F.

coût de démarrage : + \_\_\_\_\_\_ 5 868 F.
coût global 16 633 655 F.

. avec le programme :

Le gain global est besucoup plus faible que pour les turboalternateurs : de l'ordre de 0,2  $^{9}$ /s. Ceci s'explique par le fait que, les rendements variant assez peu en fonction du régime, et, en outre, ne différant pas notablement d'une chaudière à l'autre, l'optimisation statique contribue peu à l'amélioration de la gestion des chaudères : ainsi pour la période du 15/1/990 au 29/h/80, les opérateurs ne s'écartent que de 0,14  $^{9}$ /s du comportement optimal. On commatte d'ailleurs, que lorsque, suite à une asgmentation du





Chandière 🔽

Fig

1919

77/57

7

11/5/

11/1

2911

24.45

17,54 Crambière I

FRODERERM OFFICERSEN

08/4/77	338195		338218	30/1/80	369143	0 68 5		366873
21/1/80	331749		285023	29/1/82	358168			353678
2011.80	3 + 92, 17-		7,5816	2814180	344560			3455.04
08,3,6,1	320684		352953	23/1/80	352842			553234
08.+.81	363226		363734   362953	26/11/32	341862			343594
1819151	333426		373572	25/1/82	345045			34547}
08 110,	374599		374900	2414183	342885			343861
45/193	376118		376541	23/1180	335865			3370 69
	Cost de production (que frances) Costs de démortage (que frances)	Coor de défodlance (eu France)	Code de production (en france) Codes de démarrage (en france)		(as France)	Color de demorrage (cur Franco)	Oak de diffaillanc	Coor de produktou Cobrede de marraye (ou france)

\_ 75 \_

ひゃのけんなままか うじゃかせきゅうにひ

\*\*\*

(air de production (en france)	404440	342630	185189	315305	017847	386500	334805	31-852
Godis de démaraique (en France)								
lair de défaillance (en Francs)								
Cook of production	404554	393618	386141	376212	318902	76.26	39595	395531
Coors de démarrage (en Prouce)	28.68							
	\$12180	3/11/10	10/2/80	14/11/80	12/2/50	13,12,180	14/2/83	08/2/3.
ist de producham	305255	384090	373942	3766 61	363263	35.92.39	376332	351818
loges to dimarrage								
Out de défartance sen france)								
Cost de production	365324	384800	37 4 751	337452	364252	359375	377432	352789
Coto de démorrage (eu France)		_			~			

**えゅうかせせEF**W

0004614245

0-10 KEF 103KV

	Astulas	1212/90 18/11/80	18/1/80	0 4+12/30	08/79	21/5/80	18/7/25	23/2/80
Coorde production (the France)	352398	328629 285638	889587	268940	278304	286542	273283	279965
Cours de de marrage			5868					
Calledo de Carlones	-		1	,			-	
(an France)								

23477 280625 2884 76 275127 282082	· ·
94 -887	
280625	
233173	100
333559 289664	
333553	
35714.9	
Cords production	Callege demorning

	2415153	25/2/20 2	26/1/80	26/2/80 23/2/80 28/2/80	2812182	25/2/80 144/3/80 3/3/80	14.13180	313190
(20) s de production 296645 302484	296645		300000	300gac 288278 295049 3035go 818982 320608	295049	308590	3,8932	3509038
(Olto de dimorrage							6830	
Oak a Marthage								

5407462E7

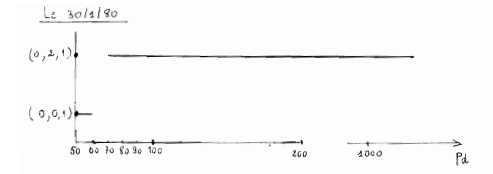
310312   315272   415374	
299201	
5 295432 2	
302525	
38282 304086	
298582	- No. of the latest and the latest a
Courte production	Cality of Girman Caye

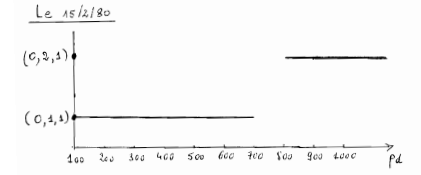
un niveau de la demande, il est nécessaire de mettre en route une chaudière supplémentaire, le programme d'optimisation retient, parmi les configurations répondant à des plages de demandes sensiblement voisines, celles pour laquelle le coût de démarrage est le moins pénalisant plutôt que celle qui consomme le moins de combustible, car, précisément, il y a très pes d'écart entre les coûts de production proprement dits : ainsi, au cours de la période du 31 Janvier au 15 Mévrier 1980, le programe ne suggère la politique (0,2,1) que lorsque la configuration de la veille est (0,2,1) ou (0,2,0); sinon il choisit la configuration (1,1,1). En fait, sur cette même période en répartissant de façon optimale la charge sur les chaudières III-IV-V on ne réalise que 0,2 % d'économie.

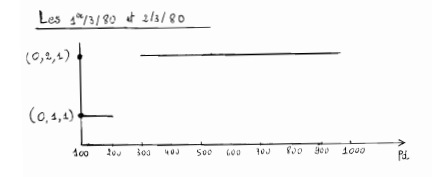
Le coût de défaillance adopté semble suffisamment élevé, puisqu'on est toujours capable, avec la politique "optimale", de répondre à la demande en vapeur 60 bars. Pour les journées, où le programme propose des configurations un peu trop "prudentes", nous avons analysé l'influence du prix unitaire de défaillance (p.). (Of figure 9). Remarquons que si ce prix devient inférieur au prix marginal de la tonne de vapeur 60 bars produite, on a alors intérêt à sous-produire avec la configuration de meilleur rendement c'est à dire avec (0.0.1). C'est ce qui a lieu pour la journée du 30 /1 /80. Cette hypothèse étant peu réaliste, nous avons, dans la suite, limité inférieurement (p) à 100.F. On retrouve, sur ces exemples, le fait que le basculement à une configuration de plus forte capacité de production se produit pour un prix de défaillance d'autant plus grand que le risque de ne pas répondre à la demande, dans tous les cas statistiquement possibles, est plus réduit. Aussi déterminer empiriquement - c'est à dire par des expériences numériques de aensibilité - un ordre de grandeur raisonnable de ce prix de défaillance n'est envisageable que si les matrices de transition de la chaîne de Markov ne sont pas à remettre en cause.

#### 4. Conclusions

De toute évidence, la discussion qui précède manque de généralité dans la mesure où les deux politiques ne sont comparées que sur une selle réalisation de la demande. Par ailleurs, à l'heure actuelle, les simulations ne portent pas sur des périodes suffisamment longues pour en tirer des conclusions définitives, et, en particulier, justifier de façon objective la rentabilité de l'implantation d'un calculateur muni de







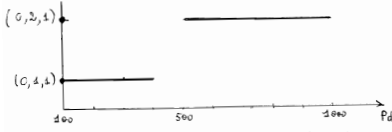


Figure 9. Influence du prix unitaire de défaillance

programme d'optimisation; d'est pourquoi il a été décidé de les poursuivre. Toutefois, d'ores et déjà, certains résultats positifs peuvent être entreums :

- nette amélioration de l'optimisation statique des turboalternateurs.
- tendance à réagir plus rapidement face à des variations de la demande. Ceci est bénéfique lorsque, suite à une baisse de la demande, il devient inutile de maintenir en service une des unités.

Il ressort également de cette campagne de simulations que l'efficacité de l'optimisation dynamique est étroitement liée à la qualité de la prévision des demandes et du modèle stochastique des aléas. Par conséquent, il importe de continuer à "affiner" l'identification des chaînes de Markov pour les aléas 60 bars et 6 bars, en incorporant à la base de données déjà disponible de nouvelles réalisations. En outre, resplacer ultérieurement les constantes caractérisant les consommations spécifiques des ateliers par des fonctions du régime de marche contribuerait certainement à rendre le planning prévisionnel plus prédispons sorienterait alors vers une identification adaptative des demandes en vapeur. Mérite également d'être approfondie la question du délestage en cas d'incidents graves, puinqu'elle est sous-jacente au chiffrage d'un prix de défaillance vapeur 60 bars réaliste. Le problème que nous avons traité ouvre donc encore de larges perspectives d'études complémentaires, voire même de recherche coume par exemple le contrôle et la régulation de l'excès d'air au nireus des brâuers des chasidères.

Ce travail accompii en collaboration avec un industriel important s'est révélé intéressant sous de multiples aspects. Sur le plan scientifique, nous avons mis en oeuvre, à l'occasion d'un exemple concret de problème de contrôle stochastique mêlant des variables continues et des variables entières, les techniques de programmation dynamique. Nous avons essayé d'intégrer au mieux l'ensemble des domnées collectées par le Bureau d'études de l'usine de Chalampé, et, notamment d'en extraire des renseignements statistiques pertinents pour modèliser les desandes en vapeur.

Ceci s'est concrétisé par l'élaboration de tables de décision et la mise au point d'outils de simulation, utilisables comme side à la décision, par le personnel de la centrale. Par ailleurs, cette étude qui a éxigé la coopération active du personnel de Chalampé a eu, indirectement, des retombées fructueuses sur l'usine, tant sur le plan technique que sur le plan humain, compte-tenu de l'intérêt croissant accordé aux problèmes d'économie d'énergie.

#### Post-Scriptum

Postérieurement à la rédaction de cette thèse, îl est apparu que le coût de défaillance unitaire défini page 55, pour pénaliser l'obtention d'une tonne de vapeur 6 bars par détente directe d'une tonne de vapeur 60 bars et non par turbinage, chiffrait, "en movenne; le manque à gagner oft à l'absence d'autoproduction électrique ; or, ce dernier est déjà pris en compte dans le critère de l'optimisation statique. Par conséquent, en ce qui concerne la vapeur 6 bars, lorsouse la capacité de trubinage des turboalternateurs en fonctionnement est insuffisante, on détent alors directement le surplus de vapeur 60 bars mais cette solution de remplacement ne s'accompagne d'aucun coût de défaillance  $\{p_2, \phi\}$ .

#### BIBLIOGRAPHIE

- H. AKAIKE: A new look at the statistical model identification, IEEE Transactions on Automatic Control, Vol. AC-19, n<sup>o</sup>6, December 1974.
- [2] 0.D. ANDERSON: Time Series Analysis and Forecasting: The Box-Jenkins Approach, Butterworths.
- [3] M.S. BARTLETT: On the theoretical specification of sampling properties of autocorrelated time series, Jour. Royal Stat. Soc., B.8, 27, 1946.
- [4] A. BENSOUSSAN: Introduction to the theory of Impulse Control, Reprint from "Control Theory and Topics in functionnal analysis" Vol. III.
- [5] A. BENSOUSSAN: Utilisation du filtre de Kalman pour la prédiction des séries économiques, Archives de l'I.S.E.A, Tome XXVII, 1974 nº2-3.
- des sories economiques, Archives de 11.3.8.A, Tome XXVII, 19/A n.2-5.

  [6] A. BENSOUSSAN-J.L.LIONS : Nouvelles méthodes en contrôle impulsionnel,
  J. of Appl. Math. and Opt., Vol.1, 1975.
- [7] P. BERNHARD-G.BELLEC: On the evaluation of worst-case design with an application to the quadratic synthesis technique, Proc. IFAC Symp. on Sensitivity, Adaptivity and Optimality, Isochis, Inly 1973.
- D.P. BERTSEKAS: Convexification procedure and decomposition methods for non-convex optimisation problems, Jal. of Opt. Theory and Appl., Vol.29, n<sup>2</sup>2, 1979.
- [9] D.P. BERTSEKAS: On penalty and multiplier methods for constrained minimization, SIAM Jal on Control and Opt. Vol. 14, n<sup>o</sup>2, February 1976.
- [10] G.E.P. BOX-D.R. COX: An analysis of transformations, Jour. Royal Stat. Soc., B-26, 211, 1964.
- [11] G.E.P. BOX-G.M. JENKINS: Time Series Analysis, Forecasting and Control, Holden Day, 1976
- [12] J. CEA: Optimisation: Théorie et algorithmes, Dunod, Paris 1971.
  Paris, 1971.
- [13] O. COHEN: Optimization by decomposition and coordination: a unified approach, IREE Transcations on Automatic Control, Vol. AC-23, n°2, Auril 1978.
- [14] G. COHEN: Auxiliary problem principle and decomposition of optimization problems, Jal of Opt. Theory and Appl., Vol. 32, n<sup>0</sup>3, 1980.
- [15] F. DEEBEQUE-J.P. QUADRAT: Sur l'estimation des caractéristiques locales d'un processus de diffusion avec sauts, IRIA Rept. 311, Le Chemnay. Prance 1978.

- [16] P. FAURRE: Réalisations Markoviennes de processus stationnaires, Thèse de doctorat d'état, Université de Paris VI, 1972.
- [17] R. CALLAGER: Information theory and reliable communication, John Wiley, 1968.
- [18] M. GOURSAT-S .MAURIN : Méthodes de résolution numérique des inéquations variationnelles, LAB. 7412 (IRIA/LABORIA).
- [19] C.W. GRANCER: Analyse spectrale des séries temporelles en économie, Dunod, Paris, 1969.
- [20] U. GREANDER-M.ROSENBLATT: Statistical Analysis of stationnary Time Series Analysis, Wiley, 1057.
- [21] E.J. HANNAN: Time Series Analysis, Science Paperbacks, Chagman and Hall (London).
- [22] R.A. HOWARD: Dynamic programming and Markov Processes, MIT Press, Cambridge, 1960.
- [23] G.M. JENKINS-D.G. WATTS: Spectral Analysis and its applications, Holden Day, San Francisco, 1968.
- [24] M.C. KENDALL-A.STUART: The advanced theory of Statistics, Griffin, London 1968.
- [25] L.S. LASDON-J.D. SCHORFFLER: A multilevel technique for optimization, Proc. JACC, Troy, N.Y. 1965.
- [26] C. LETUAY: Application du contrôle stochastiq:e à un problème de gestion optimale d'énergie, thèse de docteur-ingénieur, Université de Paris IX,1975.
- [27] D.G. LUENBERGER: "Optimization by Vector Space mathods", New-York, Wiley, 1969.
- [28] E. PARZEN: Mathematical considerations in the estimation of spectra, Technometrics, Vol. 3, 1961, pp 167-190.
- [29] M. ROBIN : Contrôle impulsionnel des processus de Markov, Thèse de doctorat d'état, Université de Paris, 1978.
- [30] G. RUCKEBUSCH: Théorie géométrique de la représentation markovienne, Thèse de doctorat d'état, université de Paris VI. 1980.
- [31] A. TURGEON: Optimal scheduling of thermal generating units, IEEE Transactions on Automatic Control, Vol. AC-23, no. 6, December 1978.

### ANNEXE I

Données techniques de Fonctionnement des chaudières et des Turboalternateurs

## I.1. Rendements globaux :

Chaudiànea T et TI • P - 50+ /h

Regime	93 %	59%	91%	102%
Rendement	91,06%	91,33 %	91,02%	90,40%

Approximation parabolique : r(x) = -0,0493  $x^2$  +0,0583 x +0,8957.

Rendement moyen :  $r_1 = 0,9095$ .

#### Chaudières III et IV P = 1201/h

Regime	39 %	60%	90%	101%
Rendement	93,14 %	93,67%	93,45%	93,13%

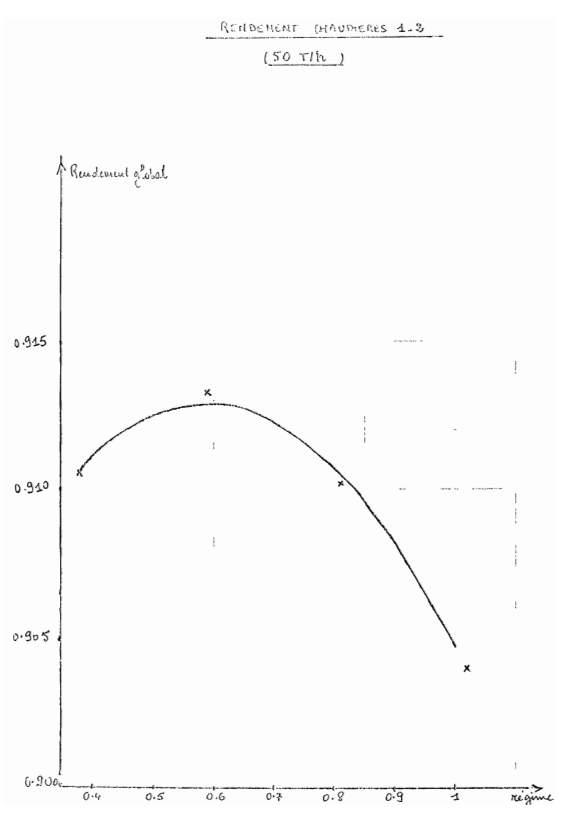
Approximation parabolique :  $r(x) = -0.0494 x^2 + 0.0679 x + 0.9127$ Rendement moyen  $r_2 = 0.9335$ .

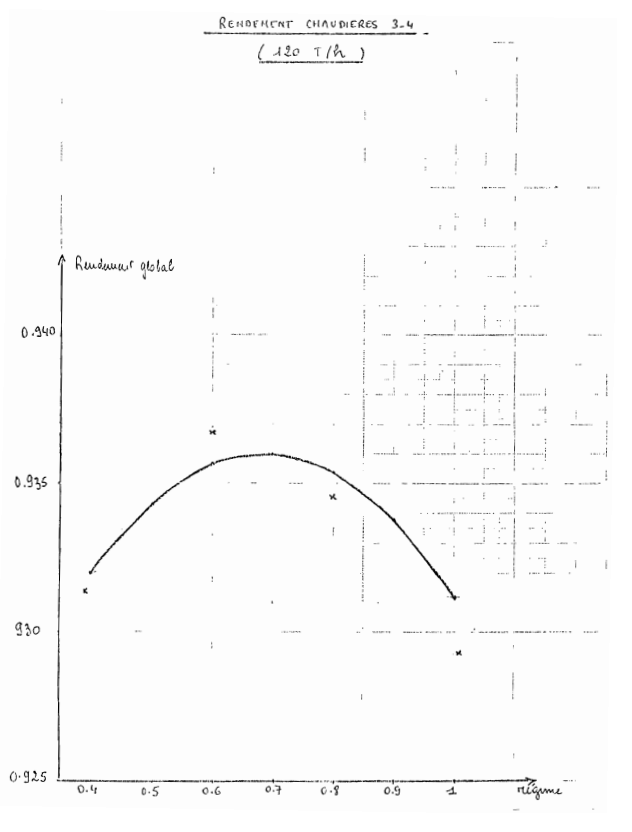
# Chaudière V P = 200 t/h.

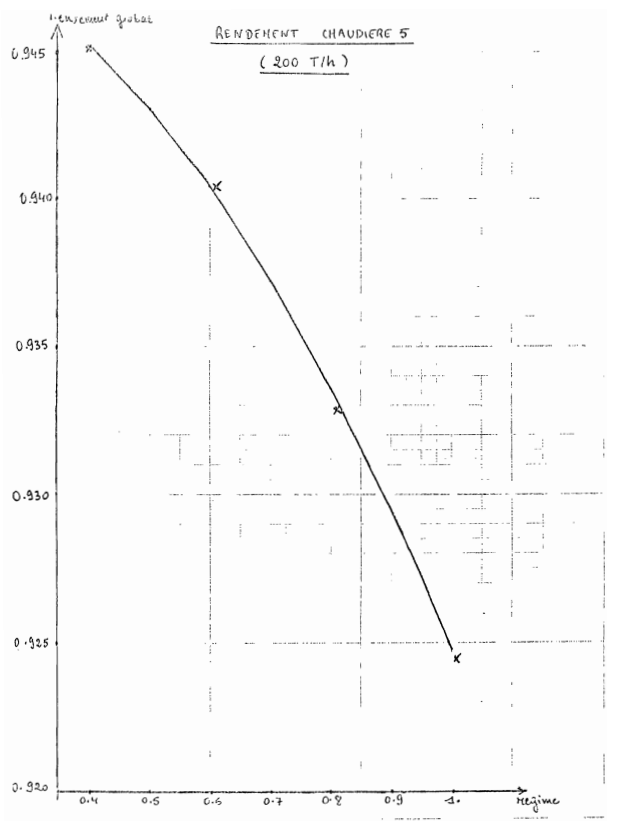
Regime	40%	61%	91%	101%
Rendement	94.51%	34,04%	93, 29%	92,45%

Approximation parabolique  $r(x) = -0.0244 x^2 + 0.9490$ .

Rendement moyen  $r_3 = 0,9357$ .







#### I.2. Consommations auxiliaires électriques.

Production Vageur	30	40
Puissance Electrique consommée (KW)	100	122

$$(c_{ae})(x) = 110 x + 34.$$

Chaudières III et IV.

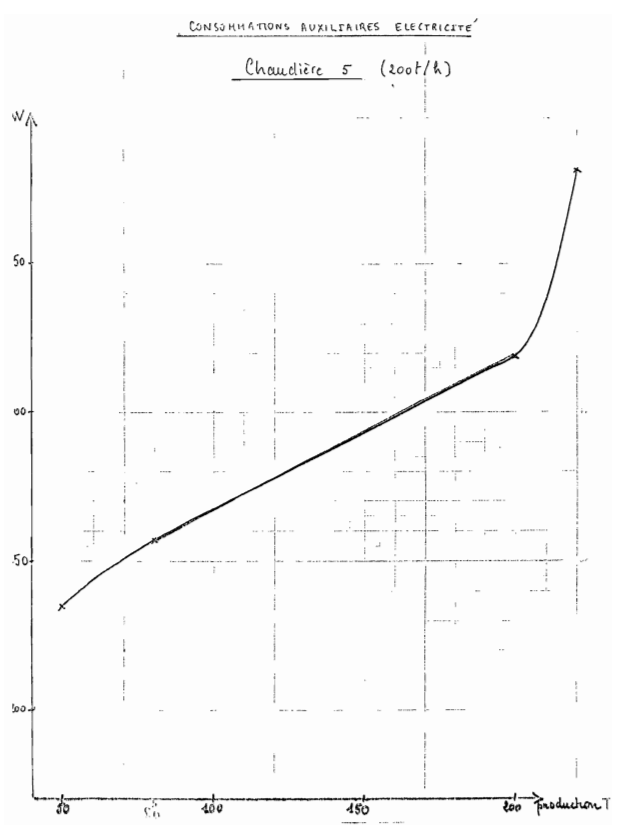
Production Vapour	40	60	80	100	120
Puissance Electrique consummée (KW)	34	46	100	165	187

$$(c_{ae})(x) = 275,09 x - 80,06$$

#### Chaudière V.

P. 1 . 1 . 1/.			_	
Production Vapour (T/h)	50	80	200	220
Puissance Electrique consommée (KW)	£35,2	257,25	3 19,725	382,2

$$(c_{ae})(x) = 104,125 x + 215,60.$$



I.3. Coûts de démarrage.

	CHAUDIÉRES I et II	CHAUDIÉRES III et IV	CHAUDIERE
COÛT de Jémurrage en Tonnes de Fuel	7,2	6	12
Coûr de Jemarraye en Francs	5868	4890	9780
Frequence maximule admise	45 Jours	15 jours	15 yours

# II Turboalternateurs.

#### II.1. Rendements.

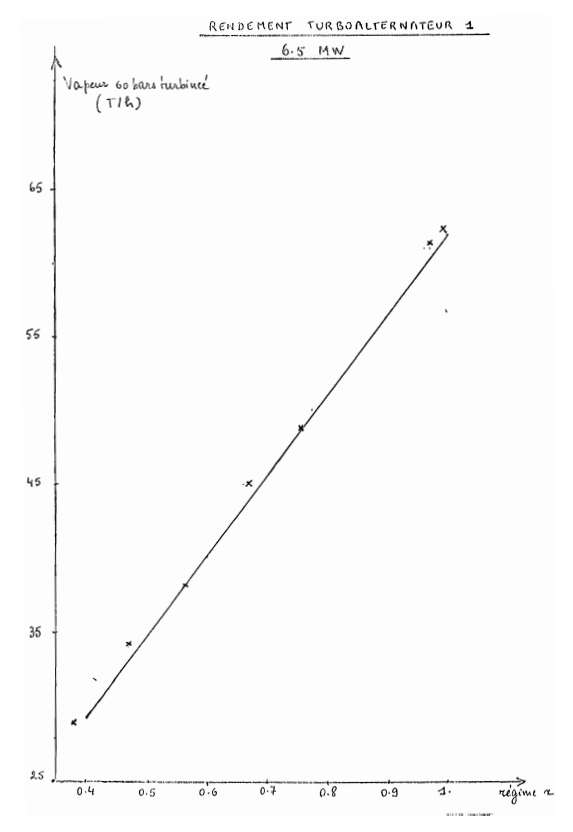
# Consommation spécifique (Tonne de vapeur/h)/MW

Regime	TURBO I 6,5 MW	TURBO II 6,5 MW	TURBO III 6,5 MW	TURBO IV 9 MW
40%	44,50	42,35	42,10	11,75
60%	40,35	10,60	10,80	10,60
80%	40,00	10,25	-10,40	10,10
100%	9,70	10,10	10,25	9,70

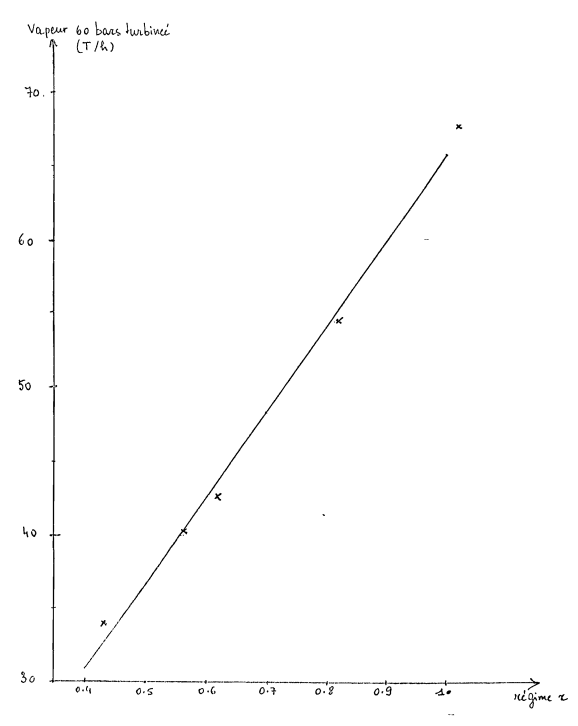
_		
	Turboalternateur	3(x)
	I	54,4 x + 7,520
	II	58 x + 7,725
	III	58,4 x + 7,185
	IA	77 x + 10,971

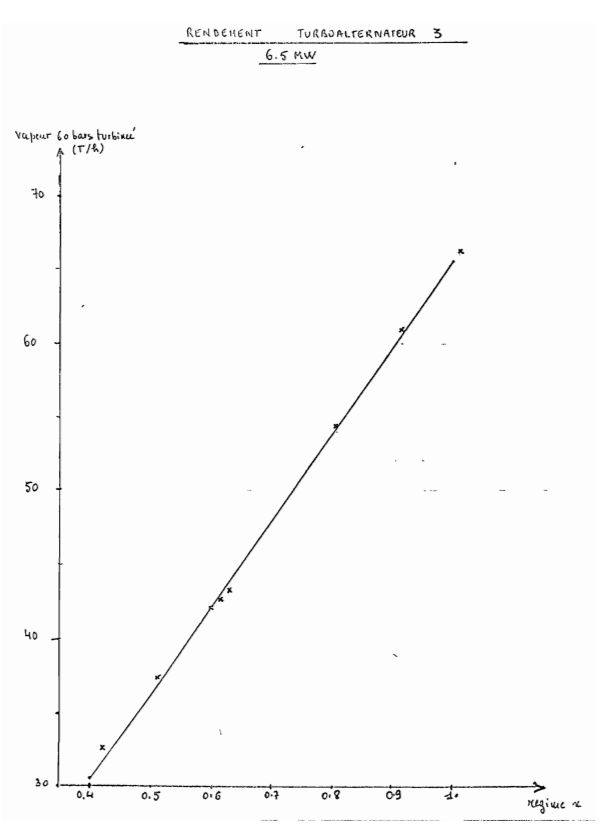
### II.2. Coûts de démarrage.

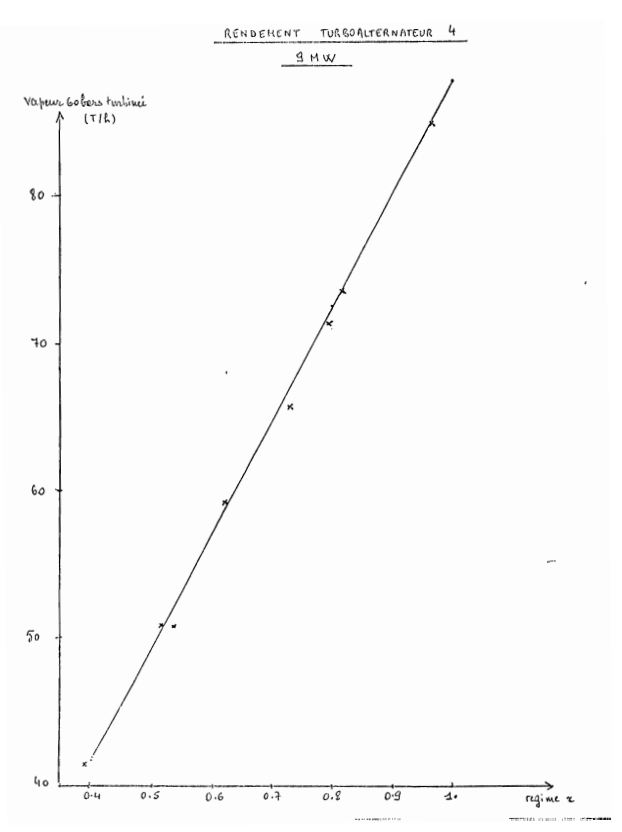
	TUR 605 T-IT - UT	TURBO IX
Coûr de démurrage En tonnes de vapour	7	10
Coûr de démarraje en Francs	512,47	732,1





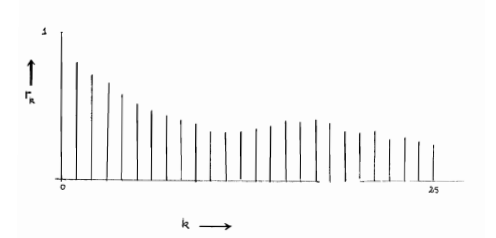




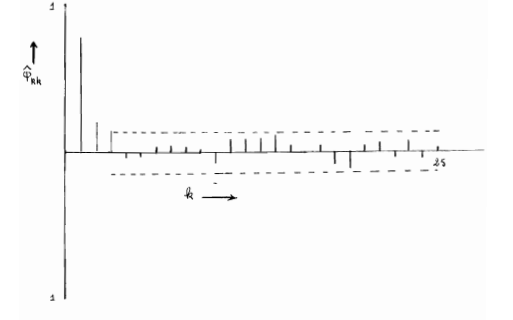


# ANNEXE II

Modélisation des demandes en vapeur



Autocorrelations



Autocorrelations partielles

### ALEAS VAPEUR 60 BARS

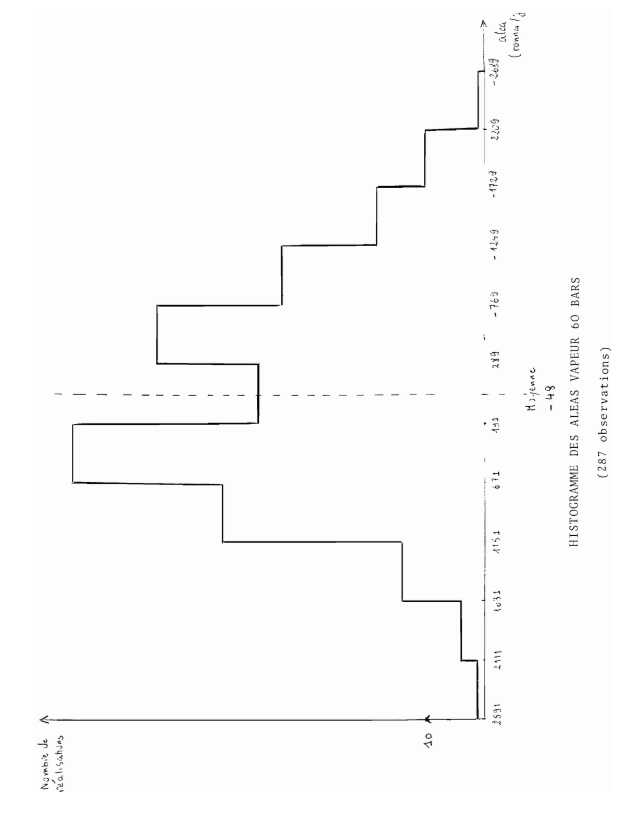
Série initiale  $\mu = 45,38$ 

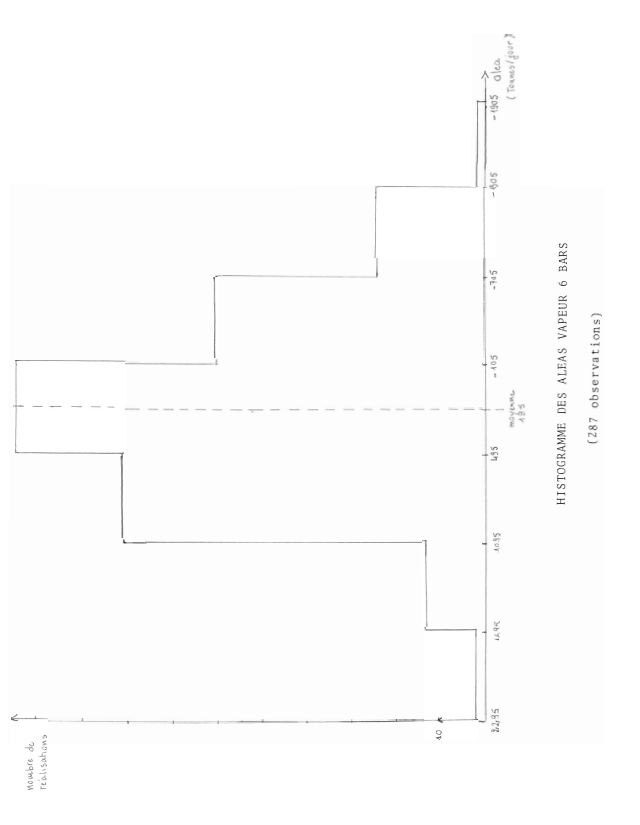
 $\mu = 45,38$  (224 observations)  $\sigma = 881,8$ 

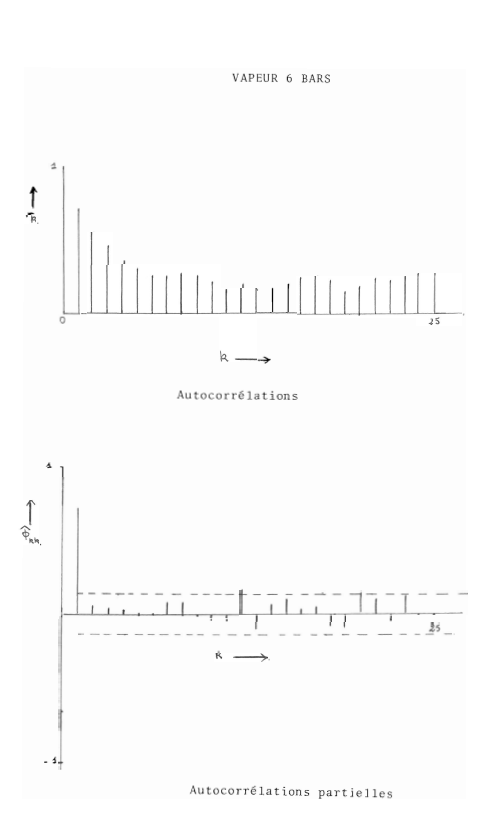
MODÈLE	Eshmahun	Borne infirme	Borne Supérisure a 85%	ECART-TYPE dus Résidus. Pa	χ,
AR(1)	<b>4</b> = 0,8048	0,7246	0,8843	F2 AL	
	µ=58,01	-294,93	410,94	526,94	38,01
	φ.= 0,6433	0,5106	0,7760		
AR (2)	P2=0,2007	0,0680	0,3334	518,53	29,22
	µ = 57,28	- 377, 83	492,40		
	4= 0,6410	6,4778	6,7442		
	42: 0,1045	-0,0520	0,2641	50	
AR (3)	Ψ <sub>3</sub> = 0,1524	0,0190	c,1859	510,28	23,33
	µ= 27,32	-492,01	546,66		
	Q= 0,9047	0,8345	0,9749		
ARMA (1,1)	9, = 0,3016	0,1457	0,4574	514,30	26,44
	µ: 67,58	- 433,70	5 68,85		

Remarque Le ARMA(4,1) s'évrit sous forme AR(∞).

0.{= (36-1) - 0,6031(36-1-1) - 0,2518(36-2-1) - 0,055(36-3-1) - ...







# ALEAS VAPEUR 6 BARS Série initiale $\mu$ = 232,84 $\sigma$ = 595,3 (224 observations)

MODÈLE	P	ECART - TYPE		
HODELE	Estimation	Borne inférieure	Borne Supérieure a 95%	RÉSIDUS! 6a
AR(1)	φ.= 0,7225	0,6299	0,8152	441,77
30 ((2)	µ= 241,30	44,33	438,28	
	· 4= 0,6788	0,5441	0,8135	
AR(2)	P2=0,0634	9040,0-	0,1990	412,11
	μ= 336,27	31,37	443,16	

- MARP: conculture to sent traited = 60 hours 60 hours - רב : (בר-1) בעל לב עביישילע לע בייניול למניטע במלעולעה ן בעה לם אינוני לפעון איניללב

time tent regroupe he demonder resolution are cours d'une somewer townst de l'ulive (7 E 10:5) de soit que: form to fourte I+I.1 - VCP Addica du dem oude premie , VCP (I, I) = privinion fait it fem (I-1) VOR follow des dem auche Healing; VCR (I) = I relationalism no19 mot 9=

. " with a title and the comming of the district with a title of interesting of the contraction of the contr בסב ב אבבבב בחות לם עובושה בלימה : ליכול נסיתואם לע ל פנסוד son is motor of mot . + 400 controver on west president months were raite raisefully the priviletine butto deague four pour to the form o now

alle minimum realise NIHA -John could, four chaque periods, Semont por semanne. to the modern of the medical to 2.0 = (t) ADV , variety and ירו שיוו מו מו מכל (ב-14) (1 = 2) יי, בון בחלימיו בן שיוו ה כמיו פון לאב למיוו VOR(I) = I = ebsencetion de l'alta n' sit pas diffuse de VOR(I) n' sit pas diffus ex - ved holten du alas : oles differen une prévisen le plumient et xechicolon. MILLER

מבמות לע כל באונה מ' מלכם, למפקנו לבאה כ peur להמקטבור PPAS - PAS X 24 - SD eccut- lype de la street des oless - איבת העים שנייב של אניני אנה בילנמה - אא א א פענה קאמינויאה זענטליא

- VDEB VEIN ALAPATION AND ENDER OF SHEWING OLD PAGE LADINGUE

HN -

```
- IFREG LATERU MAXNA DE PROJUNCE CONTURS INCLUS
                    toblesu NA «NA du probabilites conditionnelles, P(I,i). probabilite
         ( aléa tore chase I l aléa t & dasse I)
            CTR Valeux midiane de l'aléa pour atte done
          NACI(I) nombre d'observations dans atte classe
duque viente ( STATS (1, 1) somme des valleurs prines par les altes de la classe
IE (1, , NA) STATI (2, I) mayenne des aless dans la classe
          (STATI(3, I) econt type du aléss dans la classe
       - PI takesa de dimenson NA des probabilites Notionnaures
        - R tablesu des correlations, R(I) correllation d'ordre I s
        Variables internes
               NO rembre total d'observations
               NO 1, NO2 printeurs replicant respentivement le délat et la fin de chaque
         période
                    tatleau de sélection des observations (S(2): 4 le observation utilisée
                                                       I S(1) = 0. At observation eliminal
         Some progressmes affelio
              · TALLY (A,S, -OTAL, AVER, SD, VMIN, VHAX, NO, NV) LOW programme the
  La bilholdique T1600 esteule four chaque variable i (26f1, 1847) d'un lot d'observations
    (matrice A NOXNV) silectionnes (fan S de langueur No) le total (TOTAL), la
     mayence (AVER) l'ecant lipe (SD) le manumum (VHAK) le minumum (VHIN)
              · TERER (A,S) calcule la fréquence conditionnelles et les pourentages
     de fréquences four un lot d'observations (matrixe A de longueur 100) telectionnées
     box S (longueur NO) Les autres arguments sont fasses en contron C sont
            NO ,NA, VDEB, VFIN, PPAS, NP, NS (à difum for l'utilization)
             NACI, STATE, EFRER, E, PI (faravidros de retour)
 numirotation des classes
```

On a adopte cotte numerobalism du fait que - aléa + demande pre vue = demande crabite

```
WRITE(IPP, Sol) JJ,C
401 FORMAT (SY. 190CORRELATION D'ORDRE, 13, 3Y, 17, 4)
17 CONTINUE
    STOP
    END
    SUBPOUTINE TEPER(A,S)
    COMMON/F1/40, "A, VDFH, VF IN, PPAS
    COMMON/F2/9AC1(12), STAT1(3, 12), FERF9(12, 12), P(12, 12), PI(12)
    COMMON/F3/9P, HS(4)
    INTEREM MACR(12)
    REAL A (400)
    REAL 5(400)
    DO 14 1=1,41A
    PI(I)=0.
    NAC1 (1)=0
    NVC5(1)=0
    00 15 J=1.98
    IFRE9(J. I)=0
    P(J. I)=0.
15 CONTINUE
    DO 16 J=1.3
    STATI(J, I)=0.
16 CONTINUE
14 COUTTME
    NOP=0
    NO1=0
    DO 9 IP=1,5P
    L=0
    NO2=(45(IP)*7)+401
    NO1=NO1+1
    00 1 I=M01,002
    IF (S(1))3,2,3
  3 K=[HT((VFT"-4([))/PPAS)+1
    MACI (K)=MACI (K)+1
    STAT1(1,K)=STAT1(1,K)+A(I)
    STAT1(3,K)=STAT1(3,K)+(A(1)*A(1))
    NOP=NOP+1
    IF (L)5.4.5
  5 IFREQ(K,L)=TFREQ(K,L)+1
    NAC2(L)=NAC2(L)+1
  4 L=K
    60 TO 1
  S L=0
  1 CONTINUE
    S0%=10M
  9 CONTINUE
    DO 7 1=1,114
    PI(I)=FLOAT(NAC1(I))/FLOAT(NUP)
    IF (NAC1(I))6.7.6
  6 STAT1(2,1)=STAT1(1,1)/FLOAT(MAC1(1))
    STAT1(3,1)=STAT1(3,1)-(FLOAT(NAC1(1))*STAT1(2,1)*STAT1(2,1))
    STAT1(3,1)=(STAT1(3,1)/FLOAT(MAC1(1)-1))**0.5
    00 8 3=1.24
  8 P(J, I)=FLOAI(IERED(J, I))/FLOAT(DACP(I))
  7 CONTINUE
    RETURN
    CUD
```

```
CONTRIVE 1/40, PA, VISEA, VETT, PRAS
      CON DEVI 275 CT (12), STATT (3, 12), PERFO (12, 12), P(12, 12), PT (12)
      COMMONIZERZOP, PS (4)
      REAL VC*(400)
      REAL VCP (400,7)
      REAL S(400)
      REAL VCR(400)
      REAL R(40)
             (= lesteur de (antes)
      LFC=7
      REALICLEC. 202) INP (= 1mpunouit)
  202 FORMAT(12)
      REAU (1 EC. 202) NP
      READ (LFC, 292) NVAP
      READ (LEC. 202) PAMAX
      RI AD (( CC, 202) LC
      RI'AD (LCC, 200) ('.S([), I=1, '0)
  200 FOR 14T(4[3)
      READ (LEC. 203) PAS
  203 FORMAT (FB. 5)
      NO = 0
      00 15 Iml.bp
   15 NO=NO+('IS(1)+7)
      READ (LEC, 201) ((VCP(1, J), J=1,7), [=1,80)
      READ (LEC, 201) (VCR(I), I=1,(-1)
  201 FOR"AT (7F10.5)
      READ (LEC. 204) COF
  204 FORMAT (F9.5)
      PPAS=PAS+24.
      WEITE (IMP. 100) NVAP
  100 FORMAT(2x, 284STATISTIQUES POUR LA VAPFUR , 12,64 BARS:,/)
 GENERATION DES ALEAS
      WRITE (IPP, 102)
  102 FORMAT (3X, 14HLES ALEAS SOUT)
      NO1=0
      00 1# TP=1,1P
      NO2=(4S(IP) +7)+401
      NO1=N01+1
      SOM, 104=1 1 00
      IF (VCR(I))16,6,16
   16 K=I
      L = 1
    4 IF(VCP(K,L)) 3,2,3
    2 IF (K.ED. NO1) GO TO 6
      K = K - 1
      IF(1.F9.7) 60 TO 6
      L=L+1
      GO TO 4
    6 S(I)=0.
      VCA(1)=0.5
      so to 1
    3 S(I)=1.
      VCA(I)=VCP(K,L)*COF-VCR(I)
    1 CONTINUE
      WRITE(IPP, 1)1) IP
  111 FORMA1 (//, 27, 7HPER 100E, 12)
      WRITE(IMP, 103) (YEA(I), J=W01, NO2)
  103 FORMAT (7 (54,F12.5))
      NO1=302
   18 CONTINUE
C STATISTICUES FLEMENTAIRES
      CALL TAILY (VCA, S, TOTAL, AVER, SD, VPTH, VMAX, NO, 1)
      WPITE (I'P, 161) AVEE, Sn, Val 1, VALX
  101 FORMAT(//,5x,em-dyf Par =, F14.7, /,5x, 110FCAR1-Type=, E14.7, /,5x, 80M1 [1002-,1]
     -1000 = , E14.7.7.5x, PP"AY [* 00"=, F14.7.7]
C DESCRIPTION OF POSSES OF CLASSES
      X = V''A X = A V F R
      YEAVEL-VIII
```

c

```
BA1=101((Y-PA5*12.)/PPAS)+1
       NA2=16T((X-PAS+12.)/PPAS)+1
       NA=FA1+NA2+1
       VDEP=AVFR-(PAS*12.)-(FLPAT(MA1)*PAS*24.)
       VFIN=AVER+(PAS*12.)+(FIGAT(NAP)*PAS*24.)
       WRITE (IMP, 104) PA, PPAS, VOL. VEIN
  104 FORMAT(//, 27, 17, 24H IPTERVALLES OF LUNGUEUR, FG. 1, 20H COMMENCANT A L'ALEA, F
     -L'ALEA, F10.3, 1), 184F1415SA4T A L'ALEA, F10.33
       If (MA-GT-NAMAX) GO TO 10
C REPARTITION DAMS LES CLASSES
C CALCUL DES PROBABILITES COUDITIONSELLES
       CALL TEREGIVEA, S)
       WRITE(IMP, 105)
   105 FORMAT (///. 24, 21HTARLEAU DE FREUUF DEI S./)
       AU,1=L 05 0G
   20 MR11F(JPP, 110) (JFRFO(1, J), (=1, EA)
   110 FORMAT (6X, 1214)
       WRITE (IMP, 107)
   107 FORMAT(///, PX, WHITABLEAD DE PODECEUTAGES DE FREDUENCE, /)
      DO 21 J=1, NA
    21 NPITE (1MP, 10A) (P(1, J), 1=1, 5A)
   106 FORMAT (6X, 12E10.3)
       WPITE (IPP, 112)
  112 FORMAT (///, 2x, 21HQFPARTITION DES ALEAS)
       CTR=VFIN+(PAS*12.)
       DO 8 I=1.NA
       CTR=CTR-PPAS
       IF (MAC1(I).Eq.0) GO TO 12
       FRITE(IPP. 10A) L.CTR. MAC1(I)
   108 FORMAT(/,5x,/HCLASSE ,12,3x,11HCENTREE EN ,F13.6,4x,13.9H ELEMENTS)
     -)
       WRITE(IPP, 109)(STAT1(J, 1), J=1, 3)
   109 FORMATICAX, CHITOTAL , F13.6,2x, APPROYFMIE , E13.6,2x, 11HFCART-TYPE , E13.6)
      -.61
       60 10 8
    12 WRITE (IPP, 113) 1
   113 FORMAT(0X,28HPAS D'ELEMENT DANS LA CLASSE,12)
     8 CONTINUE
       WRITE (IMP, 115)
   115 FORMAT(///, 2x, 22HPPOHABILITES INITIALES,/)
       WRITE(IPP, 106)(PI(I), I=1, MA)
       co to 7
   14 WRITE ([ P, 114)
   114 FORMAT (//, 2x, 23HTROP DE NIVEAUX D'ALEAS, /)
C CAL CIL DES AUTOCORRELATIOUS
     7 DO 9 J=1,LC
       R(J)=0.
       N64=0
       NO1=0
       DO 19 IP=1, HP
       NO2=NO1+(HS(IP)+7)-I+1
       NO1=NO1+1
       DO 10 J=NO1, NO2
       IF(S(J))11,10,11
    11 JJ=1+J-1
       IF(S(JJ))13,16,13
    13 R(I)=R(I)+((VCA(J)-AVER)+(VCA(JJ)-AVER))
       Nt1=11*2+1
    10 CONTINUE
      001=002+1-1
    19 CONTINUE
      R(I)=9(I)/9P
    9 CONTINUE
       MPITE (1"P, 114)
  116 FORMAT (///, 2x, 16HAULDCORRELATIONS)
      DO 17 J=2.10
       C=R(J)/E(1)
       J.I = J - 1
```

```
LEC 10: (lesteur de saites)
             (umprimante)
    Nothing T
    NX TELECTION THE
    00.2 1:1545
    X=X+0X
    YEAR GREYN
    TS=RR
    DO 3 KHONNAD
    Y=Y:(FAS
    YP=YZSD
    CALL EMPRESPICYCLE)
    $550 B
  3 CONTINUE
    DO 5 No LANO
    DO A LIVINY
    CALL ENTREGISTE-MESTRE REGISTO
10 A TORRACTO / YAZEAR REPORTED TOS COMBUTIONNELL 1 S.
    WESTER COMPANDED GUICLE DO AK-INAMAN
    Calle
```

# Descritionation d'une la de probabilité toudironale de deursit 4 (x/2) 46xy ) jaminane de majeune ne + q(y-m) d'ésait type o'

donnes NA wantre d'intervalle de du viltication

PAS anythitude d'un intervalle

AMENA boine influeire de la plage de disvidisation

Av parametre m

b parametre of

50 paramètre d' Dx par de discriteration a l'intérieur d'une dasse

#### dorties

V Jahlau NAVITA du probabilito tividificum dlu
 V(I,T): probabilité (re untomalle I (y e intervolle J)

### Variables inheren

NX usulis de pours X de descritionem de chaque intervalle NX. DX = PAS

T reconcine succentrement pour chaque intervale I, les probabilités T(I,X)

T(J,K) probabilité (xe un'evralle J | y = Kº pseut de disordisalism de l'intervalle I)

TT whenever form is unfair intensity I it suitasin muses form days dans dates. The T(T,K) distribut fourth is discultished (dissumments)

ANINA		intervalle 1	K w	ewalle	I .	rutewal	le NA
DX	Aura-(1-6).nr		Y AME	AMSA AA - (5-8	A-(±8)•AV+K-PAS ()•AV+KPAS – B•	X ( normalinalism)	> YP.Y/s>

### Asua po gramme affelio

- INTAB (V, N, XX, R, KOD) A rus programme de la liberthique (II que
  calule l'interpole Réune forction défence par les valous (tableur Y) on N fourt
  orface oc XX (KaB : comple rusan d'ochange: mul ti l'interpolition est notionale,
  nant 1 si d y a corrure)

# ANNEXE III

Optimisation statique des chaudières

### OPTIMISATION STATIQUE DES CHAUDIÈRES

### 1. Rendements constants:

	Type I	Type IL	Type III
P(T/h)	50	120	200
PCI	9750	9750	7,580
Pc (Francs)	815	8 15	0,576
a <sub>e</sub>	410	275,09	104,125
%	6,046.05	0,01647	0,04859

Tableau 1

Ceci sinduid l'ordre des 4 décroiseant lyre II type II type II Pour que l'algorithme de repaidition optimale soit tramparent à est outre, nous l'avons fait prévides d'un sans programme de dissensent appelé RANFO

RANGO (A,RG) classe les déments de la matrie A par ordre déventant RG(I)- midule dans la matrice A de l'illement classe en partien I.

# REOPTB(:,D,IK,X) som - programme de responsition optimale

### Argumento en entreé:

I. configuration des chandretes

D = demande à fourier ( toures /heure!

### Arguments on sortie;

IK = type dels) chaudière(s) me fondronnent pos en bible

X = tableau des reigines at optimaux.

# Autie dounds (partie ar som programme à l'oude de connon)

Uhlie's for a programme d'optimisation agramique, eller sout divides dans l'annois T.

```
Variables intermedianus

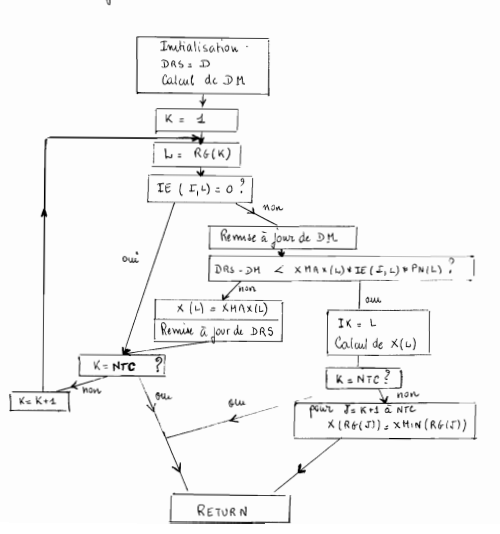
Das: domande septente longuion a charge um entem nombre de chaudeuro

DH: olemande minemale compabilée ana les capantes manumales des chaudeuro

mon emere charges

Institutionion -

DAs: D
```



```
SUBROUTINE PEOPIS(I.D. [K.X)
 COMMON/E 2/XMIM(3), XMAX(3), PM(3), RD(3), NR(3)
 COMMON/F3/JF(17,3),MTC
 REAL X(3)
 DRS=D
 DM=0.
 DO 1 K=1,M1C
  X(K)=0.
 DM=DM+XMIN(K) *FLOAT(JF(I,K)) *PN(K)
1 CONTINUE
 DO 2 K=1,4TC
 LENR(K)
  IF (TF(I,L))3,2,3
3 DM=DM-XMID(L)*FLDAT(JE(I,L))*PN(L)
  IF (DRS-DM.LT.XMAX(L) *FLOAT(TE(1,L)) *PN(L)) GO TO 5
  X (I ) = XMAX (I )
 DPS=DRS-X(L)*FLOAT(IE(I,L))*PN(L)
S CONTINUE
 GO TO 4
5 X(L)=(DRS-DM)/(FLOAT([E(I,L))*PN(L))
  IF (K-MTC)6,4,6
6 KY=K+1
 DO 7 J=KK, NTC
 L=MR(J)
  IF (IE (1,11)9,7,8
8 X(L)=YMIN(L)
7 CONTINUE
4 RETURN
  END
  SURROUTINE PANGD (A, RG)
  REAL A(3)
  INTEGER RG(3)
  DO 1 1=1,3
 N = 0
  Dn 2 J=1,3
  IF (A(I)-4(J)) 7,3,2
3 N=N+1
S CONTINUE
  RG(N)=I
1 CONTINUE
  RETURN
  END
```

	J'(n) /P	J'(*) / B	J'(x)/P
Regime	TYPE E	туре ш	ТУРЕ Ш
0,4	61,684	60,088	53,628
0,5	61,796	60,076	54,050
0,6	62,409	60,252	54,507
0,7	62,617	60,622	55,055
0.8	63,331	64, 176	55,696
0,9	64,265	61,927	56,429
1	65,405	62,882	57,264

Tahleau 2.

æ	0,4	0,45	0,46	0,46 1
J" (2)	- 128,80	- 44,67	8,08	>0

Takkeau 3.

STADPT (EC, D, XV) Ans - programme de reportiren Optimale over rensonnens baraboliques. methode de ouverification locale (se reforter au chapite II § 1.4-a) Argumonio en sutili

Ic: configuration de chauderes D: demande hoaire

Arguneuts en volté:

«v = tableau du aixines Optimaure

au our du découlairent du programme, xv sert à intérvoise les (xe) le organiser du

minimum de Si Ji(x) +(1e) ( Sixi - D) + 1 x Sixi (x: - vie) 2

Autrus données transmises au jour programme par contron

XHIN, XMAX, PN, RD, NTC, IE of ducuption annexe I A , B, C, AE , BE , 1c, CC, PE

COF: Mableau du coefficients de convocification (a)

RHO: fix de gradient four l'exolution du parconomie deal?

EPS1, E1:53 puils de convergence

Variables internet diaires

SK: parametre dual A arrow à le contrainte I Piri = Di

XX . talleau des (nº) la solutiones de 9x (vb)

yn : tableau des, (vi) b SOM : I Pi (of)

AN = mémorise temporariement A(I) B(I)

8N CN -

AE(I) AEN: " 8E(I) REN : "

CLIE \* PCLIP CCN = COHIVIN (I) COFN =

PE/PI(I) PEN : YK ("I") XN :

som pro gramma appelles, · RECETS (IC, D, EK, XK) four initialize (k=0) XK of SK.

I: 1, ..., NTC

· RTHI . X, F, FCT, XLI, XRI, EPS, IEND, IER) tou programme de la litherheque revolvant l'equation mon liméaire FCT(X)=0 par la méthode d'itération de

de Hiller X on est la navue dans l'intervalle [XLE, XRE]. EPS est le bolivanie sur X et IEND le mondre d'ishialion autouse. IER connecte rende vant O hi fan d'eveux, a hi franch commagnere, 2 hi FCT(XLI). FCT(XRI) N'est par migalif on mul

### Foundrow appelete

- . R(x) calcul du rendement x(x)= a ze+bz rc d'une chandiere
- . CAE(x) calcul de la consommation auxiliaire electrique (ae) = 460) d'eme chaude
- . DER(x) calcul de la dévise de x
- DERP(x) colout de la dhive de \$ (Ji(zi) + \lizi + f a(zi-vi)2) four une

```
FORECULTIFE DEVICE EXTENSIVE CORD.
      10 . 10 T1, 4(3) (4(3), E(3), AE(3), BE(3), PC(3), CC(3), CC(3), COF(3)
      COLUMN ELLYCHRONICS LIKERSZIEPSZ
      211, 2117, 000-3 (FAX(3) (PN(3) (RD(3) (NR(3)
      created day to difficulty the
      CONDIGHT CONSERVACION CONTRACTOR PROPERTY AND
      REAL XK(T)
      REAL YE CO
       1181-8
                   ( Imprimante)
   IN CIT. D. LA SOLUTION A RENDEMENTS CONSTANTS
      CALL REOF TO CICADA DICANN
       WRITE (THP: 400) XK
  AND FORMAT (// 2X+18HSOLUTION INITIALE: 3(1X+E11.4))
C PARTICIPATION DES CONDITIONS NECESSAIRES DE HINIMUM LOCAL
      MI-ALDO
      BUL-BOOK)
      SK = (EC (IIO #PC (IIO #BER OK (IK))) (PEMAE (IK)/PN (IK))
      DO 13 K-LINTE
      IF (IE (IC, K) .EU. 0. OR . K. EQ. IK) 60 TO 13
      Att=A(K)
      BN =B (K)
      CM=C(K)
      F - (CC (K) *PC (K) KDER (XK (K) ) ) +SK + (PEWAE (K) /PN (K) )
      XF(F.GE.O..AND.XK(K).EQ.XMIN(K)) GO TO 13
      IF (F.LE.O.-AND.XK(K) .EQ.XMAX(K)) GD TD 13
      CO TO 17
   13 CONTINUE
      COUT=0.
      PO 14 K-1+NTC
      XV (K) »XK (K)
      AN=A(K)
      BH-B GO
      CH-C(K)
      ACHEAE (IO)
      PER-BE GO
      COUT - COUT+ ( CCL do aPC GO 42U do APN JO 4FLOAT (IE (IC+K)))/R (XV(K)))+(PE
      W'AF (XV (K) ) WFLOAT ( (E (1C+KJ ) )
   1.4 CESSERBUE
```

```
LUTTON DUALE DU PROBLEME CONVEXTI LE ASSULLE A YM
CALL RIMI COS ( BERPATHING) and Line PS2-50, IFM
SOME SOME CAVITY APPRICED FEBRUARY
COUT=COUT+((CC())*PC();*ZU();*ZU();*TE()*FLOAT(LE(LC*1)))/R(XV(I)))+(PE*CAE(X*
TF (ABS (SDN-D) /D.LT.LFS 37 EU 10 10
IF (ABS OW (I) -YK () LISBAGE * I.
```

CHEMINION E.C. CHEMIN TO LINE THERESE CHEM ETURN TO	6 894-C2		
-			 
FUNCTION DEF COMMON/C1/AN DNUM=CN- (ANN DDEN=R (X) **2 DER=DNUM/DDE RETURN FND	I+BN+CN X*X)		
COMMON/C3/AE	I,BN,CN (,CCN,COFN,PEN,XN	KN))+PEN*AEN	

FUNCTION CAE CX)
COMION/C3/AEN+BEN
CAE=AEN\*X+BEN
RETURN
END

END

### ANNEXE IV

Optimisation statique des Turboalternateurs

# OPTIMISATION STATIGUE DES TURBOALTERNATEURS

Avec les données advelles la Ri- Ps défine chique II § 2,2 ont les valeurs

	TURBO I	II OBBUT	TURBO III	TURBO 🎞
]; (MW)	6,5	٤,5	6,5	9
a	54,4	58	58, 4	77
R,	0,4195	0,1121	0,4113	0,4169

le que endunt d'ordre vroissant suncond: Tarbo II, Tarbo II, Tarbo II, Tarbo II., Tarbo II., tarbo II., tarbo II., tarbo II., tarbo III., tarbo III.,

RANGE (A, NR): there has thements do be instruce A par ordre contraint

NR(I) = maker dam to materia A de l'itement claire que position I

REOPTA (I, D, GE, XT). Acus programme de répartition optimale

### Arguments on enter

- D. demande horave en vojeur o taro
- I : losfiguration des turbralternoteurs

# Argument on sortie:

- Gi: quantite d'eledrate tentine
- XT: lableau des reigimos resplemente

### Auto données:

Emmunes a se sera programme et au programme et optimisation dynamegue, ellus sout espherbes dans l'envere f V

CE SOUT: NIA, SET, XHIN, XHAX, PNT, RDT, AT, BT.

```
\begin{array}{c} \text{DRS}_{\perp} \left\{ D - \sum_{k=1}^{N(k)} \mathbb{E} \mathbb{E} \{ \mathbf{I}_{j} \mathbf{k} \} \in \mathbb{R} \{ \mathbf{k} \} \right\} = \frac{1}{2\lambda} \times \mathbb{E} \{ \mathbf{k} \} \times \mathbb{E} \{ \mathbf{k} \} \\ \mathbb{D} \mathbf{H} = \sum_{k=1}^{N(k)} \left\{ \mathbb{E} \{ \mathbf{I}_{j} \mathbf{k} \} \right\} \times \mathbb{E} \{ \mathbf{k} \} \right\} \times \mathbb{E} \{ \mathbf{k} \} \end{array}
```

L'ordinogramme ilant assez semblable à aleu de Reorra, mous mous contentor de donner la listing

```
SUBROUTINE REOPTA (I, D, QE, XT)
  COMMON/E2/201N(4);XMAX(4);PNT(4);RBT(4);NR(4);AT(4);DT(4)
  COMMON/E3/1ET (15,4), NTA
  REAL XT(4)
  QE=0.
  DRS=D
  DM=0.
  DO 1 K=1 NTA
  XT(K)=0.
  DRS-BRS-BT (K) *FLOAT (1ET (I*K))
  DM=DM+XMIN(K)*FLDAT(IET(I,K))*AT(K)
1 CONTINUE
  DO 2 K=1,NTA
  L=NR (IO
  IF (TET (I+L)) 3,2,3
3 DM=DM-XMIN(L) #AT(L)
  IF (DRS-DM.LT.AT(L) *XMAX(L)) GO TO 5
  XT (L) = XMAX (L)
  QE=QE+XT(L)*PNT(L)
  DRS=DRS-XT(L) *AT(L)
2 CONTINUE
  GO TO 4
5 XT(L) = (DRS-DM)/AT(L)
  QE=QE+XT (L) *PNT (L)
  IF (K-NTA) 6,4,6
6 KK=K+1
  DO 7 J≔KK,NTA
  L=NR(J)
  IF (IET (I,L)) 8,7,8
8 XT(L)=XMIN(L)
  QE=QE+XT(L)*FNT(L)
7 CONTINUE
```

SUBROUTINE RANGC (A,NR)
REAL A(4)
INTEGER NR(4)
DO 2 I=1,4
N=0
DO 3 J=1,4
IF (A(I)-f(J))4,4,3
4 N=N+1

3 CONTINUE NR (N):-J 2 CONTINUE RETURN

4 RETURN END

### ANNEXE V

Optimisation dynamique

it distiller orrens men, peur duaque voucht it is programme meus privarme non eque dynamingur - tunbehbrand (2002 n.m. tun tun thindlan ann by an meus waturten the programme of sprimmortion dynamique chamberin (0712M3) of d'ophimiculton

Johnson der Rigimin manma de fonchouncement אמלעמע עון עיקינוענו מתנותומים עו לפתיונים עותינותעעו לאלונות (לממחושבות מודר) לנו נהלה לה כל המודסקבר (מד לאלונות (להימושבות מודה) לנו ניהלה לו הנואה המוקבר (מו למימו ונו בסקמור בסילמו) לפללים ו (מנושמונים עדי ל) לנג מות מנית והימומים לנו די אפללים לנושמונים מיו) מנו מיומים עו מחשמונים ארוואס מון לביותים מון לביותים און לביותים מון לביותים מון ארוואס DE Jobben du dementeur n't des demounies province pour deaque jeur de ulte provode 1 - nowbut ou four de la périsou d'ophimialien (n=7) IAO alka wiliak la olkini: 1(1,7) - peolodi the ( olkia tri c dosse I | olkia t e dosse T) Tubblish of A du problèble of frameting de la chain in Abrilia under למוצקנות כל נושב ולמאנ כל נבו מלבים ומי ליוועו / נושבן ANARA torne superusus du la plage de cu acteur (en tourus lyeur.) אוצוא ש ישור ואלמתחות או לם בליקה לו כנו שלנה (מו למושו / נפור) אים אים הבו מו מונים מו מוליבור ( מו לים ווא וליבור) to configuration mumbrate I ( J.1, , NIC) 10 5 levels J steent I restring to the distribution of type I afterware down I = (1,1) .) L Limbo I afterware class to the configuration of deinte for te tattom (NEFXNIA) IET drivutes far its tableau (NiFrNTC) IE מרד מה מילע של ניטול בקור בעל בעל בל בעל בל בעל בונים ומוד ומון אורד מובי בישול בעל בעל בעל בעל בעל בישול בי לפשר אדנד לאתלהטינאתות טוו (מדנד (אדנד-2) (++ 4-14) washoodbooded de was ATM NTC wowline its ligher its illuminers (NTC = 3) CPITHA Derwitz wet up wilater sydrem volum tonguid munt, down OFTHA

tablean des li J Minthous Site;) = a; xi : b; (w T/h)

tablian des is! I dam l'espession de le quantité de repen

(טלנטה ילנו כ, ) (מנומינותוכת מדכ) Tablan alu b. | X((12) : 0; x2+b; x; +c,

talkinu du a, | dans l'estrusson du tendement

(dim. N To Librar districts mayber (dim. N To)

01.1113	
AE tablian des (ac), ) dans l'a	represent de la consormation aurilians électrique
Bi tobleau du 1021, J (Cae)	((1,): (a,); 1; + (b,) ( unt Kwh)
CF. AHV four be fact	site : différence d'enthelpre unitaire entre la vafer so bars produite et l'éau clementaire
(6 = AHV four legiz (m3/round)	) RCI. pourver calorifique inféreur du combintélle
Aboutes (tous mights	OPTIMA
PF prix du fuel (en Prana/toure)	
PG pur du gaz (en Franco/m3)	
PV6 prune de la toure de vafeux 6 barre(en France)	Prés prin de la tonne de vajeur és berulan Frances)
PD frue unitare de affaillance (en France)	PDT prince muntava de défailleme (ou France)
PE pure du Kwh ekduigue	
	OF cofficent multiplicately four by frinkens
du coût optimed de production four les et de l'aléa I le jour T  Por (I,J,T) (respectionneur Port(I,J,T) à prindre pour le gour T+1, partier de VO (respectionneur vTO) deflicie de du Aur I houjen du NT gours, selou le conf.	mension NCF: cipéranu su coût optimol de produit guration de defaut et avec l'aléa enithal IAO dumonisca NCF: décesson optimoule à frendre pour
Varabler carabistique calcules	
OPTIMB	OPTOMA
RD Talkeau (aum n 75) du Pendement apporent " NR Libliau ju elektrusur du type de chaudiè es par orang di rocinant du RD	RDT tableau (dim. NTA) des PNT/AT NR hableau di dichtement des liebes for ordrec violnant des RDT
PC Iubliau (dim. NTC) du pres de l'évage utilisée par haque type de chaudrières CC tablesu (dim. NTC) des <u>AHV</u> pour draque lépe de chau deries	

RД NR PC СС

CHIN tablesur (dim.NC) discapaisto marinales journalisto de production des configuration

ED [7,7,7] (emperiorment EP [7,7]) dans OFTHA) Call Socked de défaillance large
la domande de join Tot entrollès de l'alia T et que la configuration de production et I
ET (7,7,7) civit le production analitant de la CET (7,7,7) i (c CET (7,7,7)) et de gam noullem Nigorition offencle de la thomasse de gou T entrollès de l'autopodeution auscinacle pour seus description de de l'alia Torre la dambaix de la configuration I pour T course d'écla 2 et pour la configuration II XV (respectionement XT) métiense la réferable on optionale chaque frir qu'en fair l'ophissonalité à statique, follaine de domanaire NTC (expectionement NTA)

### Lous - peogrammes affelis:

· CANDI ( IT, NC, COUT)

brance to june (17-5) or the irr time configuration 7 pear to the determine it explained the tendential sear theory and [17, 187] is obscupe an etain 2 may partie religious. It could not the court of the cour

ce la configuration 7)

C'est priviennat cite patie qui est catanté et stocké dans cort 7) (tablian cort de diment
NC) les probabilités conditionnelles à l'aléa du jan (27-4) rost hamonios en connon
par l't (saltem de démanger NA). Sont également passes en connon de reconna d'
couls de production (game en deskicht ausproduide pour optima)

### · CAND2 ( I, NC, COUT, IR, VR)

This poor the cort TI TALLING & LOW programme their the millione configuration. If from be tendenced (coll optimet VP) it out out date to configuration I the incident to commission the collision and control the incident to commission the collision that the commission of collisions.

## Fondious affelies par OPTEMB:

- · R(X) (cf stroop) four calable be coiled um républicon optimale
- oneix)

# Remarques conversant la programmation

Let configuration  $\Gamma \in \{\epsilon_1, \dots, Ne\}$  soot dispose for order detrains the fact that of the solin fact for the character in for the current day to configuration  $\Gamma$ ,  $\forall \Gamma' \geqslant \Gamma$ ,  $\Gamma'$  in form refracte an demander correspondent. For the configuration  $\Gamma$ ,  $\forall \Gamma' \geqslant \Gamma_i \Gamma_i$  because  $\Gamma$  is also described for the correspondent  $\Gamma$ .

\_ la  $CPG_{\tau}^{\tau}, T$ ) (expedienceme CET(z, T, T)) course que la CD(z, T, T)(tapeixeme CPT(z, T, T)) boil colorly, up frontiquement for Local  $(z, T, T) \in \{d_{\tau}, -\kappa c\} \times \{v_{\tau}, -\kappa n\} \times \{d_{\tau}, -\kappa n\} \in \mathcal{U}_{\sigma}$  be for their stores.

is flurens effects has at a botale atten are so foretain terbair.

Nasa raffelow à cite occasion, que ets coits er consepandent for à la demande
mogneme correspondant à l'aboit enclana dans la classe I rusies sont la mogneme du
contra cusoiés aux demandes consepandant referensent à la brux inférieur et à la
hour respriseur et l'alor class a I.

\_ la valeur so est symbolisée fai 5 209

## Comment estiliser les laftes de décision:

John toward the DEPOSITION 271 \* 121 > 621 \* 231 / 111 / 200 \* 011 \* 201 \* 120 4404. \* 151 \* 111 \* 111 \* 111 \* 111 \* 111 \* 111 \* 111 \* 111 \* 111 \* 111 \* 111 \* 110 ARRA, N 111 N 111 N 21 N 111 N 5344. \* 15 \* 11 \* 11 \* 12 + 13 \* 13 \* 11 \* 11 \* 11 \* 11 \* 15 5844. \* 1507711.0\* 1597711.0\* 1597711.0\* 150741.0\* 150741.0\* 1507491.0\* 1597711.0\* 1602601.0\* 160260 5044, # 111 # 111 # 21 # 111 # 111 # 111 # 111 # 111 # 111 # 111 # 111 # 111 # 111 # 111 # 1224, # 1649610,0# 6004 x 111 x 7204. \* 111 \* 111 \* 21 \* 111 \* 111 \* 111 \* 111 \* 111 \* 111 \* 111 \* 111 7774. \* 1930797.0\* 1930510.0\* 1935647.0\* 1930517.0\* 1935610.0\* 1935647.0\* 1940537.0\* 7744. \* 111 \* 111 \* 21 \* 121 \* 121 \* 111 \* 111 \* 111 \* 111 \* 111 \* 111 # 11 # 11 # 1 # 11 # 1 # 11 # 1 # 11 # 1 # 11 # 1 # 11 # 1 # 1 # 1 # 1 # 1 # 1 # 1 # 1 # 1 # 1 # 1 # 1 # 1 9244, # 121 # 12: \* \* 121 4 24 \* 111 # 121 ''Seatt.5' 1920125.0# 1920967.0# 19206

Execute: le jour 2, la domande related est 6200 toure et sont est état de marche la chandière II et II. Alors on avec à alterner le leudeman la dealete I et le chandair I et l'explane du cour optimal pour le rech de l'oprison (pour 327) est a 6747487.

```
COMPRISE JCP (17, 12,7), CD (17, 12,7), V (17, 11,7)
                                                                      EMITTO
      COMPOS/F2/XMTL(3), XMAX(3), PV(3), RP(4), NR(3)
      COMMOD/F3/IL(17,4),4TC
      COMPOSITATEA(3), PF
      COMPOSES/PT(11), 9A
      COUMON/CI/AN, BH, FN
      COMMONITE STAFFINE N
      REAL A(3)
      REAL B(3)
      RLAL C(3)
      REAL PC(3)
      REAL CC(3)
      REAL AE(3)
      REAL BU (3)
      REAL DP(7)
      INTEGER POL(17,11,6)
      REAL CALUCATO
      REAL CHAY(17)
      REAL P(11,11)
      REAL RDS (3)
      REAL XV(3)
      REAL COUT(17)
      REAL VF (17)
      INTESER POLD(17)
      REAL VO(1/)
      INTEGER NUM(17)
               ( leter de cartes )
      LFC=7
               ( imprimente )
      IPP=8
C LECTURE DES DONNEFS
      NCF=17
      NTC=3
      NT=7
      READ (LEC, 106) No
  106 FORMAT(I2)
      READ (LEC. 106) IAO
      READ(LEC, 100) (DP(1), T=1, MT)
  100 FORMAT (7E10.5)
      READ(LEC, 100) VF
      READ (LEC, 191) ((IF(I, J), J=1, TC), [=1, NCF)
  101 FORMAT (311)
      DO 8 J=1,NA
    8 READ(LEC, 103) (P([, J), I=1, "A)
  103 FORMAT (11F5.3)
      READ (LEC, 102) PN, XMIH, XMAX
  102 FORMAT (3EA.3)
      READ (LEC, 102) CA
      READ (LEC, 105) AMINA, AMAXA, DD
  105 FOR"AT (FS.2)
      READ (LEC, 107) PF, PF, PS, PV6, CF, CG
  107 FORMAT (F10.5)
      READ (LEC, 107) PO
      READ (LEC. 111) RDM
  111 FORMAT (3E9.4)
      READ (LEC, 111) A,R,C
      READ(LEC, 112) AF, BF
  112 FGP"AT (3F11.6)
      NT1=91+1
      NT2=91-1
      NAP=SA+1
C CALCUI DE CIRIAINS PARAMETRES DE EGRÉTIONNEMENT
      DD 500 1=1,0TCF
      PC(I)=PF+(0.095+P96)
  300 COSTINUE
      IF (DICE.FO.MIC) GO TO 401
      NTC6=910F+1
```

```
DH 302 ISBN 6,510
  302 CONTINUE
  301 DO 503 J=1,670
      RF=((CC(1)*PC(1))/RDM(1))+((AL(1)*PL)/PM(1))
      RD(I)=1./88
  303 CONTINUE
      CALL RAMGO (PD, NR)
G CALCIN DES CAPACITES JOHNKAI IFRES MIN ET MAX DE PRODUCTION
      DO A I=1, HCF
      CHINCIDEO.
      C! AX(I)=0.
      DO 5 K=1, NIE
      CHIN())=CHIH())+IE(1,K)*PI-(K)*XHIH(K)*84.
      C"AX(1)=C"AX(1)+IE(1,K)+P"(K)+X"AY(Y)+P4.
    5 CONTINUE
C INITIAL ISATION
      DO 6 J=1, NA
      DO 6 K=1,01
    6 V(I,J,K)=0.
      DO 7 K=1,7772
    7 POL (I.J.K)=0
      V(I, J, NT) = VF(1)
    4 CONTINUE
      00 1 I=1, MCF
      00 1 J=1, NAP
      DO 1 K=1, NT
      Ch(1, J, k) =0.
    1 CONTINUE
C CALCUL DES COUTS DE PRODUCTIONS
      CAT SUMMERS CONTRACTOR
      DO 10 IT=1, NT
      DR=DP(IT)-AMAXA-DD
      DO 11 N=1,NAP
      D8=D9+DD
      DO 13 I=1.NCF
      IF (DR-CMIN(I))14,14,15
   14 DO 16 K=1,01C
   16 XV(K)=XN[N(K)
      60 TO 17
   15 IF (DR-CHAX(I))19,18,16
   19 DRM=DR/24.
      CALL REOPTR(I,DRM, IK, XV)
   17 DO 27 K=1, NTC
       AN=A(K)
      BM=0(K)
      CH=C(K)
      AEN=AF(K)
      BENERE (K)
      CP(1, H, IT) = CP(I, H, II) + ((CC(F) * PC(K) * XV(K) * PH(K) / R(XV(K))) + (PE * CAE(
     -XV(K))))*FLPAT(IE(I,K))
   27 CONTINUE
      CP(1,0,1T)=CP(1,0,JT)+24.
   13 CONTINUE
      60 TO 11
   18 DO 20 JET. DCF
      00 28 F=1, F1C
      Atta (F)
      RHER(K)
      C \approx = C (\times)
      ACUSAL(K)
      BUREAU (F)
      CP(J, !', 11)=CP(J, !!, 11)+(fCC(*)*PC(*)*X***X(!)*P*(K)/4(X**AX(K)))*(PE*CAE(
     -CAF(X"AX(K))))*FENAT(IF(J, K))
   28 CONTINUE
```

```
CP(J,U,))=CP(J,U,)T)*24.
      CD(J,L,)T)=(DE-CHAX(J))*PD
   SO CONTINUE
   11 CONTINUE
      00 2 I=1.ECF
      DO 2 #=1.9A
      NUMBER OF STREET
      CP(1,0,11)=(CP(1,0,11)+CP(1,40,11))/2.
      CD(1, H, TT)=(CD(1, 4, T))+CD(1, NH, II))/2.
    5 CORT INDE
   10 CONTINUE
C OPTIMISATION DYNAMIDHE
      DO 21 T1=1,0T2
      ITIENT-IT
      WRITE (100,401) IT1,00 (IT1)
  401 FORMAT (////, 3x, 44.1008, 12, 2x, 1400F0A-0.F P-FV01, 2x, FA, 01
      112=111+1
      AN, 1=# 55 00
      DO 23 L=1.74
   23 PT(L)=P(L,II)
      CALL CAMDI (TTP, MCF, COUT)
      DO 24 I=1,00F
      CALL CANDS(1, NCF, COUT, IR, VR)
      POL (1, N, 111) = 1P
   24 CONTINUE
   SS CONTINUE
C IMPRESSION DES TABLES DE DECISION
       I1=1
       12=9
   32 WRITE(I*P,402)((IE(I,J),J=1,NTC),I=I1,I2)
  402 FORMAT(///, 2x, AHDF "ANDE ., 9(3x, 311, 4x, 1H*))
      D2=OP(IT1)-AMAXA
      DO 30 N=1, NA
      01=02
      0.2=0.1+0.0
       00 31 1=11,12
       [1=POL(1,0,1T1)
      NUM(I)=100*IF(I1,1)+10*IE(II,2)+IF(II,3)
   31 CONTINUE
       WRITE(IMP.403) D1.(NUM(1).I=[1.I2)
  403 FORMAT (//, 2x, F6.0, 2) ., 0(74, [3,0x, 14+))
      (SI, 11=1, (111, 11, 11, 1) V), SR (404, 404) 3TIRM
  404 FORMAT (2x, Fh. 4, 2H 4, 9(F10.1, 1H*))
   30 CONTINUE
       IF (I2.ED.NCF) GO TO 21
       11=12+1
       I2=NCF
      GO TO 32
   SI CONTINUE
C ELABORATION OF LA DECISION INITIALE
      00 25 L=1,44
   25 PT(L)=P(L, IAO)
      CALL CAMPI(1, MCF, COURT)
      WRITE (1PP. 105) TAU
  405 FOR"AT(////.2Y, 40PL ALFA DE LA VETILE ETALT DAMS LA CLASSE, 13, 2X, 4
     -SHLES OFCISIONS A PREMOTE LE PREMIER JOUR SONT:)
      CALL CAMOS(1, GCF, COUT, 10, VR)
      V(((1)=VP
      POLC(1)=1R
      MR[1f(1:P, 406)(1E(1,K),K=1,"TC),(1f([P,K),K=1, VTC),VR
  406 FORMAT(/, 2x, 200COMMISHMENTION DE DEPART , 311, 19:, 5x, 311, 50 COUT, F12.11
   Se CONTINUE
      $100
```

```
SUMPOUTTHE CAPPI(II, MC, COUI)
  COMPONETT/CP(17,12,7),CP(17,12,7),V(17,11,7)
  COMMONVESZET (111), MA
  REAL COULCITY
  00 1 J=1,8C
  COUT(J)=9.
  DO 2 M=1, MA
  1F(P1(E))3,2,3
3 COUT(J)=COUT(J)+(PT(P)+(V(J,4,1T)+CP(J,M,1T)+CD(J,M,1T)))
2 CONTINUE
1 CONTINUE
  RETURN
  END
  SUBROUTING CAMPA(I, MC, COUI, 12, VP)
  COMMONATES/IL (17, 5), TIC
  COMMON/F4/CA(3), PF
  REAL COUT (17)
  VP=50000000000.
  DO 1 J=1,NC
  TCOUT=COUT(J)
 00 2 K=1.0fC
S TCOUT=TCOUT+AMAYO(0, IF (J, K)-IE(1, K))*CA(K)*PF
  IF (VR-TCOUT)1,1,3
3 VR=TCOUT
 IR = J
1 CONTINUE
  RETURN
```

END

```
OPTIMA
```

```
COMMON/E1/CET(15,9,7),CPT(15,9,7),VT(15,8,7)
      COMPGE/F2/XPTM(4), XPAX(8), PHT(4), RDT(4), GP(4), AT(4), RT(4)
      COMMON/1 3/10T(15,41,01A
      COMMODIFA/CAT(4), PV60
      CHMMON/LS/PT(8), NA
      PEAL DP(7)
      INTEGER NUM (15)
      INTEGER POLICIS, 8, 6)
      REAL CMIN(15)
      REAL CMAX(15)
      REAL P(8.8)
      REAL YT(4)
      PEAL COUT(15)
      REAL VTO(15)
      REAL POLIC(15)
      IMP=8
      LFC=7
C LECTURE DES DOMESES
      M3 A = 0
      NCF=15
      NT=7
      READELEC. 106) NA
  196 FORMA1(12)
       READ (LEC, 106) IAD
       READ(LEC, 100) (0P(1), 1=1, NT)
  100 FORMA1 (7E10.5)
      READ (LEC, 191) ((JET(I, J), J=1, NTA), I=1, NCF)
  101 FORMAT(all)
      READ (LEC, 102) PUT, X41H, XMAY, CAT
  102 FORMAT (4ER.3)
      DO 1 J=1,114
    1 READ (LEC, 103) (P(I, J), I=1, NA)
  103 FORMAT (SES. 3)
      READ (LEC, 105) AMINA, AMAXA, DD
  105 FORMAT (F8.2)
      READ(LEC, 107) PE, Py60, PDT
  107 FORNAT (F10.5)
       READ (LEC. 110) AT. BT
  110 FORMAT(4F10.5)
      READ (LEC. 104) COF
  104 FORMAT (F12.7)
      NT1=NT+1
      N12=RT-1
      NAP=NA+1
C CALCUL DES CAPACITES JOURNALIERES MIN ET MAX DE TURBINAGE
      DO 5 1=1,00F
      CMIN(I)=0.
      CMAX(I)=0.
      DO 6 K=1, NTA
      CHIH(I)=C"1"(I)+F( BAT([FT([,K)] * (AT(K) *XHIH(K)+R1(K)) *24.
      CMAY(1)=CMAY(1)+FLOAT(1F1(1,K))+(AT(K)+XMAX(K)+BT(K))+24.
    6 CONTINUE
C INITIAL ISATION
      DO 5 J=1, "A
      DD 7 K=1, NT
    7 VY(1,J,h)=0.
      DO 8 KE1.4.12
    8 POLT(1.J.r)=0
    5 CONTINUE
      DO 4 J=1,5AP
      DO # 1=1,1 CF
      DO 4 K=1.01
      COT(1, J, K)=0.
      CF1(],J,K)=0.
    4 CONTINUE
```

·C

```
c
C CALCUL DES PERMITENTS
      DO 9 KELADIA
    9 KOT(K)=[41] (K) \ A1 (K)
      CALL RADGE (PD1, DR)
C CALCUL DES GAIUS EN FLECTRICITE AUTOPRODUITE
      00 10 IT=1.8F
      DR=DP(11) *CHF-AMAXA-DD
      DO 11 Not, PAP
       DR=DR+DO
      DO 13 I=1, NCE
      1f (DR-CVIP(T))14,15,16
   14 CDT(1,0,1T)=(CK1W(1)-DR)+PV60
   15 DG 17 K=1.01A
   17 CFT([,H,IT)=CFF([,H,J])-PF*FLOAT(IF]([,K))*XMTY(K)*PN1(K)*20.
      GO TO 13
   16 1F (DR-CMAY (T)) 18, 19, 19
   18 DRM=DR/24.
      CALL RESPIACE, DEC. OF, YT)
       CE1(1,0,11)=-PF:0F:24.
   13 COUTTMUS
      60 70 11
   19 00 20 J=I,NCF
      00 27 K=1,HTA
   27 CET(J, N, II) = CET(J, N, II) = PE * FLOAT(JE1(J, Y)) * XMAX(X) * PMIT(X) * 20;
       CPT(J,N,IT)=(DR-C"AX(II)*PDT
   SO CONTINUE
   11 CONTINUE
       DO 2 I=1,NCF
       DO 3 N=1, NA
       NN=N+1
       CET(1,N,IT)=(CET(1,N,IT)+CET(1,NU,IT))/2.
      COT(I,N,IT)=(CO1(I,N,IT)+COT(I,NN,IT))/2.
    3 CONTINUE
    S CONTINUE
   10 CONTINUE
·c
C OPTIMISATION DYNAMIOUE
      00 21 IT=1.NT2
       IT1=NT-IT
       P1=f-P(IT1)+CDF
      WRITE(1"P, 401) 171,01
  401 FORMAT(////, 3x, AHJONE, 12, 2x, 14HCEMANDE PREVNE, 2x, FA. 0)
       1172:111+1
      AN, 1=1 SS OR
       DO 23 L=1,NA
   23 P1 (I.) = P(L, N)
       CALL CAMDI(ITZ, NCF, COUT)
      00 24 I=1,6CF
      CALL CAND? (I, MCF, COUT, IP, VR)
      POLT(J,4,171)=19
   24 CONTINUE
   SS CONTINUE
 IMPRESSION DES RESULTATS
      12=8
   32 WEITE ([PP, 402) ((IFT([,1],J=1,41A],[=11,12)
  402 FORMAT (///, 2x, 8PDF MATDE . , 9(34, 411, 4x, 10+))
      D2=DP(IT1)*COE-AMAXA
      00 30 4=1,44
      01=02
      02=01+00
      DO 31 (=11,12
      11=00(1(1,0,111)
      NU::(1)=1000+1F1([1,1)+100+1F1(11,2)+10+1E1(11,3)+1E1(11,4)
   31 COSTIGNE
```

```
WRITE(189,403) 01,(800(1),1=11,12)
 403 FOR*AT(//,28,56,0,20 4,0(49,10,31,10+))
      WRITE(109,404) 62,(VI(1,4,171),1=11,12)
  404 FORMAT(2x,F6.0,2H *,9(F10.1,1H*))
   30 CONTINUE
      It (15.E0.PEF) 60 TO 21
      11=12+1
      12=MCF
      60 10 32
   21 CONTINUE
C ELAGORATION DES DECISIONS INITIALES
     DO 25 L=1,0A
   25 PT(L)=P(L, JAG)
      CALL CAMPICE, CEF, COUI)
       WRITE(IMP, 405) TAR
  405 FORMAT(///,xx,40HL'ALEA PE LA VEILLE ETANT DANS LA CLASSE,12,2x,4
-SHLFS DECISIONS A PPFEIRRE LE PREMIER JOUR SONT:)
       30 26 I=1,4CF
       CALL CAMBRILLINGS, COUT, IF, VR)
       VTO(I)=VP
      POLTO(I)=IR
       NEITE (1/1P, 406) (LET([, r), K=1, NTA), (IFT(IR, r), K=1, NTA), VR
  406 FORMAT(/, 2x, 24HCOSETGURATION OF DEPART, 411, 1H:, 5x, 411, 5H COUT, F12.1)
     -.1)
   Se CONTINUE
       STOP
       END
```

### ANNEXE VI

Simulations

```
Simulation de la falitique "optimale" (CHAUDIERES)
```

Peux ce programme, on ransonne par type de chandinés. On retrouve donc les momes parametres techniques caracterisant les chaudieirs que dans OPTIMB

NTC, NTCF, NCF, IE, PN, XHIN, XMAX, CA, RDM, A, B, C, AE, BE Em tout que douncés PC, CC, RO, NR tu tant que variables intermidianes de calcul

Figureut ausi au nombre des donnée E, PF, PG, PVG, CF, CG, PD

Comme la repartition statique est effective que le sous programme strort, louvent être pricises au depart: RHO, EPS+, EPS2, EPS3, COF (cf. Annexe III 2.)

downed propres as programme

NT nombre de jours de la pous de himilie (NT = 7), un principe la soriune MPH tableau de domensión NT indiquant, chaque jour, le riombo de

mineaux de demande boraire différents DH et DUR falteaux NTX24 : DH(I,K) = Ke demande au counde la

former I qui able constante DUR(I,K): \( \sum\_{\text{int}} \) DUR(I,K) = 24 \( \forall I \) \( \forall 1,..., NT \) format de ledine: 4 (F5.1, 1x, F4.1) four rime journée J autant de SOH(T,) DOR(T,)

( Part cutiere (NPH(3) :7) +1)

Por: tableau de dimension NT définirent la politique "optimale" en terms de configuration & Jefs,.., NT POLITIE (1,.., NC)

format de ledine 7(I2)

ICP configuration initiale (I2)

### sorties

chaque jour four chaque privade au cours de laquelle la demande rete constante: regimes ofteniaux XV et coût de production CP

eventullement, la sur poduction (on la sour production) est signale anni que le cont de défaillance correspondant CD

Ces chifpes sont totolisés ou uneau de la journe dans cour coût global ventibien: COUTP Wesderdion

COUT A démarrage COUT D défaillance

Ils sont xegroups à l'édulle de le ternaine dans 70007 avec la mone réputition en TWUTP, TOUTA, TOUTS

```
Variable whenes
```

ICP est reutilisé pour monoruser la configuration du jour privédout

CHINH et CHANH (Jollaux de deneuron NF) cafacilés respectivement minumale c marismale de froduction binavec des chaudetres

```
Sour programme affeliet fontions utilizates
```

- · STROST et les une programmes on les fontieres auxquels il se référé
- · RIX) et CAE(X)
- RANGD

106 EDRMAT(T2)

```
COMMON/E1/A(3),8(3),C(3),AE(3),RE(5),PC(3),CC(3),COF(3)
    COMMON/F1/PE,RHO, FPS1, EPS2, EPS3
    COMMODI/E2/XMIN(3), XMAX(3), PN(3), RD(3), NR(3)
    COMMON/F3/IE(17,3),NTC
    COMMON/C1/AN.BN.CN
    COMMON/C2/SK,CCN,COFN,PFN,XN
    COMMON/C3/AFN, BEN
    REAL RDM(3)
    REAL XV(3)
    REAL DH(7.24)
    INTEGER MPH(7)
    REAL DUR (7,24)
    REAL CHINH(17)
    REAL CMAXH(17)
    REAL CA(3)
    REAL POL(7)
    EXTERNAL R
    EXTERNAL DER
    EXTERNAL DERP
    EXTERNAL CAE
    IMP= R (unfrimante)
    LFC=7 ( be Jew de contes)
    NCF=17
    NTC=3
    NTCF=2
    READ(LEC, 106) NT
    kFAD(LEC, 104) (NPH(I), T=1, hT)
    DO 15 J=1,NT
    KK=NPH(J)
    READ (LEC, 100) ((DH(J, K), DUP(J, K)), K=1, KK)
100 FORMAT (7(F5.1,1x,F4.1))
15 CONTINUE
    RFAD (LEC, 101) ((TF(I, J), J=1, MTC), I=1, NCF)
101 FORMAT(3T1)
    READ (LEC. 102) PH. YMIN. YPAY
102 FORMAT(4E6.3)
    READ (LFC, 102) CA
    READ (LEC, 104) (POL (1), I=1, HI)
104 FORMAT(/T2)
    READ (LEC. 106) ICP
```

```
. .
                               ... ..
127 | OPENATION - 51
     READ (LFF, 1973 PD
     PCAD (1 (C, 107) RHO, LPS1, EPSP, EP33
    TOTALICLEC, 1111 ROM
     READ (LEC, 111) A,H,C
    READELEC, 1111 COF
    READ (LEC, 112) AE, DE
112 FORMAT (SF11.6)
    DO 300 1=1,0TCF
    PC(I) =PF+(0.085*PVA)
    CC(I)=Cf
300 CONTINUE
     IF (NTCF.ED.NTC) GO TO 301
    NTCG=hTCF+1
    DO 302 I=NTCG.NTC
    PC(1)=PG
3 - CONTINUE
301 DO 303 I=1, NTC
    RR=((CC(1)*PC(1))/RPP(())+((AF(1)*PF)/PN(1))
    RD(T)=1./RP
 03 CONTINUE
    CALL RAVIGO (RD, MR)
    DO 304 1=1.HCF
    CMINH(I)=0.
    DO 305 K=1.HTC
    CMINH(1)=CMINH(1)+FLOAT(IF(I,K))+PN(K)+XMIN(K)
    CHAXH(I)=CMAXH(I)+FLOAY(IE(I,K))*PH(K)*XMAX(K)
305 CONTINUE
304 CONTINUE
    TCCHTP=0.
    TCOUTD=0.
    TCOUTA=0.
    DO 1 IT=1.NT
    COUTED.
    COUTDEO.
IC=POL(IT)
    N=NPH(II)
    WRITE(IMP, 200) IT, (IE(IC, K), K=1, dTC)
200 FORMAT(///, 3x, 4HJOUR, 12, 5x, 14HCONFIGHRATION , 311)
    P,1=HJ S 00
    WRITE(IMP, 201) DUP(IT, IH), OH(IT, IH)
201 FORMAT (/,5x,F4.1,12H HEHRE(S) A ,F5.1,3HT/H)
    CP=0.
    IF (DH(II, IH) - CM[BH(1C))3,4,5
  3 WRITE(T. P. 202)
202 FORMAT(10x, 31HSURPRODUCTION DE VAPEUR 60 PARS)
  4 DO 6 K=1, "TC
    Atom A CIC )
    BM=B(K)
    Chac(x)
    AFTERS (K)
    DEPENT (K)
    CP=CP+((CC(x)*PC(X)*)")!!(r)*P!(x)/P(xufl(x)))*(FF*GAE(x"[4(X))))*
   -FIDAT(IF(IC. ?))
  6 COULTINE
    WRITE (11 P. 203) CP
203 FORPATITION, INFCOULD BY PRODUCTION, F10.1)
    60 10 13
  S TE (2011), TH) - EMAY4(10) )8,7,9
  8 CALL SIAPPROTECTOR (11 14) .> V.CF)
    CPECPAGES (11, FP)
```

```
9 CD=(DMCIT, IH)-CMAXH(IC))*PD
    CD=C3*DUR(IT.IH)
205 FORMAT (10%, 32HSOUSPPODUCTION OF VAPRIES 60 HARS, 34, 26HOUT DE DEFAILLANCE
  7 DO 11 KE1.NIC
    AMERICAL
    BN=B(F)
    AEN=AF(K)
    BENERF (K)
    CP=CP+((GG(K)*PC(K)*XMAY(K)*PH(V)/R(XMAY(K)))*(PE*CAE(XF4X(K))))*
   -FLOATCIE(IC, K))
 11 CONTINUE
    CP=CP=DUR(11.1H)
    WRITE(TMP, 203) CP
    COUTP#COUTP+CP
  S CONTINUE
 13 COUTA=COUTA+ADAXO(0, TE(TC,K)-TE(JCP,K))*CA(K)+PF
    COUT=COUTA+COUTP+COUTD
    WRITE(IMP, 206) COUT, COUTP, COUTD, COUTA
206 FORMAT(//, 4x, 114CQUI TOTAL ,F10.1,17H DON1 PRODUCTION ,F10.1,3x,12HDEFA1L
   -- IDEFAILLANCE ,FIG. 1, 3Y, 114CEMARCAGES ,FIG. 1)
    TCOUT=TCOUT+COST
    1COUTA=TCOUTA+COUTA
    TEDMITP=TCOUTP+COUTP
    ICP=IC
    WRITE(IMP, 207) TOOHT
207 FORMAT(////, 3Y, 21HCOUT POUR LA SEMAINE , F10.1, 5H DONT)
    WRITE(INP. 208) TOOU) P. LEGUIO, TOOUTA
POS FORMAT(10X, 11 "PPODUCTION, F10.1, 3X, 12HOEFAILLANCE, F10.1, 3X, 11HOE VARR
   -ARRAGES ,FIG.1)
    ENG
```

204 FORMAT (10x, 3(4HTYPE, 12, 2x, 11, 23H CHAUDIERF(S) AU REGISE, F7, 4))

```
cf Now. programme STROPT dans Annox III e
                · CAE (x)
       ( janage du arguments fou contror, a l'aude des variables AN, BN, EN, EN
         Jour la fontion R et AEN, BEN Jour la fondion cré )
             XN est le régime de fenctionnement breque la demande brance est PH(-,-,-) et la
        purrance de le chandier Pris.)
    COMMODICTION, BN. CM
    COMMON/C3/AFN.BEN
    REAL PN(5)
    REAL A(5)
    REAL B(5)
    REAL C(5)
    REAL AE(5)
    REAL RE(5)
    REAL PC(5)
    REAL CC(5)
    REAL CA(5)
    INTEGER CONF (5,7)
    INTEGER CONFP(5)
    INTEGER NPH(5.7)
    RFAL PH(5,7,7)
    REAL DUR (5,7,7)
    NC=5
    LFC=7 (lesteur de cartes)
    IMP=8 (Umpumante)
    NCFII=4
    READ (LEC, 106) NT
106 FORMAT(I2)
    DO 10 J=1,NT
    DO 10 I=1,NC
    READ(LEC, 100) NPH(I, J), ((PH(I, J, K), DUR(I, J, K)), K=1,7)
 10 CONTINUE
100 FORMAT(J2,7(F5.1,1X,F4.1))
    READ (LEC, 101) ((CONF(I, J), I=1, NC), J=1, NT)
101 FORMAT (7 (511))
    READ (LEC, 101) CONFP
    READ(LEC, 102) PN, CA
102 FORMAT (5E8.3)
    READ (LEC, 103) A,B,C
163 FORMAT (5E9.4)
    READ(LEC, 104) AF, BE
104 FORMAT (5E11.6)
    READ (LEC, 107) PE, PF, PG, PV6, CF, CG
107 FORMAT(E10.5)
    TCOUTEO.
    TCOUTP=0.
    TCOUTABO.
    DO 1 K=1, NCFU
    PC(K)=PF+(0.085*PV6)
    CC(K)=CF
  1 CONTINUE
    IF (NCFU.ER.NC) GO TO 2
    NCG=NCFH+1
    DO 3 K=NCG,NC
    PC(K)=PG
    cc(k)=cc
```

Toutions appelees

3 CONTINUE

# Simulation de la politique des opérateurs (curavairres)

Dave se programme, les chaudieres de mome lype me sont par regoupers du fait qu'elles peuvent foutsouver somultonement à cles régonne différents

donners propres an programme

NC Mombre de Chambreso (NC=5) dont NCFU(NCFU=4) fonthornous au fuel
NT mombre de jours de le poessée de simulation, ou principale émaine (NT<7)
CONF tallesse ne avet des politiques des operateurs

tour (1, T) = 14 si chaudier I allumet le jour T

confe talleau de dimension no de l'Unit unital des chaudieres

NPH dollar NC XNT, NPH (2,3) indique le nombre de nuveaux el production

hnave different ar course to be journes I, four les doublèse I (or perhaps but à 1).
PH y DUR lableaux NC XNTX T PH(2, I, K) = Ke (occloure dans b brugs)

Murau de production (parue le NPK(I,T)) fronte par la claudiré I, le jeur I; Ce merau dure Due(I,I,K), clane Due(I,I,K): 24 VI e (1, ,K); Format de letture.

4 conte par journée Jet par chandière I computant

оченивать соминия а и рофании на оттив

on donnier . PN, CA, A, B, C, AE, BE from to for the noninnecent do chambers, to see the deference of a first of the see of the rest of the see of the see

ou was du pergramme Po, Co de dimonsem No aum

Solice they just too tail global while on course freduction

unde pensole 70007 wait total ventil en 76007P production

<u>Permarque</u> conte sent ause, au cour du programme, o membrer l'état du Chauditie le veille

```
2 DO 4 1T=1,NT
    CONTEO.
    COUTPEO.
    COUTA=0.
    WPITE(IMP, 200) IT, (CONE(K, IT), K=1, NC)
200 FORMAT(///,3x,4HJOUR,12,5x,14HCONFIGURATION,511)
    DO 5 K=1,NC
    IF (CONF (K. IT))6,8,6
  6 N=NPH(K.IT)
    WPITE(IMP, 201) K
201 FORMAT (/, 5X, 9HCHAUDIERE, I2)
    AM=A(K)
    BN=R(K)
    CN=C(K)
    AFN=AF(K)
    BEN=BE(K)
    00 7 J=1,N
    WRITE(IMP, 202) DUR(K, IT, J), PH(K, IT, J)
202 FORMAT(10X,F5.1,12H HEURE(S) A ,F6.1,3HT/h)
    XN=PH(K, JT, J)/PN(K)
    CONTP=CONTP+((PC(K)*CC(K)*PH(K,IT,J)/R(XN))+(PE*CAE(XN)))*DUR(K,IT,J)
   -. I)
  7 CONTINUE
    COUTA=COUTA+AMAXO(0,CONF(K,IT)=CONFP(K))*PF*CA(K)
  8 CONEP(K)=CODE(K.II)
  5 CONTINUE
    COUT=COUTA+COUTP
    TCOUT=TCOUT+COUT
    TCOUTP=TCOUTP+COUTP
    TCOUTA=TCOUTA+COUTA
    WRITE(IMP, 203) COUL, COULP, COULA
203 FORMAT(/,5X,11HCOUT TOTAL ,F10.1,17H DONT PRODUCTION ,F10.1,3X,11HDEMA
   -DEMARRAGES .F10.11
  4 CONTINUE
    WRITE (IMP, 204) TOOUT
204 FORMAT (///, 3x, 21HCOUT POUR LA SEMAINE , F10.1, 5H DONT)
    WPITE(IMP.205) TODUTP.TCOUTA
205 FORMAT(10X,11HPRODUCTION ,F10.1,3X,11HDEMARRAGES ,F10.1)
    STOP
    END
```